



Power &  
Automation

## CALCOLO FEM DELL'ARMADIO LV2

LOCOMOTIVA E401

CODICE: B.20.93.016.00

EDIZIONE: C

Pag. 1 di 3

### CONTROLLO EDIZIONE

| EDIZIONE | MOTIVO  | DATA       |
|----------|---|------------|
| -        | Edizione  | 11-11-2015 |
| A        | Modifica formato di documento Solute                    | 27-11-2015 |
| B        | Modifica di documento Solute. Reazioni d'incastro.      | 10-02-2016 |
| C        | Aumento degli sforzi di fatica statica e cambio formato | 02-06-2016 |

Eseguito da:

Nome: I. GONZÁLEZ

Firma:

Data: 02-06-2016

Verificato da:

Nome: A. BALDA

Firma:

Data: 02-06-2016

Approvato da:

Nome: A. BALDA

Firma:

Data: 02-06-2016



 CAF  
Power &  
Automation

## CALCOLO FEM DELL'ARMADIO LV2

LOCOMOTIVA E401

CODICE: B.20.93.016.00

EDIZIONE: C

Pag. 2 di 3

### INDICE

1. ALLEGATI ..... 3



Power &  
Automation

## CALCOLO FEM DELL'ARMADIO LV2

LOCOMOTIVA E401

**CODICE: B.20.93.016.00**

**EDIZIONE: C**

Pag. 3 di 3

### 1. ALLEGATI

In allegato si presenta il calcolo FEM dell'armadio LV2.

| Documento                           | Edizione | Data       | Denominazione  |
|-------------------------------------|----------|------------|--|
| Doc.SOLUTE<br>T_ME_007_0005_IR_0002 | C        | 31/05/2016 | RISTRUTTURAZIONE ROTABILI.<br>RELAZIONE DI CALCOLO FEM<br>ARMADIO ELETTRICO B.20.83.006<br>LOCOMOTIVA TRENITALIA |

**RISTRUTTURAZIONE ROTABILI****RELAZIONE DI CALCOLO FEM  
ARMADIO ELETTRICO B.20.83.006  
LOCOMOTIVA TRENITALIA**

Il presente documento è di proprietà di Trenitalia. Nessuna parte di questo documento può essere riprodotta, memorizzata, trasmessa in qualsiasi forma e/o con qualsiasi mezzo di registrazione salvo approvazione scritta di:

TRENITALIA S.p.A. – DIREZIONE TECNICA

| Esp. | Data       | Descrizione  | Redatto              | Verificato       | Approvato             |
|------|------------|--|----------------------|------------------|-----------------------|
| 00   | 16/09/2015 | Prima Emissione  | R.Herrero / SOLUTE   | P.Ruiz / SOLUTE  | I.Rodriguez / SOLUTE  |
| A    | 27/11/2015 | Cambio di formato  | R.Liñan / SOLUTE     | P.Ruiz / SOLUTE  | I.Rodriguez / SOLUTE  |
| B    | 05/02/2016 | Cambio de formato Reazioni d'incastro                    | P. Ruiz / SOLUTE     | P.Ruiz / SOLUTE  | I.Rodriguez / SOLUTE  |
| C    | 08/06/2016 | Aumento degli sforzi di fatica statica nel paragrafo 5.2 | C. González / SOLUTE | P. Ruiz / SOLUTE | I. Rodríguez / SOLUTE |
|      |            |  |                      |                  |                       |

**Indice**

|  |    |
|--|----|
| 1. GENERALITÀ .....  | 5  |
| 1.1 Scopo .....  | 5  |
| 2. RIFERIMENTI .....   | 6  |
| 2.1 Norme.....   | 6  |
| 2.2 Documenti.....   | 6  |
| 4. CARATTERISTICHE DEI MATERIALI .....   | 8  |
| 5. CRITERI DI ACCETTABILITÀ .....  | 9  |
| 5.1 Carichi statici .....  | 9  |
| 5.2 Carichi di fatica .....  | 10 |
| 5.3 Analisi d'impatto .....  | 12 |
| 5.4 Analisi d'invecchiamento simulato a livelli di vibrazioni aleatorie aumentate (Random response – PSD)..... | 13 |
| 5.5 Verifica delle giunzioni bullonate.....  | 15 |
| 5.5.1 Casi di carico statici .....   | 15 |
| 5.5.2 Casi di carico a fatica .....  | 17 |
| 5.6 Verifica delle giunzioni saldate.....  | 17 |
| 5.6.1 Casi di carico statici .....   | 17 |
| 5.6.2 Casi di carico a fatica .....  | 18 |
| 6. REALIZZAZIONE DEL MODELLO FEM .....   | 19 |
| 6.1 Descrizione del modello FEM .....  | 23 |
| 6.2 Aplicación de masas en el modelo FEM .....   | 26 |
| 6.3 Applicazione delle condizioni di contorno al modello FEM .....   | 28 |
| 6.4 Sistemi di coordinate nel modello FEM .....  | 29 |
| 7. CASI DI CARICO .....  | 30 |
| 8. ANALISI DEI RISULTATI .....   | 32 |
| 8.1 Calcolo del materiale base (membrature), casi di carico statici. ....                                      | 32 |
| 8.1.1 LC1_E-X5_POS (Rif. A Tabella 10) .....   | 33 |

|  |    |
|--|----|
| 8.1.2 LC1_E-X5_NEG (Rif. B Tabella 10) .....   | 34 |
| 8.1.3 LC1_E-Y1_POS (Rif. C Tabella 10) .....   | 35 |
| 8.1.4 LC1_E-Y1_NEG (Rif. D Tabella 10) .....   | 36 |
| 8.1.5 LC1_E-Z1_POS (Rif. E Tabella 10) .....   | 37 |
| 8.1.6 LC1_E-Z1_NEG (Rif. F Tabella 10) .....   | 38 |
| 8.2 Calcolo del materiale base (membrature), casi di carico a fatica (Rif. G, H, I, J, K e L Tabella 10) ..... | 39 |
| 8.3 Casi di carico d'impatto .....   | 42 |
| 8.3.1 SHOCK_X_POS (Rif. M Tabella 10) .....  | 43 |
| 8.3.2 SHOCK_X_NEG (Rif. N Tabella 10) .....  | 44 |
| 8.3.3 SHOCK_Y_POS (Rif. O Tabella 10) .....  | 46 |
| 8.3.4 SHOCK_Y_NEG (Rif. P Tabella 10) .....  | 47 |
| 8.3.5 SHOCK_Z_POS (Rif. Q Tabella 10) .....  | 48 |
| 8.3.6 SHOCK_Z_NEG (Rif. R Tabella 10) .....  | 49 |
| 8.4 Prova d'invecchiamento, PSD (Rif. T Tabella 10) .....  | 50 |
| 8.5 Calcolo delle Giunzioni saldate, casi di carico statici (Rif. A, B, C, D, E, F Tabella 10) .....           | 52 |
| 8.6 Calcolo delle Giunzioni saldate, casi di carico a fatica (Rif. G, H, I, J, K, L Tabella 10) .....          | 53 |
| 8.7 Calcolo delle giunzioni bullonate, casi di carico statici (Rif. A, B, C, D, E, F Tabella 10) .....         | 57 |
| 8.8 Calcolo delle giunzioni bullonate, casi di carico a fatica (Rif. G, H, I, J, K, L Tabella 10) .....        | 61 |
| 8.9 Reazioni nell'incastro dovute ai carichi statici. ....   | 62 |
| 9. RIEPILOGO DEI RISULTATI .....   | 64 |
| 10. CONCLUSIONI .....  | 66 |
| ANNESSO A. Verifiche qualitative .....   | 67 |
| A.1 Verifica delle reazioni .....  | 67 |
| A.2 Equilibrio d'energia .....   | 67 |
| A.3 Verifica dei modi propri di vibrazione .....   | 67 |
| ANNESSO B. Mappa delle giunzioni saldate analizzate .....  | 68 |
| ANNESSO C. Mappa delle giunzioni bullonate analizzate .....  | 80 |

## 1. GENERALITÀ

### 1.1 Scopo

Il presente documento descrive i calcoli ad elementi finiti (calcoli **FEM**) che sono stati eseguiti in conformità alle sezioni 9.1, 9.2, 8.3 e 8.2.25 della ST di **TRENITALIA (TI)** n.º 383601 ed alle normative **UNI EN 12663-1, UNI-EN 61373, ERRI B12 RP60**, per dimostrare il corretto dimensionamento strutturale relativo all'applicazione di nuove Apparecchiature/Arredi su Rotabili TI già in esercizio. In particolare in questa relazione di calcolo si è esaminata la nuova applicazione del armadio elettrico **B.20.83.006** rappresentato nella Figura 1.

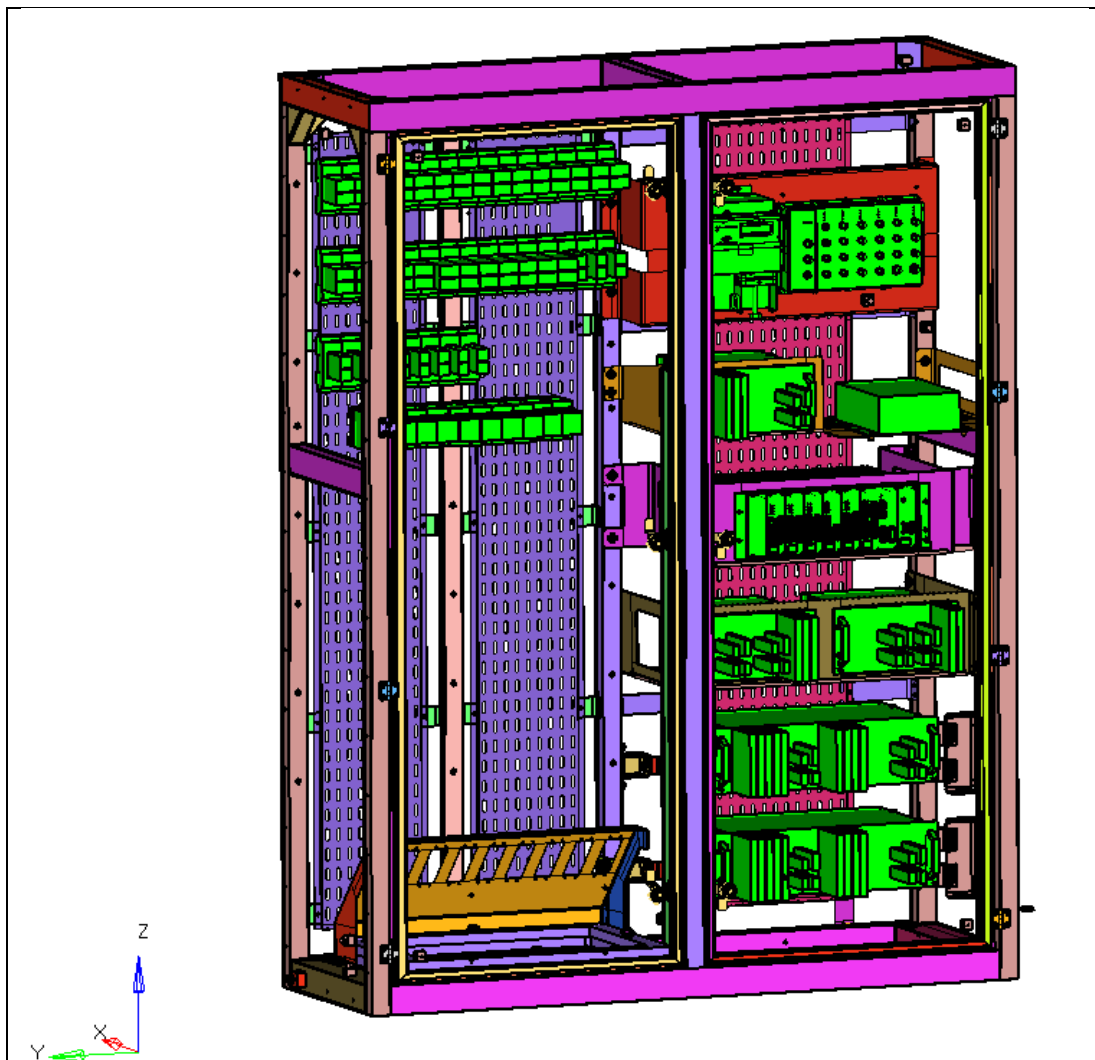


Figura 1 – Vista generale del modello.

## 2. RIFERIMENTI

I Riferimenti si suddividono in Norme e Documenti, come di seguito elencato:

### 2.1 Norme

In tabella 1 sono indicate le Norme a cui si è fatto riferimento per l'esecuzione delle analisi strutturali e resistenti.

| Rif. | Data         | Denominazione   | Autore |
|------|--------------|---|--------|
| [1]  | Ottobre 2010 | <b>UNI EN 12663-1 Applicazioni</b> Ferroviarie - Requisiti Strutturali delle Casse dei Rotabili Ferroviari-Parte 1: Locomotive e materiale rotabile per passeggeri. | UNI    |
| [2]  | Agosto 2005  | <b>UNI EN 1993-1-8 Progettazione</b> delle Strutture di Acciaio - Progettazione dei Collegamenti  | UNI    |
| [3]  | Agosto 2005  | <b>UNI EN 1993-1-9 Progettazione</b> delle Strutture di Acciaio - Progettazione a Fatica  | UNI    |
| [4]  | 12/07/2002   | <b>ST n.º373753</b> Specifica Tecnica per Coppie di Serraggio   | TI     |
| [5]  | Ottobre 2010 | <b>CEI EN 61373</b> Materiale rotabile – Prove d'Urto e Vibrazione.   | CEI    |
| [6]  | Giugno 2001  | <b>ERRI B12 RP60</b> Tests to demonstrate the strength of railways vehicles.  | ERRI   |

Tabella 1 - Norme

### 2.2 Documenti

In Tabella 2 sono definiti i Documenti che vengono forniti a TI, insieme ai disegni di tutti gli insiemi e particolari e specifiche necessari per l'implementazione sul Rotabile delle modifiche di cui al precedente paragrafo 1.1:

| Rif. | Data              | Denominazione  | Autore |
|------|-------------------|--|--------|
| [1]  | ...../...../..... | Plano n.º. <b>B.20.83.006.00.</b> _ Armadio LV1              | CAF    |
| [2]  | ...../...../..... | Plano n.º <b>B.20.83.016.00</b> _ Assieme di carpenteria LV1 | CAF    |

Tabella 2 - Documenti

La suddetta documentazione deve essere conforme al par.2.2 della **ST n.º383601**.

### 3. SIMBOLI E UNITÀ DI MISURA

A) Di seguito si elenca la descrizione del significato dei simboli utilizzati in questo documento:

|  |  |
|--|--|
| <b><math>\sigma_{VonMises}</math></b>    | Tensione Von Mises calcolata con analisi ad elementi finiti;   |
| <b><math>\sigma_{VMtrue}</math></b>      | Tensione di Von Mises calcolata tramite un'analisi ad elementi finiti, e corretta secondo il criterio di Neuber.                                 |
| <b><math>\sigma_{0.2}</math></b>         | Tensione minima di snervamento;  |
| <b><math>\sigma_R</math></b>             | Tensione minima a rottura;   |
| <b><math>\sigma_{adm}</math></b>         | Tensione ammissibile per materiale base o saldato per carichi statici;   |
| <b><math>\Delta\sigma_{princ}</math></b> | Delta tensione principale calcolata con analisi ad elementi finiti;  |
| <b><math>\sigma_{Nmax}</math></b>        | Tensione principale massima ammissibile a fatica per un particolare giunto o per materiale base;   |
| <b><math>\sigma_{princ\_max}</math></b>  | Tensione principale massima di trazione del ciclo di fatica di ampiezza $\Delta\sigma_{princ}$ calcolata con analisi ad elementi finiti;         |
| <b><math>\sigma_{princ\_min}</math></b>  | Tensione principale minima di trazione del ciclo di fatica con ampiezza $\Delta\sigma_{princ}$ , calcolata tramite un'analisi ad elementi finiti |
| <b><math>\Delta\sigma_N</math></b>       | Delta Tensione ammissibile a fatica, per un particolare giunto o per materiale base per numero di cicli:<br>- NAcc=2x10 <sup>6</sup> (Acciaio);  |
| <b><math>\Delta\sigma_{axial}</math></b> | Delta di tensione assiale nel corpo del bullone.   |
| <b><math>\Delta\tau</math></b>           | Delta di tensione tangenziale nel corpo del bullone.   |
| <b><math>g</math></b>                    | Accelerazione di gravità;  |
| <b><math>E</math></b>                    | Modulo di elasticità normale;  |
| <b><math>G</math></b>                    | Modulo di elasticità tangenziale;  |
| <b><math>\nu</math></b>                  | Modulo di Poisson.   |

B) Come unità di misura e sistemi di riferimento, quando non specificato diversamente, s'intendono i seguenti:

- Lunghezza : m
- Tempo : s
- Forza : N
- Tensioni : N/m<sup>2</sup>
- Massa : kg

## 4. CARATTERISTICHE DEI MATERIALI

Le diverse parti modificate della struttura del armadio elettrico, sono state realizzate in **Acciaio S35**, con lo scopo di usare, come richiesto, (Vedi il capitolo 4 della IT n.<sup>o</sup> 383601) lo stesso materiale della struttura originale. Le unioni, sia quelle bullonate che quelle chiodate, sono state realizzate in **Acciaio Inossidabile A2-70 ISO 3506**. Le principali caratteristiche dei materiali dell'armadio elettrico, sono indicate nella Tabella 3:

| Rif. | NORMA DI RIFERIMENTO | TIPO DI MATERIALE              | Utilizzo    | SPESSORE         | METALLO BASE                           |                                    | CARATTERISTICHE   |
|------|----------------------|--------------------------------|-------------|------------------|--|------------------------------------|---|
|      |                      |                                |             | e [mm]           | $\sigma_{0.2}$<br>(N/mm <sup>2</sup> ) | $\sigma_R$<br>(N/mm <sup>2</sup> ) |   |
| 1    | EN10025-             | S355J2WP                       | Chapas      | e<3<br>3≤e≤16    | 355<br>355                             | 510<br>470                         | E = 210000 N/mm <sup>2</sup><br>G = 80000 N/mm <sup>2</sup><br>$\nu = 0,3$<br>$p=7,85 \times 10^{-6} \text{ kg/mm}^3$ |
| 2    | EN10210              | S355J2H                        | Perfiles    | e<3<br>3≤e≤16    | 355<br>355                             | 510<br>470                         | E = 210000 N/mm <sup>2</sup><br>G = 80000 N/mm <sup>2</sup><br>$\nu = 0,3$<br>$p=7,85 \times 10^{-6} \text{ kg/mm}^3$ |
| 3    | EN ISO 3506 1        | stainless steel A2-70 ISO 3506 | Tornilleria | Class 70<br>≤M24 | 450                                    | 700                                | E = 210000 N/mm <sup>2</sup><br>G = 80000 N/mm <sup>2</sup><br>$\nu = 0,3$<br>$p=7,85 \times 10^{-6} \text{ kg/mm}^3$ |

Tabella 3 - Caratteristiche dei materiali impiegati per la struttura dell'Armadio Elettrico.

## 5. CRITERI DI ACCETTABILITÀ

Considerando le varie tipologie di condizioni di carico che le norme vigenti richiedono di verificare, si elencano di seguito i criteri d'accettabilità utilizzati nei calcoli.

### 5.1 Carichi statici

Si considereranno i casi di carico statici indicati nella EN12663 nel paragrafo 6.5.2 per un veicolo tipo "L", anche se nel caso orizzontale l'accelerazione è aumentata fino a 5g (è il caso più sfavorevole), ovvero:

- 1) E-X5 (Tabella 13 norma UNE-EN\_12663-1),  $\pm 5\text{g}$  orizzontale combinato con  $+1\text{g}$  verticale.
- 2) E-Y1 (Tabella 14 norma UNE-EN\_12663-1),  $\pm 1\text{g}$  trasversale combinato con  $+1\text{g}$  verticale
- 3) E-Z1 (Tabella 15 norma UNE-EN\_12663-1),  $(1 \pm c)\text{g}$  verticale con  $c= 1.25$

I valori delle tensioni  $\sigma_c$  calcolate per tutti i casi di carico, devono soddisfare la condizione:

$$\sigma_c \leq \sigma_{\text{adm}};$$

Utilizzando la tensione ammissibile del materiale con la seguente formula:

$$\sigma_{\text{adm}} = (\sigma_{0,2}) / 1,15$$

Il materiale utilizzato per la modellizzazione FEM segue un comportamento lineare. Per valori superiori al limite elastico, è possibile usare la correzione di Neuber come metodo di verifica. Questa correzione si basa sulla legge di Neuber e nell'uso dei diagrammi di Ramberg-Osgood. Il criterio di utilizzazione consiste nel fatto che la zona tensionale influenzata sia minima, vicina al 10% della sezione resistente delle strutture considerate, ed inoltre i valori delle tensioni dovranno essere vicini alla tensione di snervamento.

Si permette la presenza di zone con concentrazioni di tensioni locali che superano la tensione di snervamento del materiale, queste zone con deformazioni plastiche locali dovranno essere sufficientemente piccole per non causare deformazioni permanenti rilevanti e permettere la redistribuzione delle tensioni nelle suddette zone.

## 5.2 Carichi di fatica

Si applicano alla struttura i casi di carico indicati nella EN 12663 nei paragrafi 6.6.4 e 6.6.6 per un veicolo tipo "L", ovvero:

- 1) F-Y015 (Tabella 16 norma UNE-EN\_12663-1),  $\pm 0.2g$  trasversale.
- 2) F-Z015 (Tabella 17 norma UNE-EN\_12663-1)),  $1 \pm 0.25g$  verticale.
- 3) F-X015 (Tabella 18 norma UNE-EN\_12663-1),  $\pm 0.15g$  orizzontale.

Lo stato tensionale della struttura degli armadi corrispondenti ai sei casi di carico descritti precedentemente si risolvono con un calcolo statico lineare realizzato con Abaqus Standard 6.13.4.

Per la verifica a fatica dell'integrità strutturale i due criteri che devono essere soddisfatti saranno qui sotto elencati.

$$\Delta\sigma_{\text{princ}} \leq \Delta\sigma_N;$$

$$\sigma_{\text{princ\_max}} \leq \sigma_{N\text{max}};$$

I valori dei ranghi di tensioni  $\Delta\sigma_{\text{princ}}$  e la tensione  $\sigma_{\text{princ\_max}}$  devono essere calcolati utilizzando il metodo descritto nel Rif. [6], che si riassume qui di seguito.

- 1) Per ogni caso di carico di determina il tensore delle tensioni e la tensione principale massima in ogni nodo.
- 2) Ottenuti questi valori, è possibile determinare la maggiore delle massime tensioni principali in ogni nodo tra tutti i tensori corrispondenti ai casi di carico (l'involvente dei casi di carico a fatica) e di conseguenza la direzione principale associata.
- 3) In ogni nodo si ottiene la proiezione dei tensori delle tensioni (per ogni caso di carico) sulla direzione principale massima ottenuta in ogni nodo.
- 4) Dalla proiezione di questo nuovo tensore di tensioni, si seleziona la minore delle tensioni principali minime, che assieme alla tensione principale massima del punto 1), determina il rango delle tensioni.

Con questo procedimento si otterrà in ogni nodo un rango ed un valore di tensioni che, concordando con il Rif. [6], non deve superare i limiti specificati. In ogni nodo si dovrà soddisfare la condizione:

$$\Delta\sigma_{\text{princ}} = \sigma_{\text{max}} - \sigma_{\text{min}};$$

$$\sigma_{\text{princ\_max}} \leq \sigma_{\text{max}};$$

Nel caso di materiali in acciaio conformi alla norma **UNI EN 10025-2**, i valori:  $\Delta\sigma_N = 2\sigma_{\text{Alim}}$  e  $\sigma_{N\text{max}} = \sigma_{\text{maxlim}}$ , sono quelli indicati per il valore di  $K=0,2$  nella tabella qui di seguito ([6]).

|                     | 2σAlim<br>(N/mm) |     | σmlim (N/mm) |     |       |     | σmaxlim (N/mm) |     |            |     |
|---------------------|------------------|-----|--------------|-----|-------|-----|----------------|-----|------------|-----|
|                     |                  |     | K=0.2        |     | K=0.3 |     | K=0.2          |     | K=0.3      |     |
| Acciaio             | 370              | 520 | 370          | 520 | 370   | 520 | 370            | 520 | 370        | 520 |
| Categoria Dettaglio |                  |     |              |     |       |     |                |     |            |     |
| 160                 | <b>120</b>       | 160 | 200          | 300 | 185   | 267 | <b>240</b>     | 360 | <b>240</b> | 347 |
| 112                 | 112              | 112 | 182          | 273 | 168   | 187 | 218            | 327 | 218        | 243 |
| 100                 | 100              | 100 | 182          | 250 | 167   | 167 | 218            | 300 | 217        | 217 |
| 90                  | 90               | 90  | 182          | 225 | 150   | 150 | 218            | 270 | 195        | 195 |
| 80                  | 80               | 80  | 182          | 200 | 133   | 133 | 218            | 240 | 173        | 173 |
| 71                  | 71               | 71  | 178          | 178 | 118   | 118 | 214            | 214 | 153        | 153 |
| 50                  | 50               | 50  | 125          | 125 | 83    | 83  | 150            | 150 | 108        | 108 |
| 36                  | <b>36</b>        | 36  | 90           | 90  | 60    | 60  | 108            | 108 | 78         | 78  |

Tabella 4 – Valori per  $2\sigma_{\text{Alim}}$ ,  $\sigma_{\text{maxlim}}$  secondo la categoria del dettaglio presente nel rif. [6].

Il valore che si utilizza per la verifica è il limite a fatica per **2 milioni di cicli** con possibilità di sopravvivenza  $\geq 97,5\%$ .

Si dovranno verificare separatamente il materiale base e quello saldato. Nel caso del materiale base, la categoria del dettaglio selezionabile sarà il 160 (DC160 secondo **UNI EN 1993-1-8**). Il materiale d'apporto della saldatura, seguirà le specificazioni del paragrafo 5.6.2.

### 5.3 Analisi d'impatto

La struttura sarà sottomessa a una sequenza d'impulsi semi-sinusoidali, ognuno di una durata D ed una ampiezza nominale di cresta A. Questi valori vengono raccolti nella norma EN61373:2010, tabella 3 per apparecchiature montate sulla locomotiva di classe A (Vedi rif. [5]).

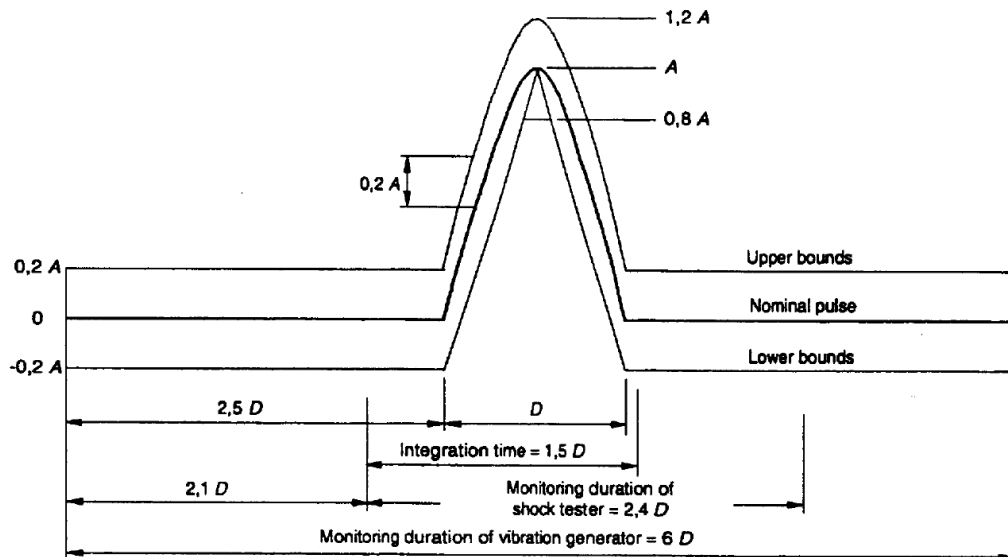


Figura 2 – Forma d'impulso semi-sinusoidale di durata nominale D e d'ampiezza nominale A.

| Category  | Orientation  | Peak acceleration<br>A ( $\text{m/s}^2$ ) | Nominal duration<br>D (ms) |
|---|--------------|---|----------------------------|
| 1<br>Class A and class B<br>Body mounted  | Vertical     | 30  | 30                         |
|   | Transverse   | 30  | 30                         |
|   | Longitudinal | 50  | 30                         |
| 2<br>Bogie mounted  | All          | 300                                       | 18                         |
| 3<br>Axle mounted   | All          | 1 000                                     | 6                          |
| NOTE – Some category 1 equipment intended for specific applications may require additional shock testing with peak accelerations A of $30 \text{ m/s}^2$ and duration D of 100 ms. In such cases these test levels should be requested and agreed prior to testing. |              |   |                            |

Figura 3 – Limiti di tolleranza per impulsi semi-sinusoidali.

I casi di carico si studiano tramite un calcolo dinamico non lineare realizzato con Abaqus Explicit 6.13.4.

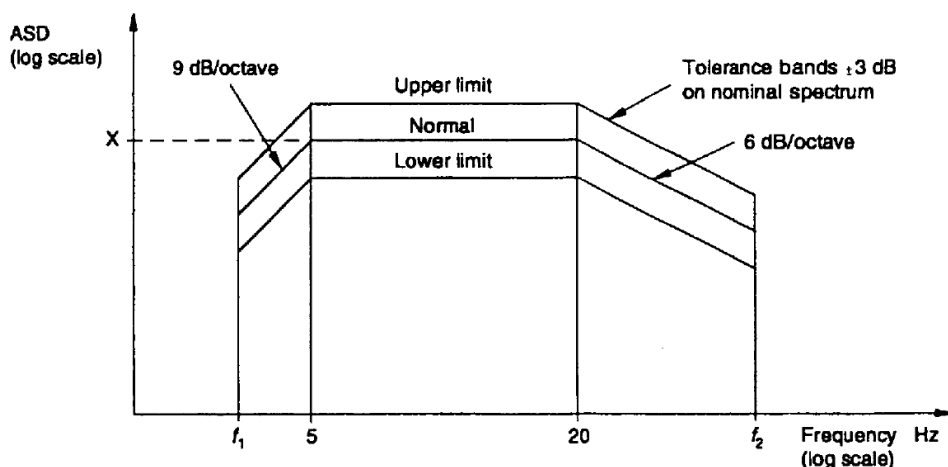
L'analisi dei risultati dei casi di carico precedenti si realizzerà seguendo gli stessi criteri impiegati nei casi di carico statici.

#### 5.4 Analisi d'invecchiamento simulato a livelli di vibrazioni aleatorie aumentate (Random response – PSD).

L'obiettivo è riprodurre tramite FEM, la prova d'invecchiamento simulato presente nella norma EN61373:2010 (Vedi rif. [4]). L'apparecchiatura si sommette a una prova di 5h per ogni asse con i livelli ASD specificati nella norma antecedente. Si raccolgono i livelli ASD e la gamma di frequenze per il funzionamento dell'apparecchiatura in servizio.

L'equivalenza con la prova delle 5h accelerata equivale a una vita utile di una carrozza di 25 anni (300giorni/anno e 10h/giorno).

La grafica sottostante mostra la distribuzione delle curve ASD.



**Figura 4 - Curva – Spettro ASD in funzione della frequenza**

Quando la massa è:

$$\leq 500\text{kg}$$

$$f_1 = 5\text{Hz}$$

$$f_2 = 150\text{Hz}$$

Quando la massa è:

$$> 500\text{kg} \leq 1250\text{kg}$$

$$f_1 = \frac{1250}{masa} \times 2\text{Hz}$$

$$f_2 = \frac{1250}{masa} \times 60\text{Hz}$$

Quando la massa è:

$$> 1250\text{kg}$$

$$f_1 = 2\text{Hz}$$

$$f_2 = 60\text{Hz}$$

Il livello di ASD per ognuna delle accelerazioni della prova d'invecchiamento secondo il Rif.[5] si mostrano nella figura di seguito.

|  | Vertical | Transverse | Longitudinal |
|--|----------|------------|--------------|
| Functional Test<br>ASD Level<br>(m/s <sup>2</sup> ) <sup>2</sup> /Hz   | 0.0166   | 0.0041     | 0.0073       |
| RMS value m/s <sup>2</sup><br>2 Hz to 150 Hz   | 0.750    | 0.370      | 0.500        |
|  |          |            |              |
| Long Life Test<br>ASD Level<br>(m/s <sup>2</sup> ) <sup>2</sup> /Hz  | 0.532    | 0.131      | 0.234        |
| RMS value m/s <sup>2</sup><br>2 Hz to 150 Hz   | 4.25     | 2.09       | 2.83         |
| NOTE 1 – For items with test frequencies less than 2 Hz the r.m.s. levels will be higher than those quoted above.<br>NOTE 2 – For items with test frequencies less than 150 Hz the r.m.s. levels will be lower than those quoted above.<br>NOTE 3 – If frequencies above $f_2$ are known to exist they may be included, the amplitude being established by extending the 6 dB/octave decay line until it intersects the maximum frequency required. In such cases the r.m.s. levels will be increased. |          |            |              |

**Figura 5** - Categoria 1 –Classe A – Apparecchiature montate nella cassa della carrozza – Spettro ASD.

La procedura di calcolo con gli Elementi Finiti è la successiva: si calcola con ABAQUS l'analisi modale, ed il Steady State Dynamics per determinare le funzioni trasformate nel dominio delle frequenze. L'elaborazione dei risultati si realizza con il programma FE-SAFE, applicando in contemporanea tutte e tre le eccitazioni. Internamente il software calcola i ranghi delle tensioni e le relaziona con i ranghi delle tensioni ammissibili (curva S-N del materiale) per il dettaglio più restrittivo (materiale della saldatura).

I risultati ottenuti si rappresentano in forma di danni, verificando che il valore dello stesso sia inferiore all'unità.

## 5.5 Verifica delle giunzioni bullonate.

Le unioni devono realizzarsi tramite bulloneria (bullone e dado) d'acciaio, che compiono con le esigenze della specificazione tecnica n.<sup>o</sup> **373753** (Rif. [5]).

### 5.5.1 Casi di carico statici

La verifica di queste giunzioni sotto l'effetto dei carichi statici si esegue leggendo le forze dal modello FEM in ogni bullone e per ogni caso di carico statico, ottenendo così uno sforzo normale e un taglio. Queste forze sono successivamente trattate secondo la norma **UNI EN 1993-1-8** (rif. [2]) per la verifica delle stesse bullonature. Le verifiche richieste sono elencate nella tabella seguente.

| Modo di rottura                    | Formula  |
|------------------------------------|--|
| Resistenza a taglio                | $F_{v,Rd} = \frac{0.6 \cdot f_{ub} \cdot A_s}{\gamma_M}$                             |
| Resistenza allo schiacciamento     | $F_{b,Rd} = \frac{k_1 \cdot \alpha_d \cdot f_u \cdot d \cdot t}{\gamma_M}$           |
| Resistenza assiale                 | $F_{t,Rd} = \frac{k_2 \cdot f_{ub} \cdot A_s}{\gamma_M}$                             |
| Resistenza allo scorrimento        | $F_{s,Rd} = \frac{k_s \cdot n \cdot \mu \cdot (F_{p,c} - 0.8F_{t,Ed})}{\gamma_{M3}}$ |
| Resistenza a taglio per "Punching" | $B_{p,Rd} = 0.6 \cdot \pi \cdot d_m t_p f_u / \gamma_M$                              |
| Combinato, assiale e taglio        | $\frac{F_{v,Ed}}{F_{v,Rd}} + \frac{F_{t,Ed}}{1.4F_{t,Rd}} \leq 1.0$                  |

**Tabella 5 –** Modi di rottura secondo l'Eurocodice

Dove,

$f_{ub}$  = Tensione ultima del bullone

$f_u$  = Tensione ultima delle membrature collegate

$$k_1 = \min \left\{ 2.8 \frac{e}{d_0} - 1.7 \mid 2.5 \right\}$$

$$\alpha_d = \min \left( \frac{e}{3d_0} \mid \frac{f_{ub}}{f_u} \mid 1 \right)$$

$k_2 = 0.9$

$A_s$  = Area stress

$d$  = Diametro nominale

$d_0$  = Diametro del foro

$d_m$  = Diametro di pressione

$t$  = Spessore della membratura

e = Distanza dal bordo

$\gamma_m = 1.25$  fattore di sicurezza del materiale

La giunzione deve resistere per attrito allo stato limite ultimo, di conseguenza è di categoria **C** secondo la Tabella 3.2 della **UNI EN 1993-1-8** (Rif. [2]).

Le forze assiali e di taglio presenti nei bulloni saranno comparate con i valori limite dati dai diversi modi di rottura presentati nella Tabella 4, ottenendo così il fattore di riserva inverso (IRF inverse reserve factor) che si espressa così:

$$IRF = \frac{F_{aplicada}}{F_{limite}} < 1$$

Quattro IRF sono definiti per ogni bullone raggruppando i modi di rottura in queste quattro categorie.

|                            |  |
|----------------------------|--|
| IRF <sub>taglio</sub>      | $IRF_{taglio} = \max \left( \frac{F_{taglio}}{F_{v,Rd}} \middle  \frac{F_{taglio}}{F_{b,Rd}} \right)$    |
| IRF <sub>assiale</sub>     | $IRF_{assiale} = \max \left( \frac{F_{assiale}}{F_{t,Rd}} \middle  \frac{F_{assiale}}{B_{p,Rd}} \right)$ |
| IRF <sub>scorrimento</sub> | $IRF_{scorrimento} = \frac{F_{scorrimento}}{F_{s,Rd}}$   |
| IRF <sub>combinata</sub>   | $IRF_{combinata} = \frac{F_{taglio}}{F_{v,Rd}} + \frac{F_{assiale}}{1.4F_{t,Rd}}$                        |

**Tabella 6 – Definizioni IRF.**

## 5.5.2 Casi di carico a fatica

Oltre ai casi di carico statici, le giunzioni devono essere analizzate a fatica. Per valutare la tensione a fatica si dovrà verificare la condizione:

$$\Delta\sigma_{\text{princ}} \leq \Delta\sigma_N$$

Dove i valori di  $\Delta\sigma_N$  si ottengono dalla Tabella 4 per ( $K=0,2$ , DC100 per il taglio e DC50 per lo sforzo assiale secondo Rif [2], **tabella 8.1**). Si ottengono di conseguenza i seguenti indici:

$$I_{\text{assiale}} = \frac{\Delta\sigma_{\text{assiale}}}{f_{50}} \quad I_{\text{taglio}} = \frac{\Delta\sigma_{\text{taglio}}}{f_{100}}$$

## 5.6 Verifica delle giunzioni saldate

### 5.6.1 Casi di carico statici

Per realizzare la verifica delle giunzioni saldate soggette a casi di carico statici, in base all'Eurocodice si devono compiere due requisiti:

$$[\sigma_{\perp}^2 + 3(\tau_{\perp}^2 + \tau_{\parallel}^2)]^{0.5} \leq f_u / (\beta_w \gamma_M) \quad \sigma_{\perp} \leq f_u / \gamma_M$$

Dove:

$f_u$  è la tensione ultima nominale della membratura più debole della giunzione.

$\sigma_{\perp}$  è la tensione normale perpendicolare alla sezione di gola

$\tau_{\perp}$  è la tensione tangenziale (al piano della sezione di gola) perpendicolare all'asse del cordone di saldatura

$\tau_{\parallel}$  è la tensione tangenziale (al piano della sezione di gola) parallela all'asse del cordone di saldatura

$\beta_w$  è il fattore appropriato di correzione preso dalla tabella 4.1 rif [5].

I valori delle tensioni si ottengono con il seguente procedimento:

- 1) Si analizzano i valori dei carichi (forze e momenti) che passano per la saldatura, che viene rappresentata nel modello FEM da nodi comuni alle due membrature della giunzione. I carichi si determinano nel centro geometrico della giunzione saldata.
- 2) Si distribuiscono elasticamente gli sforzi del centro geometrico tra tutte le sezioni dei cordoni di saldatura proiettati sul piano che contiene la giunzione.
- 3) Si determinano le tensioni nei punti estremi, e si riportano al piano originale, concordando con le indicazioni del Rif. [3]
- 4) Si verificano le relazioni indicate precedentemente.

Questo procedimento è stato svolto per ottenere le tensioni delle nove unioni saldate più sollecitate (vedi annesso B) negli stati tensionali corrispondenti. Per questo nove gruppi di unioni saldate si sono svolte le verifiche precedentemente descritte. Una volta che queste nove unioni abbiano superato i requisiti di verifica, si può giustificare che le restanti unioni saldate meno sollecitate, siano verificate con gli stessi requisiti di resistenza.

### 5.6.2 Casi di carico a fatica

Per la verifica della saldatura a fatica, si deve implementare lo stesso procedimento descritto nel paragrafo 5.2. Per le giunzioni saldate la categoria del dettaglio che si deve utilizzare sarà la: 36 (DC36 secondo Rif. [2]).

I risultati delle giunzioni saldate per il caso d'invecchiamento simulato (Random response – PSD) si analizzeranno con il criterio del Danno accumulato (regola di Palgrem-Miner) partendo dai risultati ottenuti nelle tre prove simulate, e considerando la stessa curva tensioni-cicli: DC36.

## 6. REALIZZAZIONE DEL MODELLO FEM

Il modello ad elementi finiti si è sviluppato partendo dalla geometria 3D del armadio elettrico **B.20.83.006**. Il codice usato per la realizzazione del modello numerico è stato **Hypermesh 13** e quello impiegato per i calcoli FEM è stato **ABAQUS 6.13-4**.

Il modello risultante presenta i seguenti tipi e quantità d'elementi finiti e nodi:

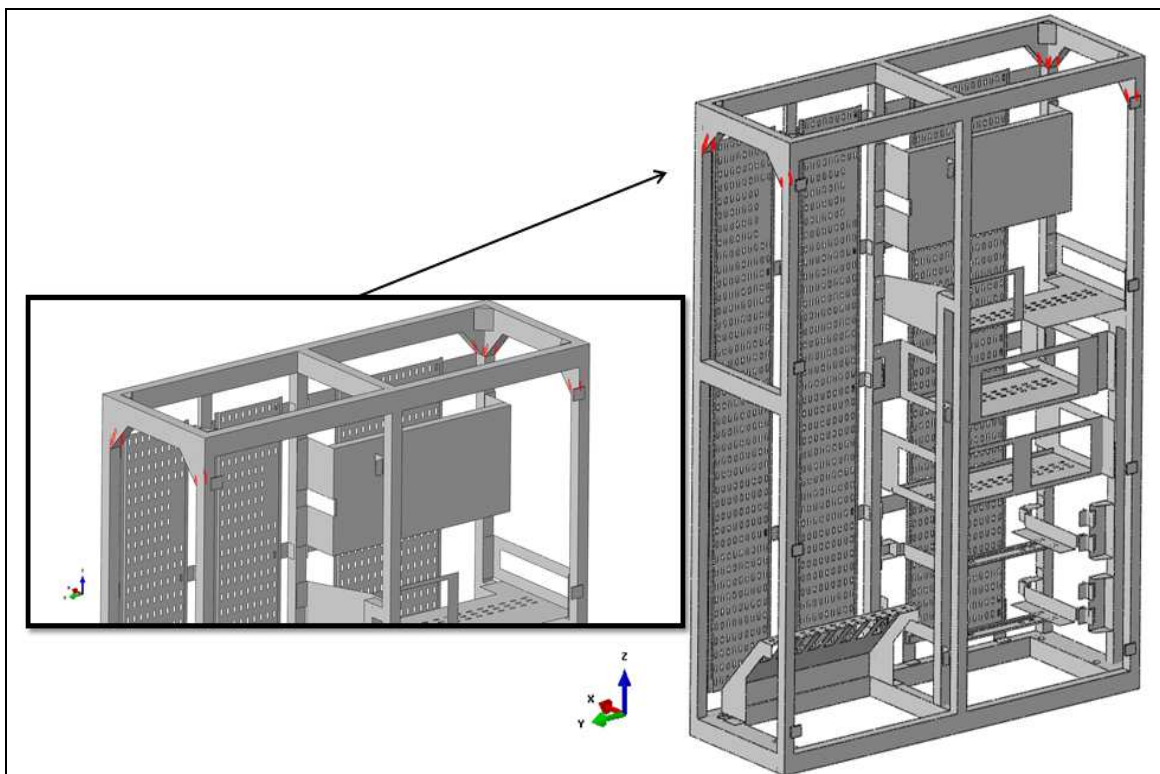
| Elemento/Nodo | Numero |
|---------------|--------|
| Quadr.        | 166353 |
| Triang.       | 310    |
| Esag.         | 4216   |
| Nodi          | 186520 |

**Tabella 7.** – Riassunto dei elementi presenti nel modello.

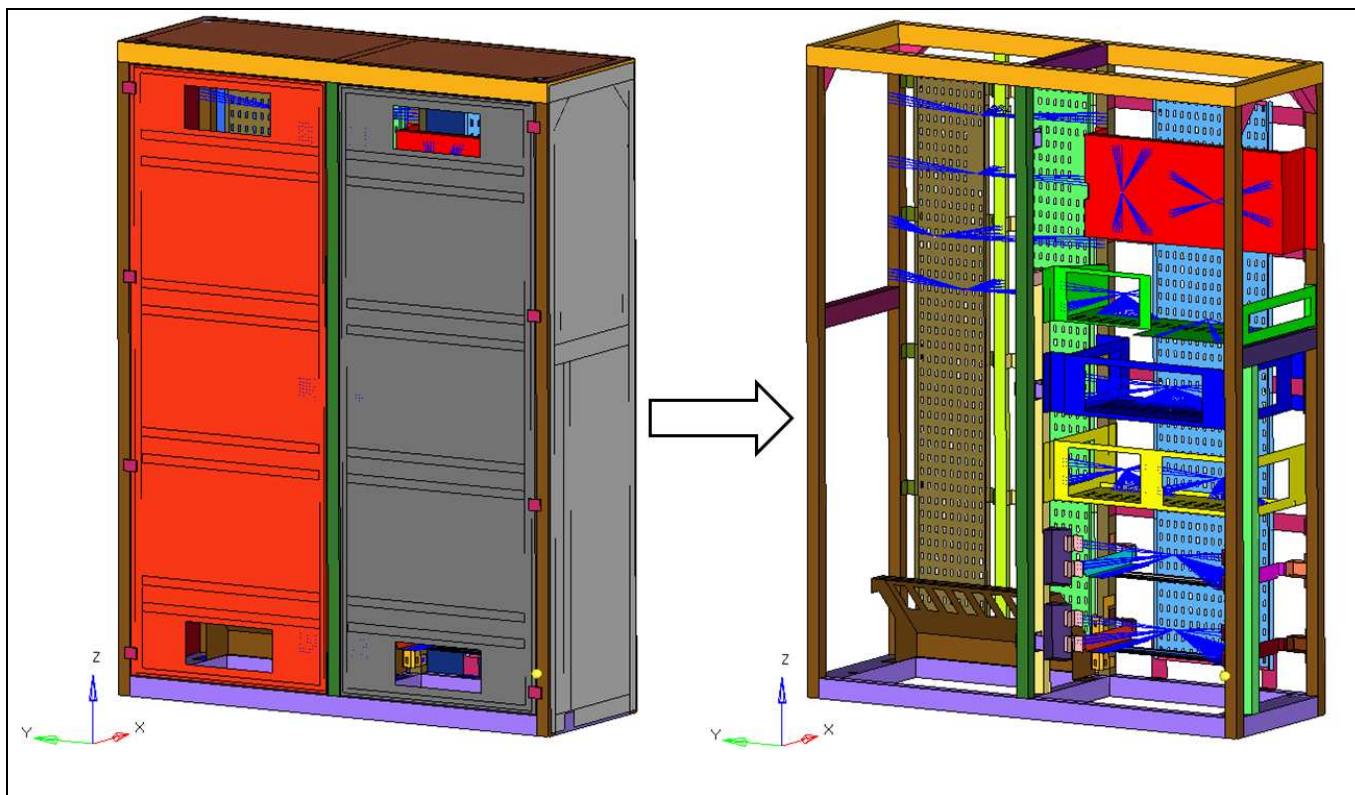
Nella Figura 7 e Figura 8Figura 7 si rappresentano due viste significative (una della parte esterna ed un'altra della parte interna) del modello FEM, nelle quali si può apprezzare visualmente la forma, le dimensioni e la distribuzione degli elementi della mesh. I requisiti di qualità della mesh ottenuti si indicano nell'immagine tratta dal calcolo FEM e si espressa nella **Figura 6**, e risponde ai criteri di accettabilità indicati nel paragrafo 6.2 de la IT n.º **383601**.

| Nº totale di elementi | Elementi Curved/warped | % elem. distorsionati |
|-----------------------|------------------------|-----------------------|
| 93588                 | 30                     | 0.017%                |

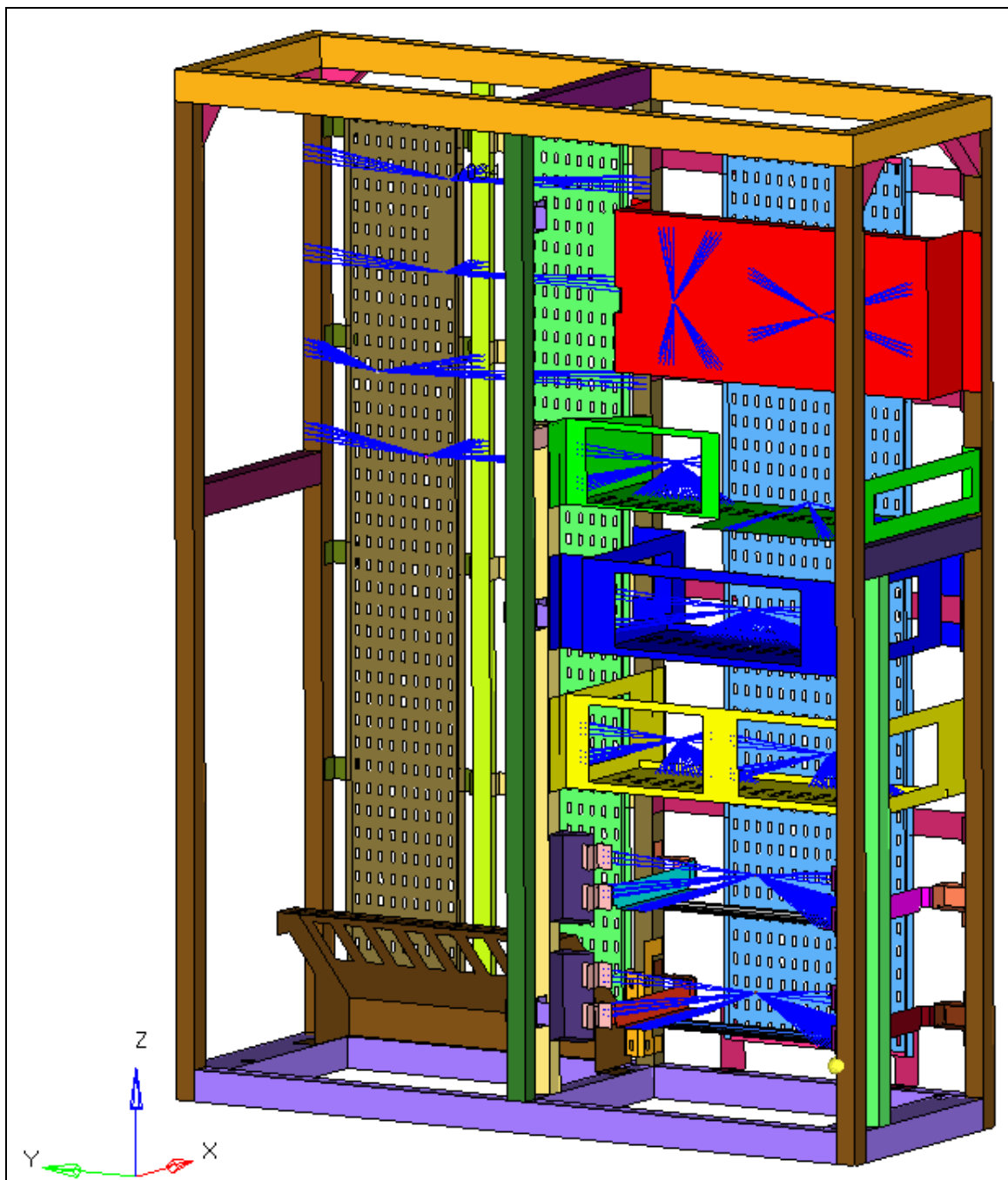
**Tabella 8.** – Elementi fuori dai criteri di qualità della mesh.



**Figura 6 –** In rosso, si segnalano gli elementi del modello FEM che non rispettano i criteri di qualità della mesh.



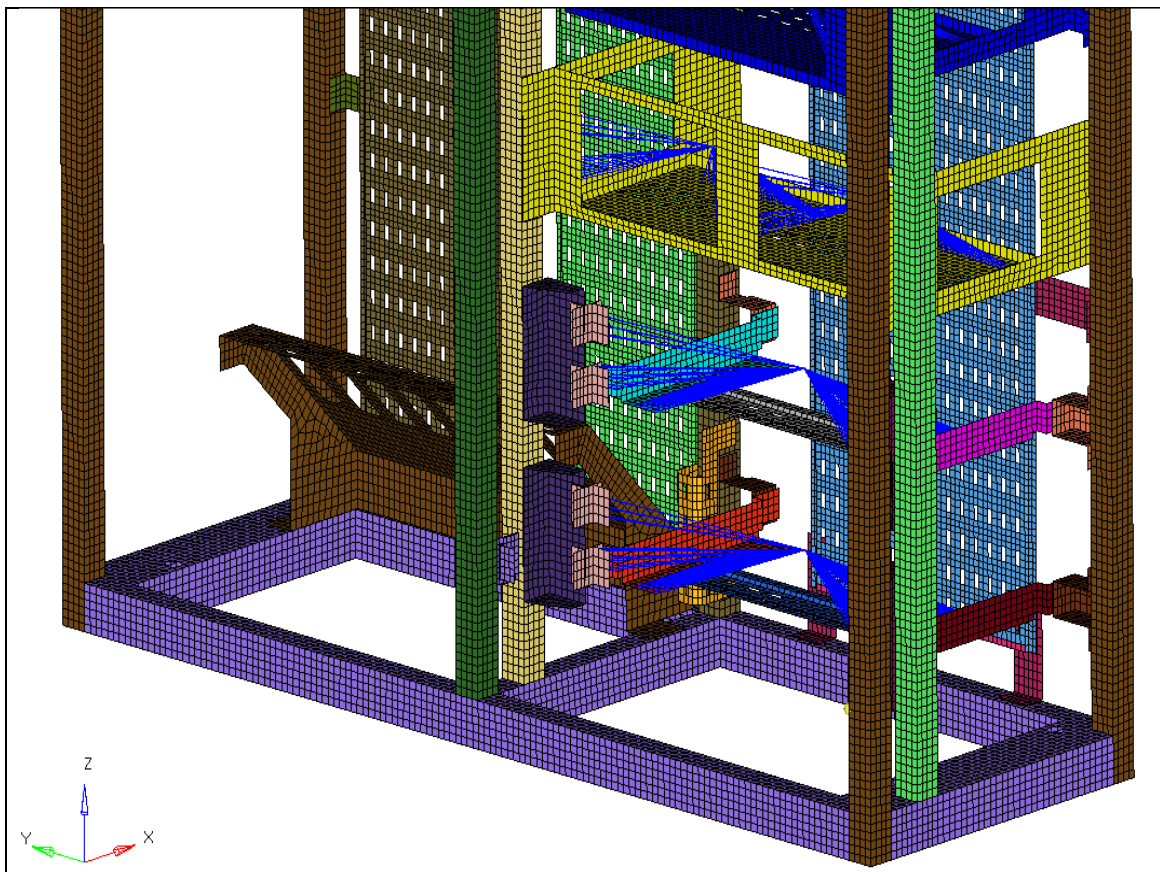
**Figura 7** - Vista generale del modello FEM.



**Figura 8** - Vista in dettaglio della parte interiore del modello FEM.

## 6.1 Descrizione del modello FEM

Il modello FEM rappresenta la struttura completa dell'armadio elettrico **B.20.83.006**. La mesh si compone per la maggior parte di elementi SHELL S4, utilizzando in alcune zone gli elementi SHELL S3 per realizzare le transizioni della mesh. Per la mesh del contrappeso, sono stati utilizzati elementi solidi esaedrici C3D8. La dimensione media degli elementi è di 10mm. Nelle figure successive si può vedere la mesh del modello **FEM**.



**Figura 9 -** Vista della mesh del modello FEM completo.

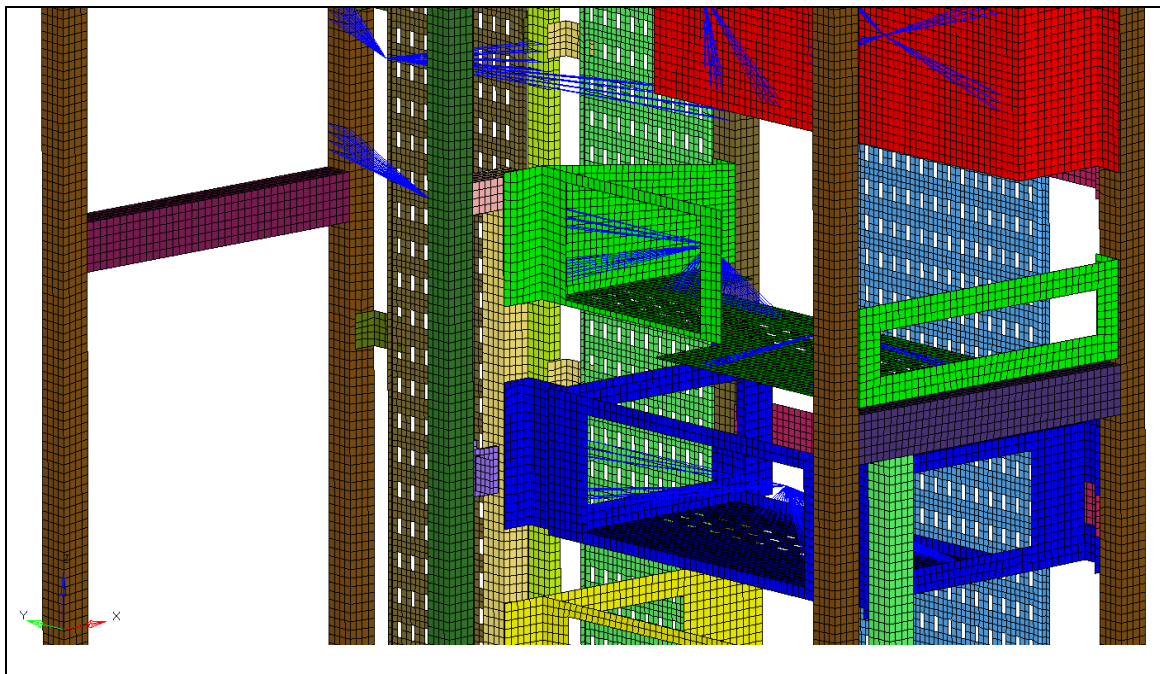


Figura 10 - Vista della mesh del modello FEM completo.

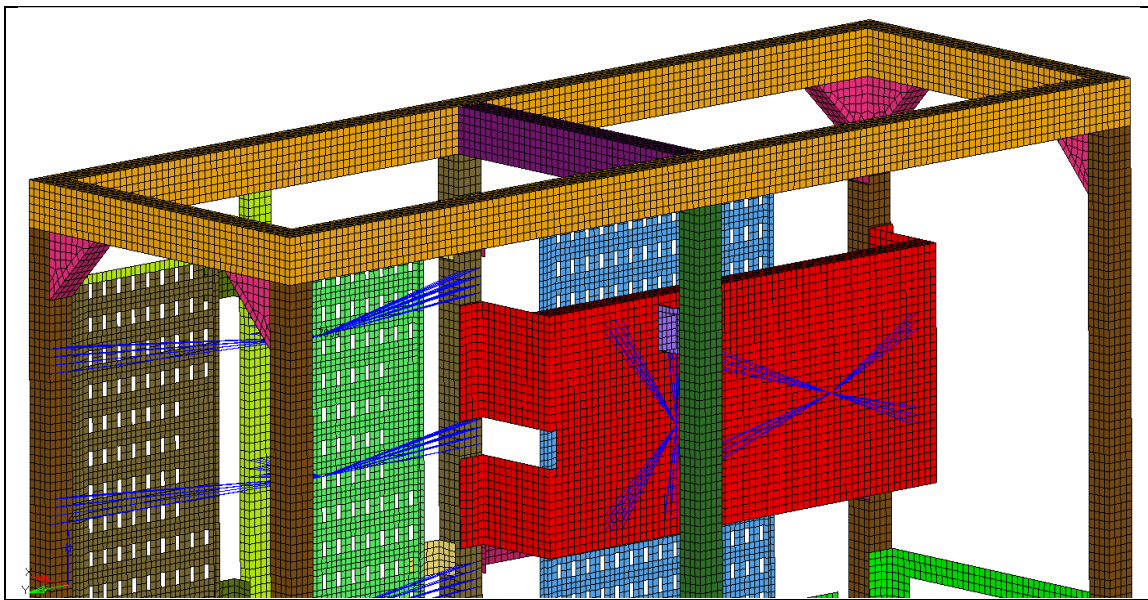
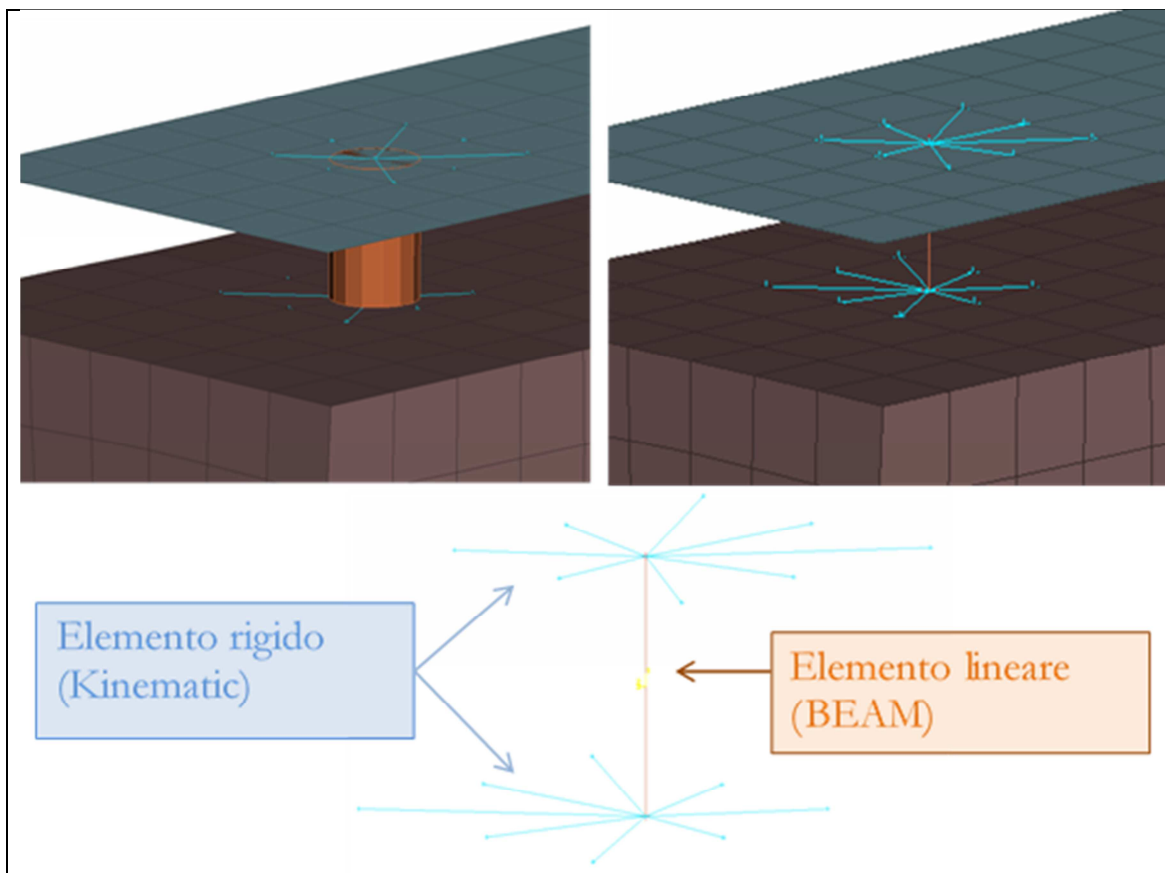


Figura 11 - Vista della mesh del modello FEM completo.

Le giunzioni saldate tra i profili e quelle tra membrature e profili sono state rappresentate tramite una serie di nodi in comune e unificando le diverse proprietà.

Rispetto alle giunzione chiodate e bullonate, si rappresentano nella modellizzazione **FEM**, tramite un **elemento lineare (beam)** che simula il corpo dell'elemento d'unione, nel caso dei rivetti o nel caso dell'unione bullonata i suoi nodi estremi si fissano alle due parti della mesh tramite una **zona rigida (kinematic)**. La figura di seguito mostra un esempio di quest'ultima modellizzazione.



**Figura 12** – Vista in dettaglio dell'esempio di modellizzazione di una giunzione bullonata.

## 6.2 Aplicación de masas en el modelo FEM

La massa totale dell'armadio elettrico **B.20.83.006** è:

| Armadio     | Massa (kg) |
|-------------|------------|
| B.20.83.006 | 337.4      |

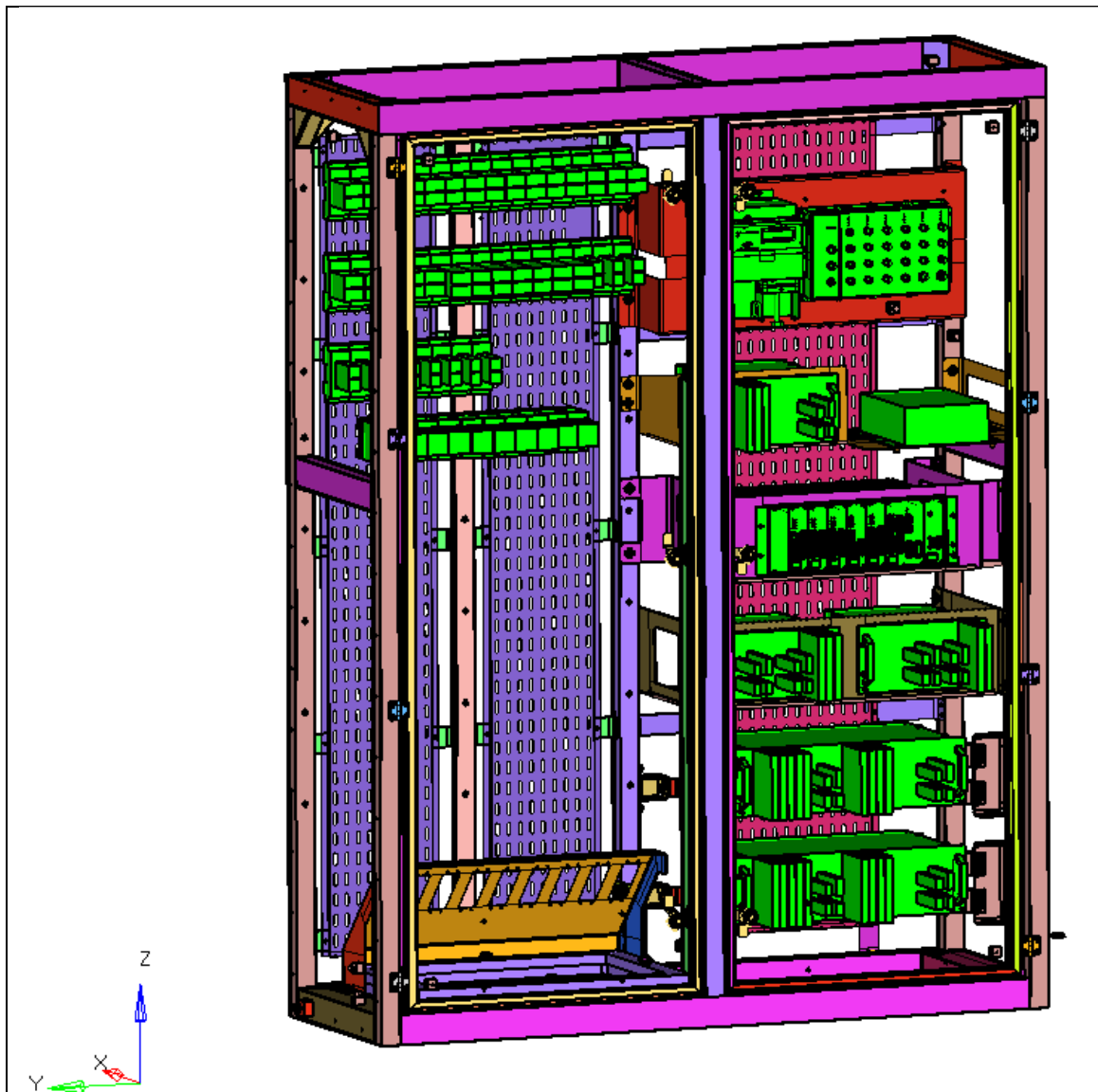


Figura 13 – Vista delle apparecchiature dell'armadio elettrico.

Nella Tabella 9 si indicano i valori caratteristici delle principali masse dell'armadio elettrico. Nella Figura 14 si mostrano le localizzazioni delle masse.

| Elemento  | Nome   | Massa (kg) |
|-----------|--------|------------|
| 5000      | MASS_1 | 7.4        |
| 5001      | MASS_2 | 3.2        |
| 5002-5003 | MASS_3 | 6          |
| 5004      | MASS_4 | 5          |
| 5005      | MASS_5 | 2.5        |
| 5006-5008 | MASS_6 | 4          |
| 5009      | MASS_7 | 3          |
| 5010      | MASS_8 | 5.5        |
| 5011-5012 | MASS_9 | 4.5        |

Tabella 9 – Caratteristiche delle masse dell'armadio elettrico.

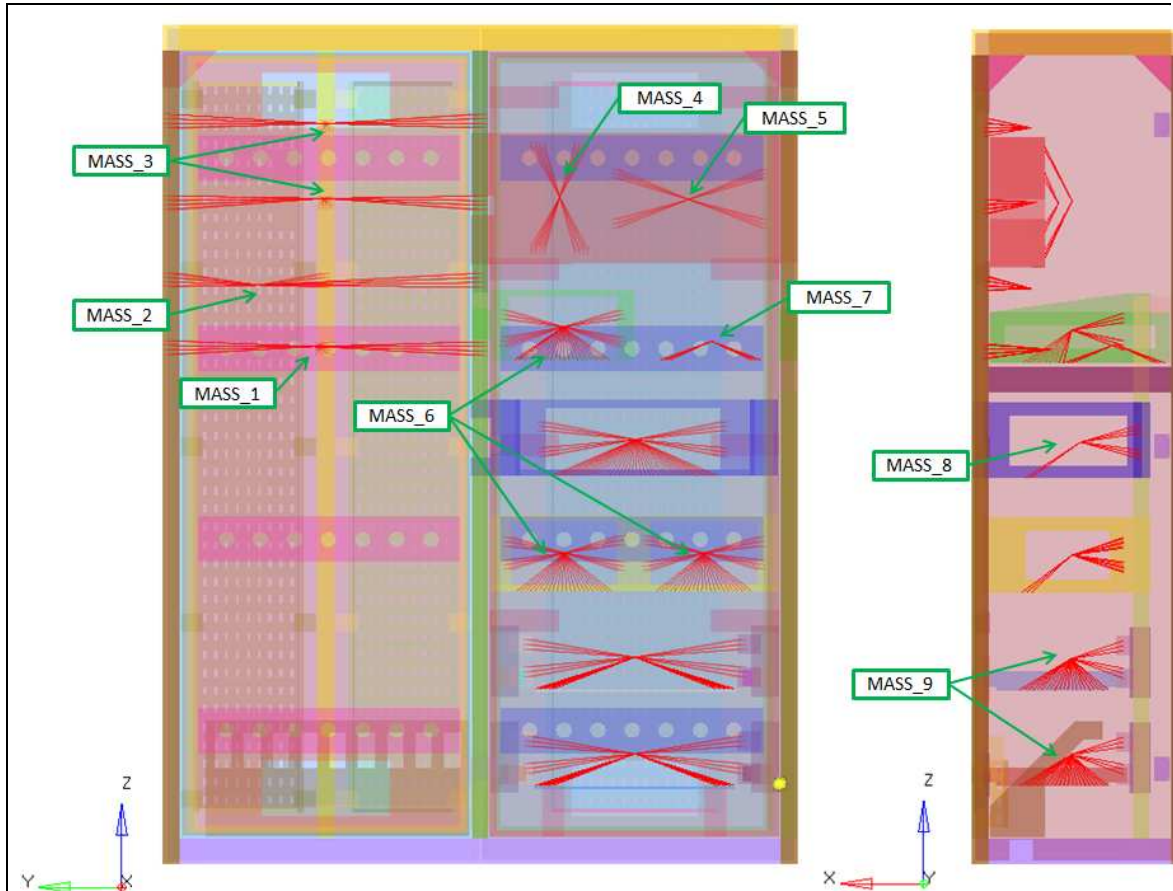
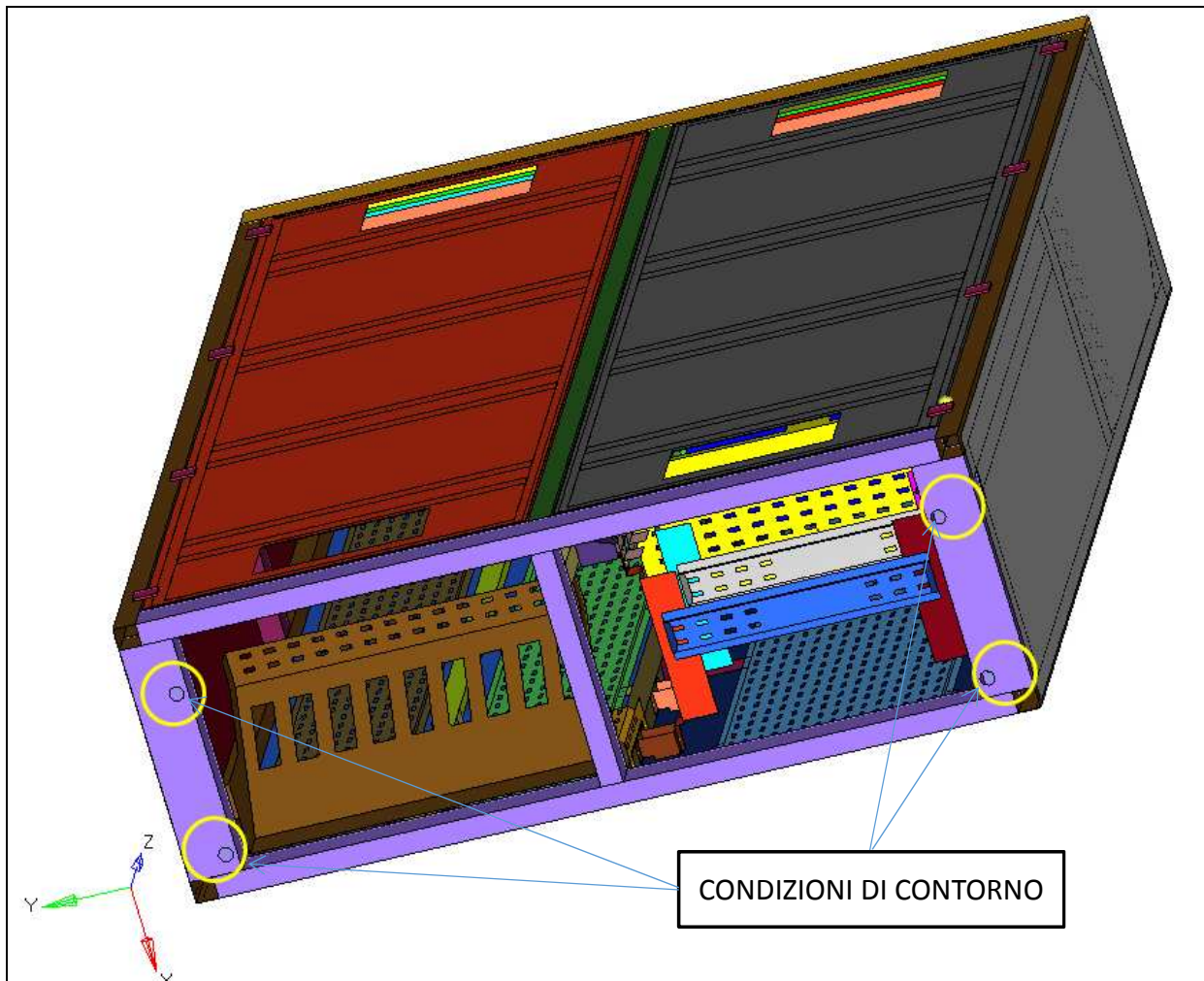


Figura 14 – Nomenclatura delle masse dell'armadio elettrico.

### 6.3 Applicazione delle condizioni di contorno al modello FEM

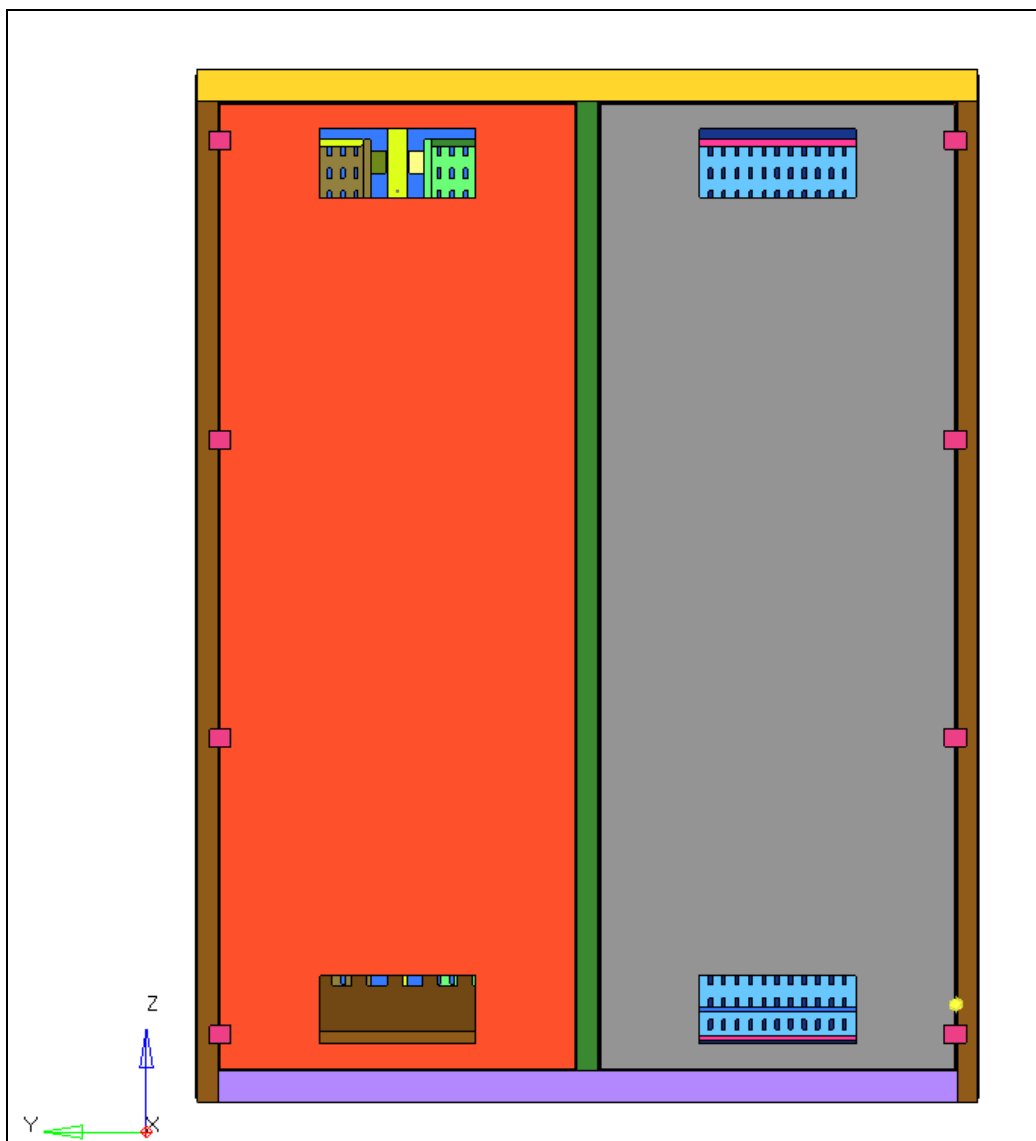
Le condizioni di contorno o di vincolo del modello **FEM**, si applicano nella parte inferiore delle quattro aste filettate che vanno dalla parte superiore (fissate con un dado autobloccante) fino alla parte inferiore (avvitate al supporto inferiore). Nella seguente figura si possono vedere in dettaglio la applicazione dei vincoli.



**Figura 15** – Dettaglio dei vincoli applicati alla parte inferiore delle travi verticali.

#### 6.4 Sistemi di coordinate nel modello FEM

Il sistema di coordinate del modello FEM si trova definito come specificato nella figura di seguito.



**Figura 16 – Sistema di riferimento locale del modello.**

Gli assi di conseguenza risultano definiti come segue:

- **X** corrisponde all'asse longitudinale (verso positivo nel senso di marcia della locomotiva).
- **Z** corrisponde all'asse verticale (verso positivo verso l'alto).
- **Y** corrisponde all'asse trasversale.

## 7. CASI DI CARICO

D'accordo con la descrizione del capitolo 5 di questo documento, le condizioni di carico che devono essere verificate sono riassunte nella Tabella 10.

| Tipo di carico         | Rif. | Condizioni di carico  | Norma/ST di riferimento     |
|------------------------|------|---|-----------------------------|
| Statici                | A    | <b>LC1_E-X5_POS</b> accelerazione applicata in direzione longitudinale di valore 5g + accelerazione della gravità.  | UNI-EN-12663-1, Tabella 13  |
|                        | B    | <b>LC1_E-X5_NEG</b> accelerazione applicata in direzione longitudinale di valore -5g + accelerazione della gravità. | UNI-EN-12663-1, Tabella 13  |
|                        | C    | <b>LC2_E-Y1_POS</b> accelerazione applicata in direzione trasversale di valore 1g + accelerazione della gravità.    | UNI-EN-12663-1, Tabella 14  |
|                        | D    | <b>LC2_E-Y1</b> accelerazione applicata in direzione trasversale di valore -1g + accelerazione della gravità.       | UNI-EN-12663-1, Tabella 14  |
|                        | E    | <b>LC3_E-Z1_POS</b> accelerazione applicata in direzione verticale di valore -2.25g                                 | UNI-EN-12663-1, Tabella 15  |
|                        | F    | <b>LC3_E-Z1_NEG</b> accelerazione applicata in direzione verticale di valore 0.25g                                  | UNI-EN-12663-1, Tabella 15  |
| Fatica                 | G    | <b>LC4_F-Y015_POS</b> accelerazione applicata in direzione trasversale di valore 0.2g.                              | UNI-EN-12663-1, Tabella 16  |
|                        | H    | <b>LC4_F-Y015_NEG</b> accelerazione applicata in direzione trasversale di valore -0.2g.                             | UNI-EN-12663-1, Tabella 16  |
|                        | I    | <b>LC5_F-Z015_POS</b> accelerazione applicata in direzione longitudinale di valore 1.25g                            | UNI-EN-12663-1, Tabella 17  |
|                        | J    | <b>LC5_F-Z015_NEG</b> accelerazione applicata in direzione longitudinale di valore 0.75g                            | UNI-EN-12663-1, Tabella 17  |
|                        | K    | <b>LC6_F-X015_POS</b> accelerazione applicata in direzione longitudinale di valore 0.15g                            | UNI-EN-12663-1, Tabella 18  |
|                        | L    | <b>LC6_F-X015_NEG</b> accelerazione applicata in direzione longitudinale di valore -0.15g                           | UNI-EN-12663-1, Tabella 18  |
| Impatto                | M    | <b>SHOCK_X_POS</b> impulso semisinusoidale di 30 millisecondi di valore 50g   | UNI-EN-61373:2101, Figura 7 |
|                        | N    | <b>SHOCK_X_NEG</b> impulso semisinusoidale di 30 millisecondi di valore -50g  | UNI-EN-61373:2101, Figura 7 |
|                        | O    | <b>SHOCK_Y_POS</b> impulso semisinusoidale di 30 millisecondi di valore 30g   | UNI-EN-61373:2101, Figura 7 |
|                        | P    | <b>SHOCK_Y_NEG</b> impulso semisinusoidale di 30 millisecondi di valore -30g  | UNI-EN-61373:2101, Figura 7 |
|                        | Q    | <b>SHOCK_Z_POS</b> impulso semisinusoidale di 30 millisecondi di valore 30g   | UNI-EN-61373:2101, Figura 7 |
|                        | R    | <b>SHOCK_Z_NEG</b> impulso semisinusoidale di 30 millisecondi di valore -30g  | UNI-EN-61373:2101, Figura 7 |
| Prova d'invecchiamento | S    | <b>PSD.</b> Durata della prova 5h. Tre curve con i livelli di <b>ASD.</b> Vedi Tabella 11 e Figura 17               | UNI-EN-61373:2101, Figura 2 |

**Tabella 10 – Condizioni di carico**

Seguendo i criteri stabiliti nel paragrafo 5.4 di questo documento, per una massa  $m = 337.4$  kg e seguendo i criteri presenti nella Figura 4 e Figura 5, si ottengono le tre curve PSD che si mostrano qui di seguito.

| Frequenza (Hz) | ASD ( $m/s^2$ ) <sup>2</sup> /Hz |             |               |
|----------------|----------------------------------|-------------|---------------|
|                | Verticale                        | Trasversale | Longitudinale |
| 5              | 0.532                            | 0.131       | 0.234         |
| 20             | 0.532                            | 0.131       | 0.234         |
| 150            | 0.0096                           | 0.00236     | 0.00422       |

Tabella 11 – Livelli ASD per frequenza.

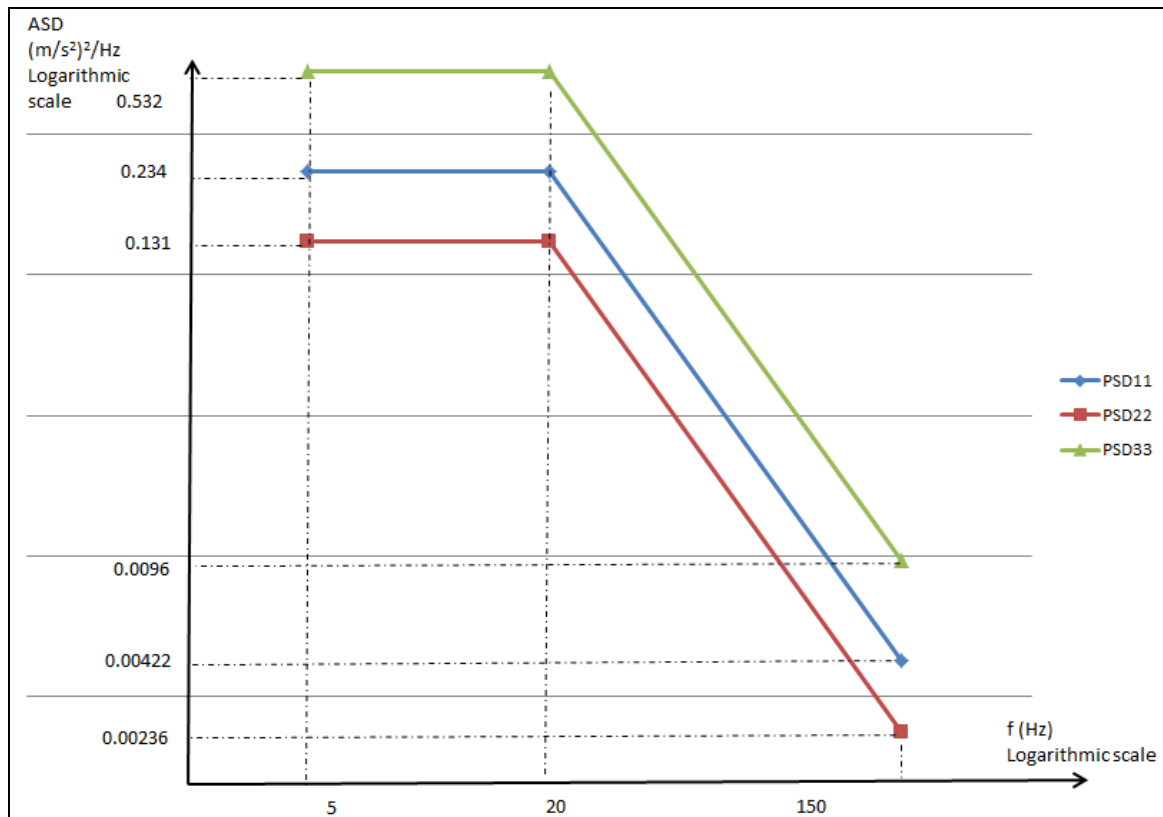


Figura 17 – Curve PSD

## 8. ANALISI DEI RISULTATI

In questo capitolo, si mostrano i risultati ottenuti in ognuna delle analisi dei casi di carico esposti nella Tabella 10.

### 8.1 Calcolo del materiale base (membrature), casi di carico statici.

Le seguenti figure mostrano l'analisi tensionale di Von Mises del modello **FEM** per ogni caso di carico indicato nella Tabella 10. In concreto, per rappresentare le tensioni, si utilizzano varie immagini tanto generali (viste del modello completo senza mesh) come dettagliate (viste di ampliazioni locali del modello con rispettiva mesh) delle zone più affettate.

In forma di riassunto, alla fine di ogni caso di carico si mostra una tabella riassuntiva con i punti maggiormente critici calcolati come segue:  $\eta_1 = \sigma_{adm} / \sigma_m$ .

Infine, si ricorda che le deformazioni verranno espresse in **m**, mentre le tensioni in **Pa**.

| Rif. | Tipi di carico | Condizioni di Carico   | Coefficienti di sicurezza |
|------|----------------|--|---------------------------|
|      |                |  | $\eta_1$                  |
| A    | Statici        | LC1_E-X5_POS accelerazione applicata in direzione longitudinale di valore 5g + accelerazione della gravità.  | 1.56                      |
| B    |                | LC1_E-X5_NEG accelerazione applicata in direzione longitudinale di valore -5g + accelerazione della gravità. | 1.46                      |
| C    |                | LC2_E-Y1_POS accelerazione applicata in direzione trasversale di valore 1g + accelerazione della gravità.    | >2                        |
| D    |                | LC2_E-Y1_accelerazione applicata in direzione trasversale di valore -1g + accelerazione della gravità.       | >2                        |
| E    |                | LC3_E-Z1_POS accelerazione applicata in direzione verticale di valore -2.25g                                 | >2                        |
| F    |                | LC3_E-Z1_NEG accelerazione applicata in direzione verticale di valore 0.25g                                  | >2                        |

Tabella 12 – Coefficienti di sicurezza per i casi di carico statici.

## 8.1.1 LC1\_E-X5\_POS (Rif. A Tabella 10)

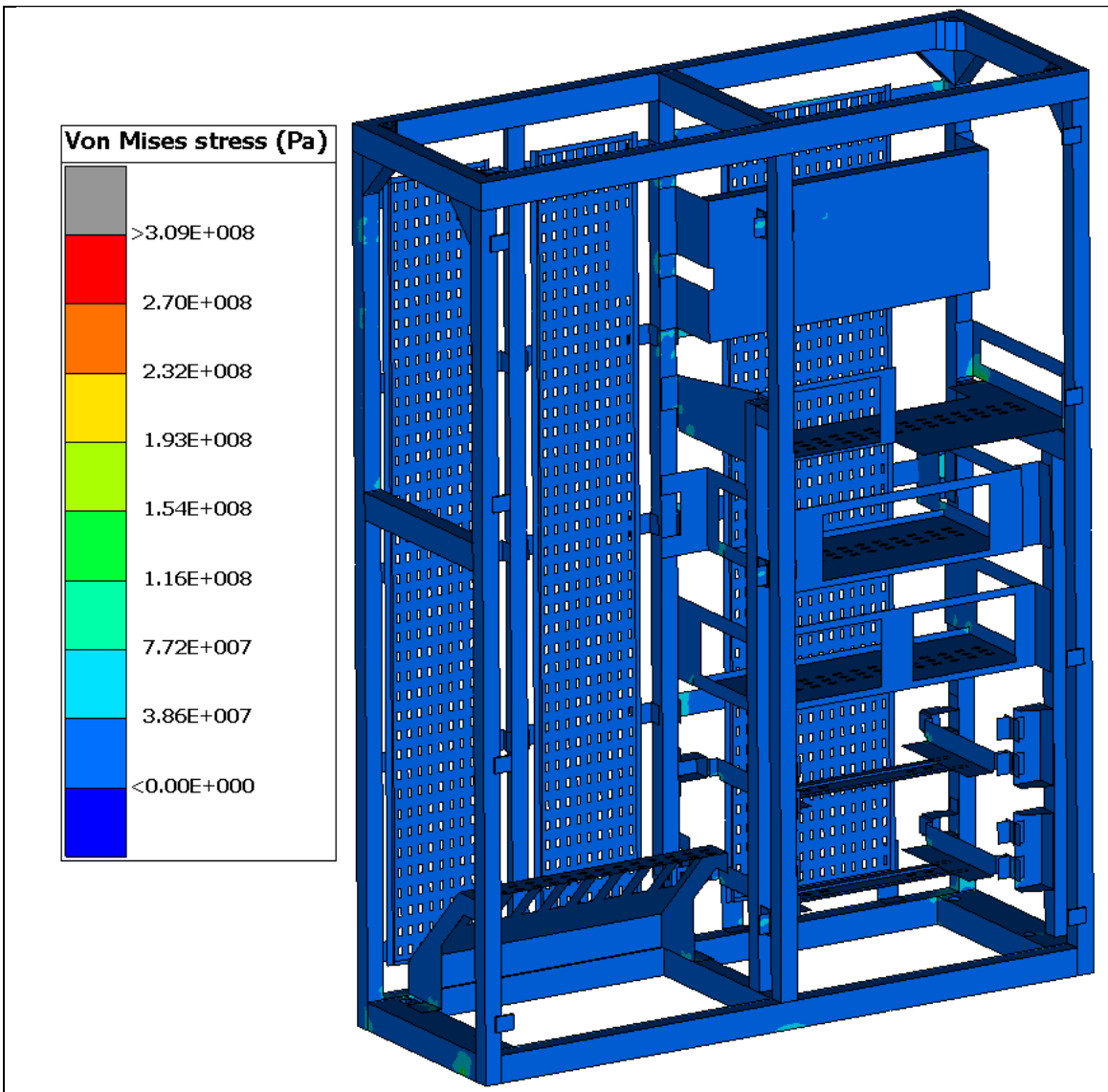


Figura 18 – Caso di carico LC1\_E-X5\_POS\_Tensione di Von Mises. Vista generale.

## 8.1.2 LC1\_E-X5\_NEG (Rif. B Tabella 10)

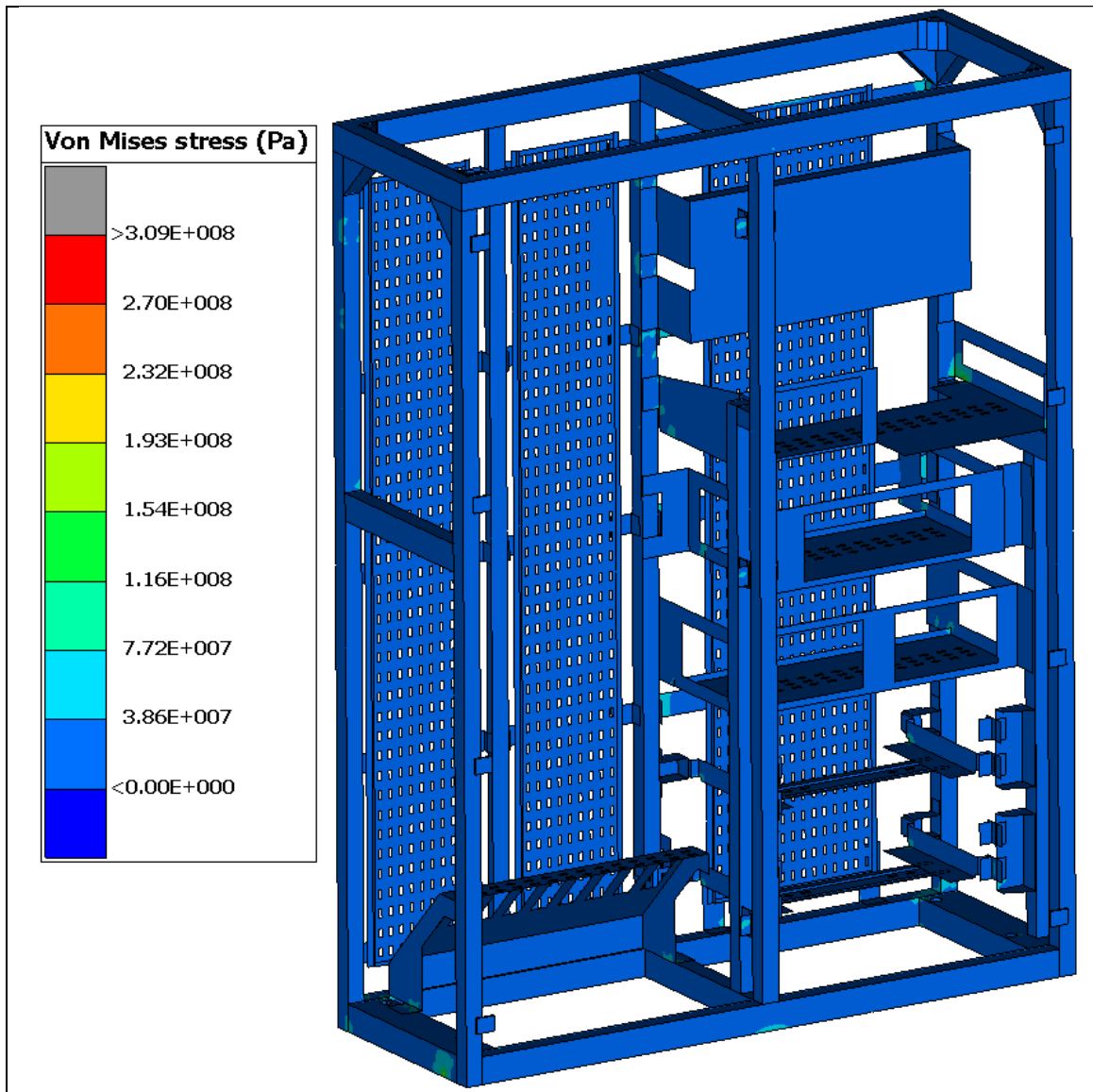
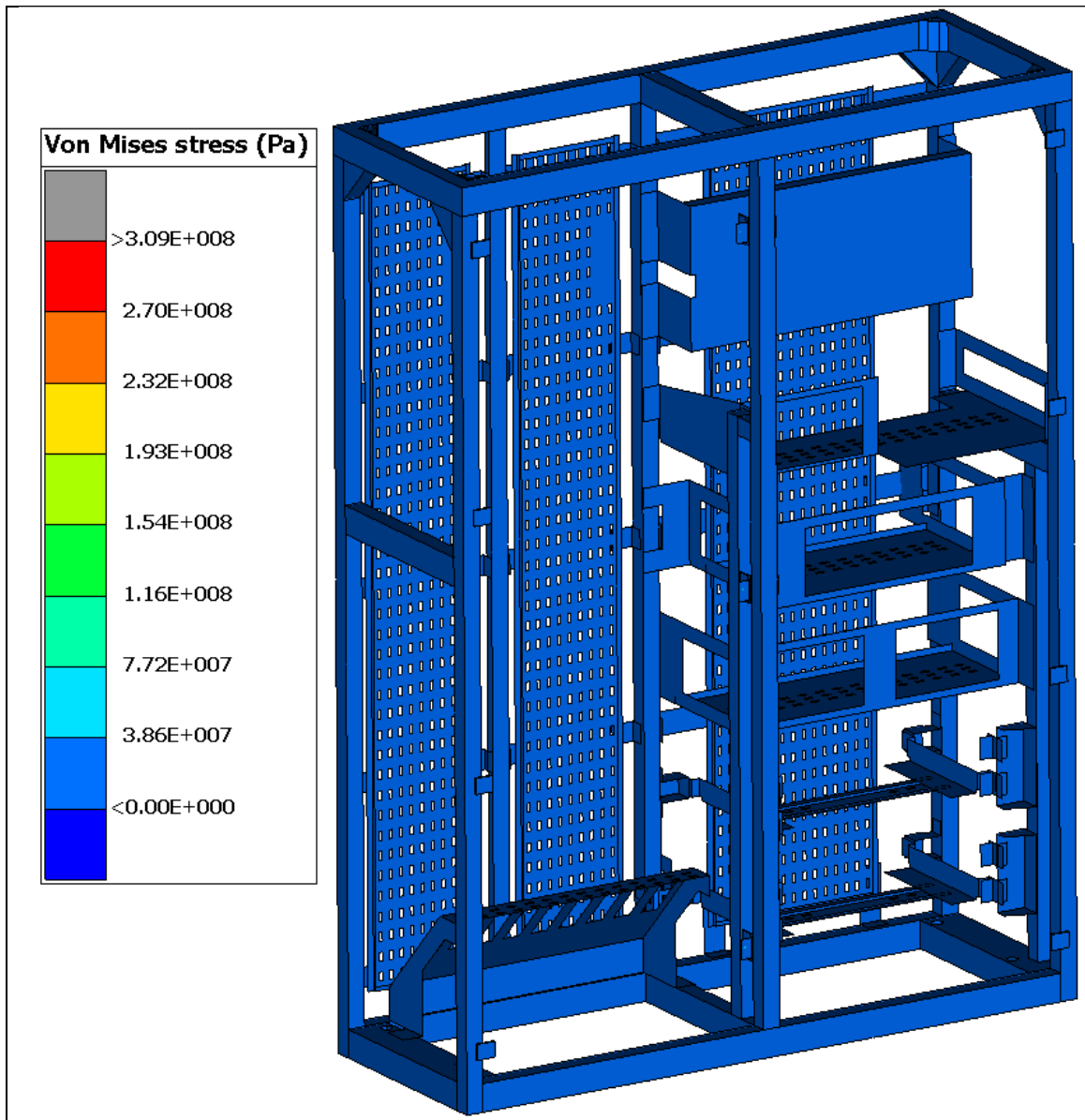


Figura 19 – Caso di carico LC1\_E-X5\_NEG\_Tensione di Von Mises. Vista generale.

## 8.1.3 LC1\_E-Y1\_POS (Rif. C Tabella 10)

**Figura 20 – Caso di carico LC1\_E-Y1\_POS\_Tensione di Von Mises. Vista generale.**

## 8.1.4 LC1\_E-Y1\_NEG (Rif. D Tabella 10)

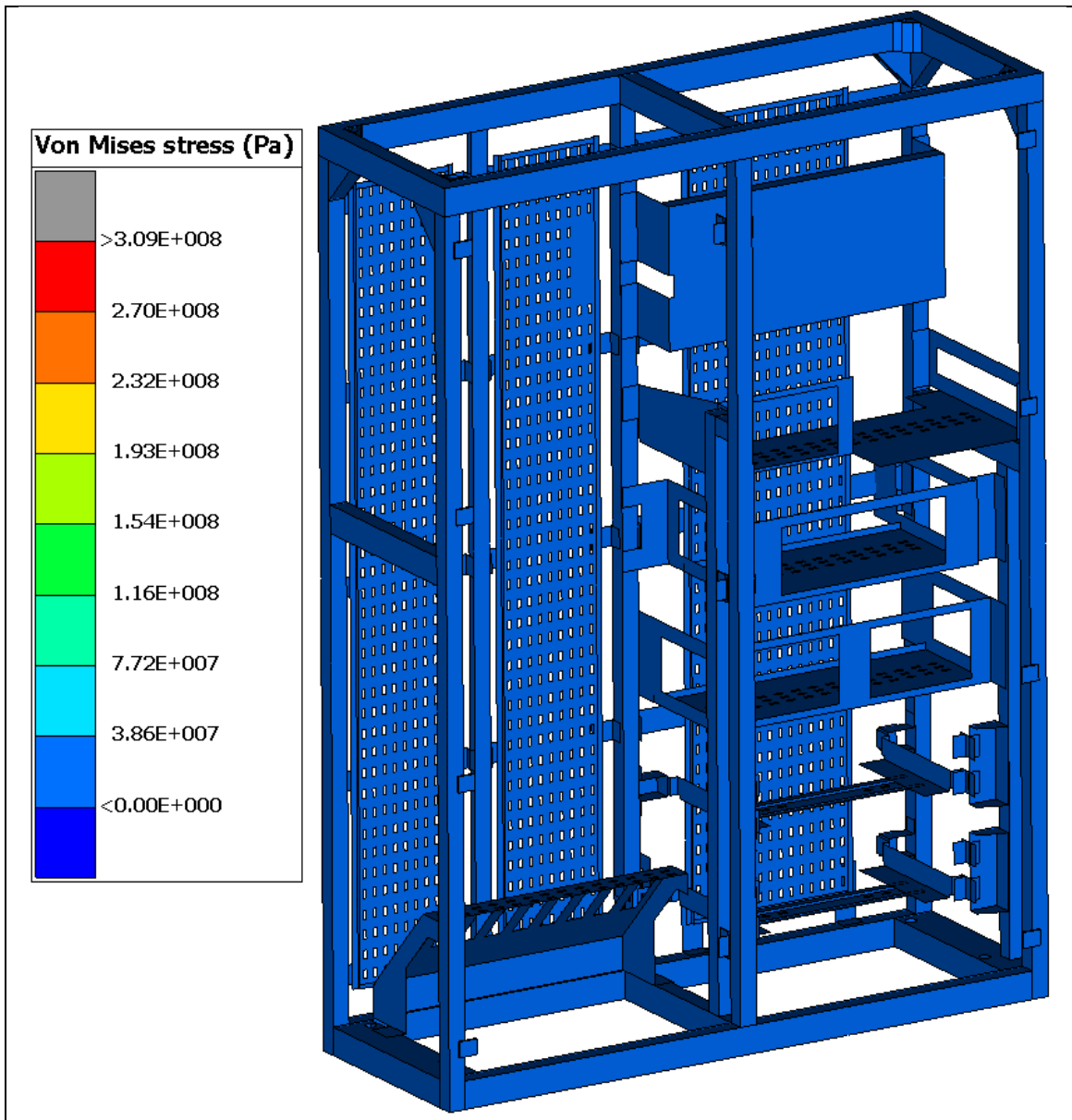


Figura 21 – Caso di carico LC1\_E-Y1\_NEG\_Tensione di Von Mises. Vista generale.

## 8.1.5 LC1\_E-Z1\_POS (Rif. E Tabella 10)

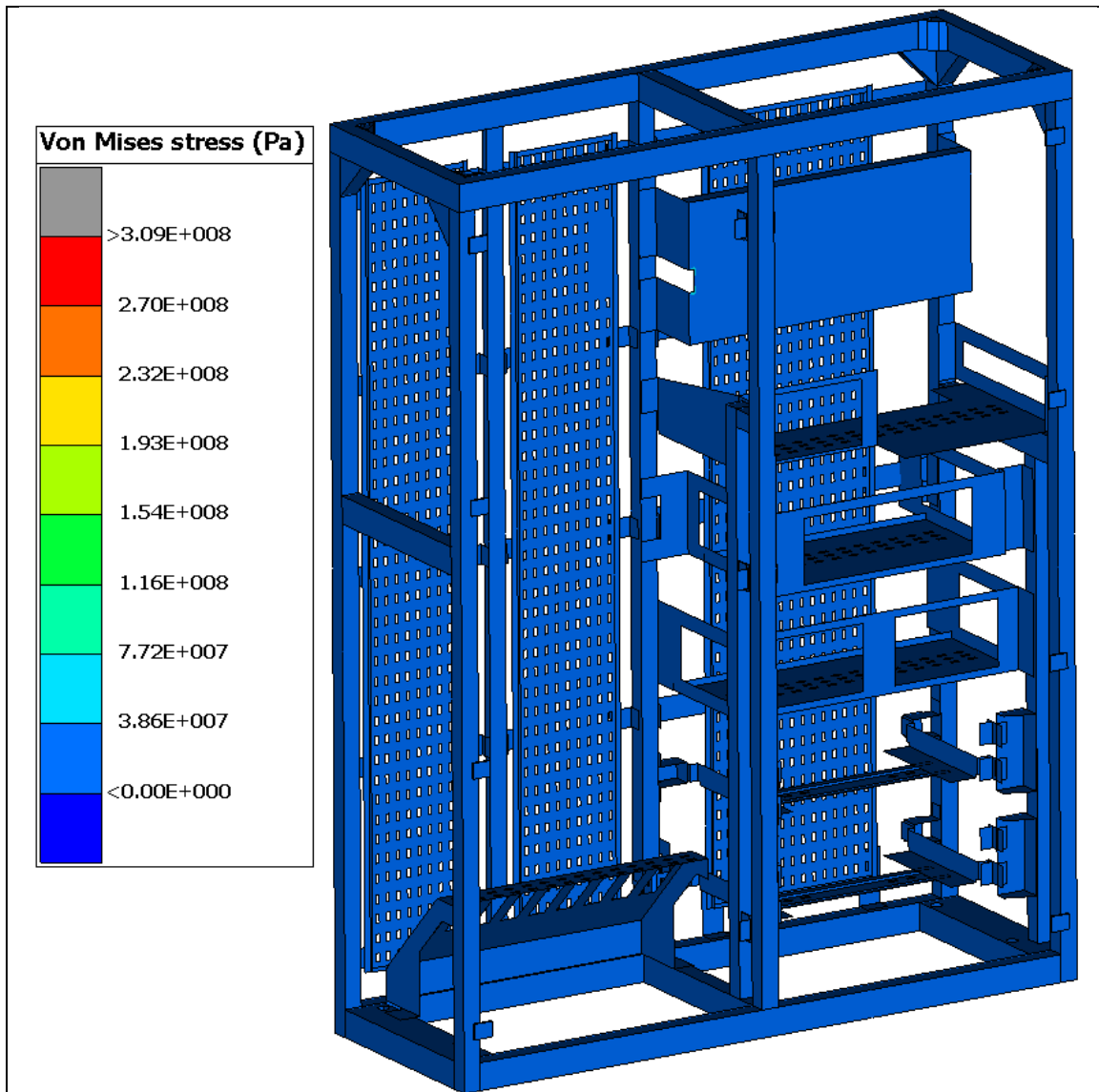


Figura 22 – Caso di carico LC1\_E-Z1\_POS\_Tensione di Von Mises. Vista generale.

## 8.1.6 LC1\_E-Z1\_NEG (Rif. F Tabella 10)

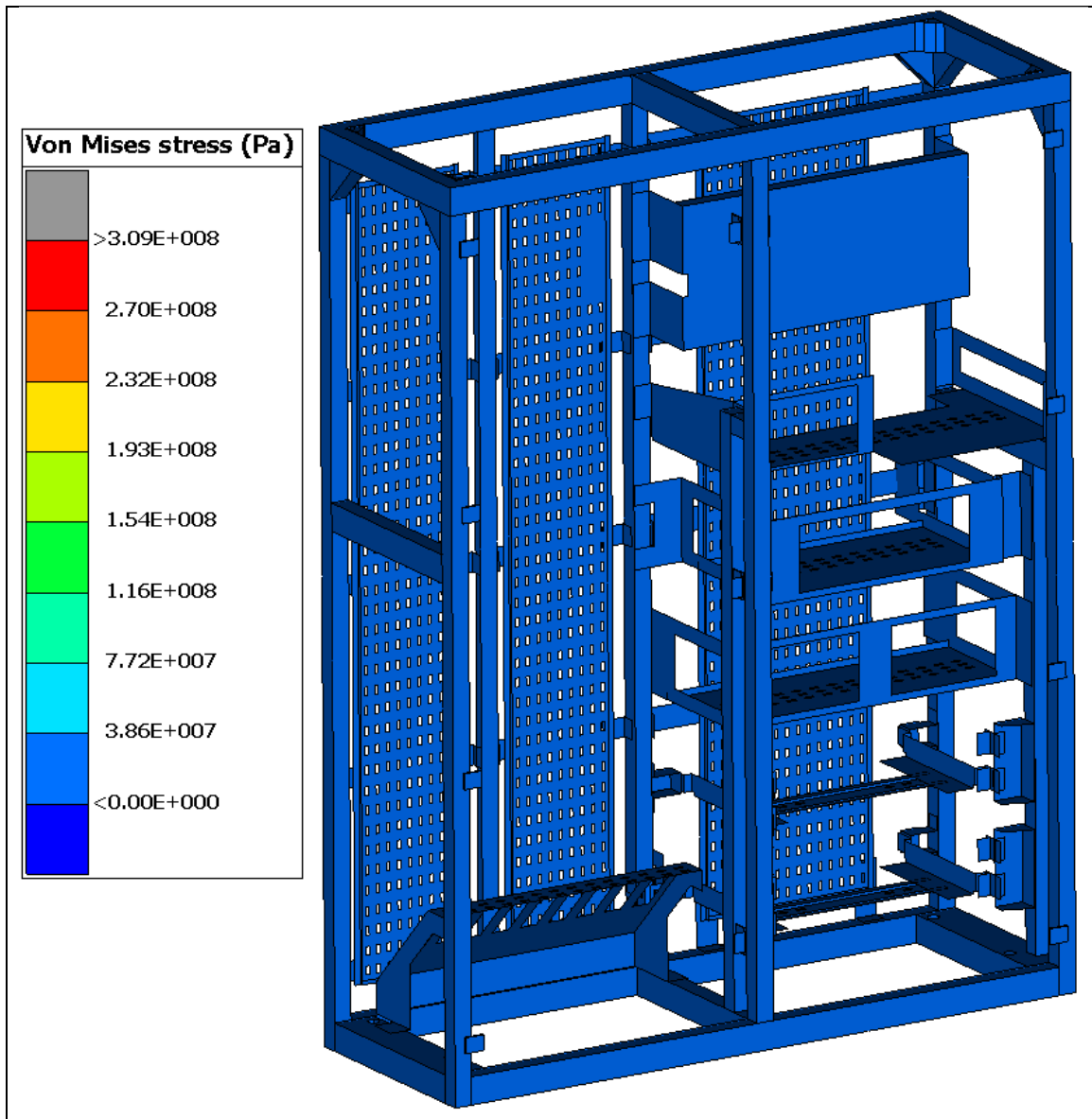


Figura 23 – Caso di carico LC1\_E-Z1\_NEG\_Tensione di Von Mises. Vista generale.

## 8.2 Calcolo del materiale base (membrature), casi di carico a fatica (Rif. G, H, I, J, K e L Tabella 10)

Seguendo le indicazioni del paragrafo 5.2, le due condizioni di verifica per le membrature (materiale base) a fatica sono le seguenti:

$$\Delta\sigma_{princ} \leq \Delta\sigma_N$$

$$\sigma_{princ\_max} \leq \sigma_{N\ max}$$

La categoria scelta per il materiale base è DC160.

Le figure di seguito mostrano le immagini delle tensioni principali massime ed il loro rango corrispondente, visualizzando sempre in ogni nodo l'inviluppo dei 6 casi di carico a fatica (Rif. G, H, I, J, K e L Tabella 10), considerando il valore più sfavorevole di ogni caso di carico.

Infine, si mostrano in una tabella riassuntiva i coefficienti di sicurezza più critici calcolati come segue:

$$\eta_{2mb} = \frac{\Delta\sigma_N}{\Delta\sigma_{princ}} \quad \eta_{3mb} = \frac{\sigma_{N\ max}}{\sigma_{princ\_max}}$$

Le tensioni vengono espresse in Pa.

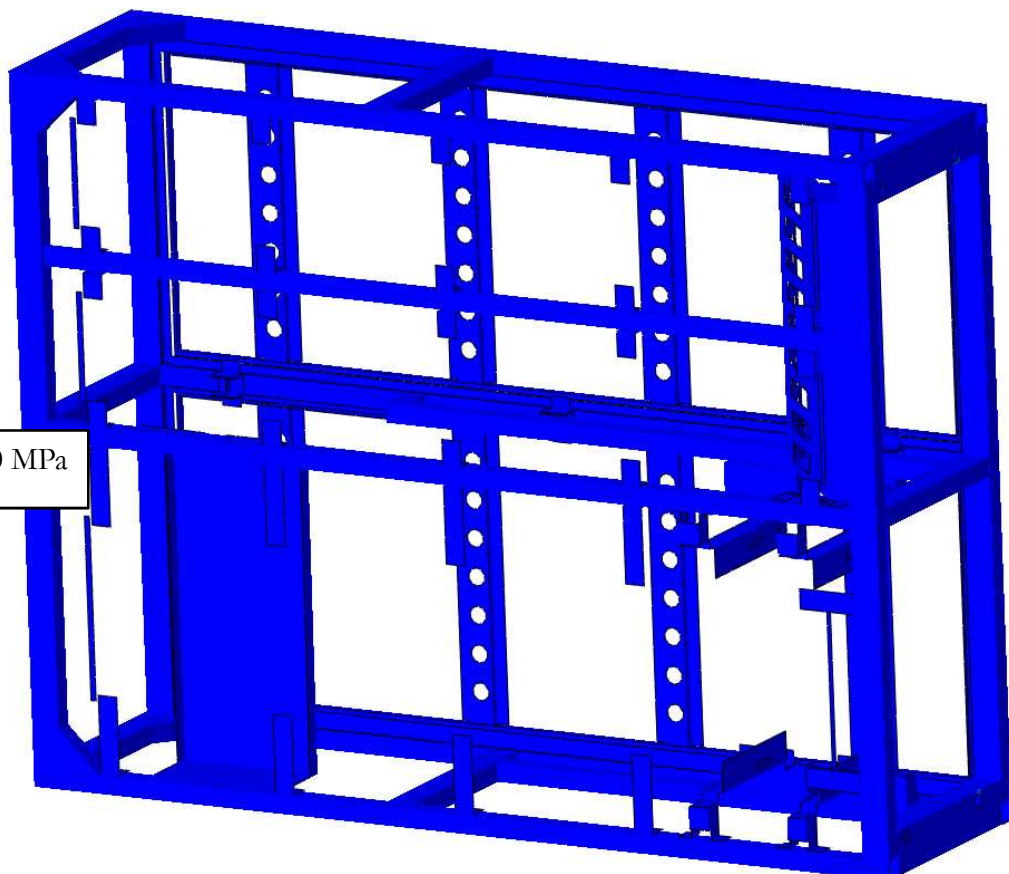
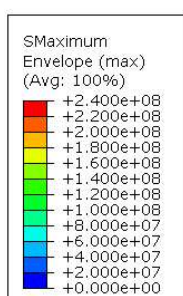
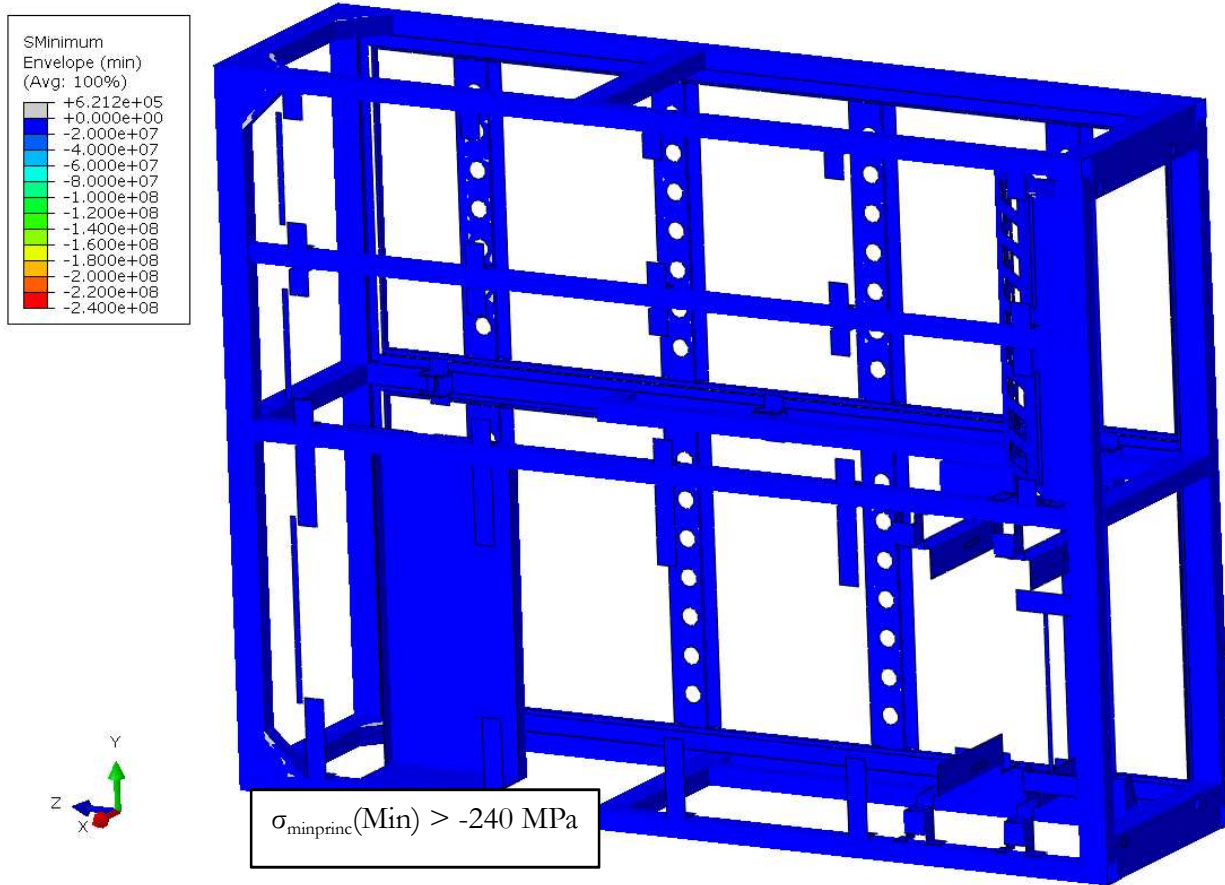


Figura 24 – Inviluppo dei casi di carico a fatica, materiale base, massima tensione principale  $\sigma_{princ\_max}$ .



**Figura 25 – Inviluppo dei casi di carico a fatica, materiale base, minima tensione principale  $\sigma_{\text{princ\_min}}$**

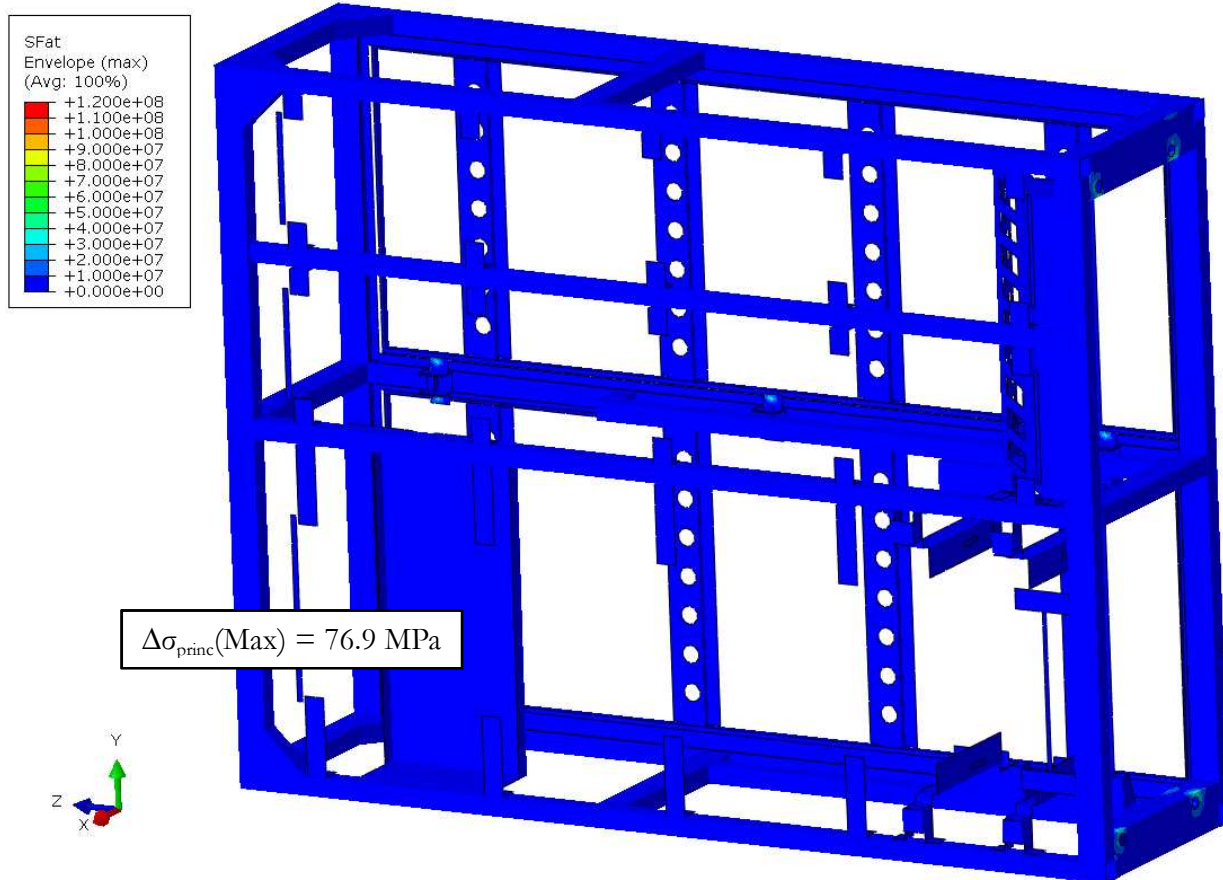


Figura 26 – Inviluppo dei casi di carico a fatica, massimo incremento tensionale  $\Delta\sigma$ .

| Tipo di carico | Rif.             | Coefficiente di sicurezza |              |
|----------------|------------------|---------------------------|--------------|
|                |                  | $\eta_{2mb}$              | $\eta_{3mb}$ |
| Fatica         | G, H, I, J, K, L | >2                        | >2           |

Tabella 13 – Coefficienti di sicurezza per i casi di carico a fatica.

### 8.3 Casi di carico d'impatto

A continuazione si mostrano i risultati per i casi di carico d'impatto descritti nella Tabella 10. Le immagini sottostanti mostrano lo stato tensionale di Von Mises per ogni caso di carico, visualizzando in ogni nodo l'inviluppo delle tensioni considerando ogni istante di tempo durante il quale si sviluppa lo shock (60 ms).

Le tensioni vengono espresse in N/m<sup>2</sup>.

Per riassumere, a continuazione si mostrano in una tabella i margini di sicurezza critici per ogni caso di carico calcolati come segue:  $\eta_1 = \sigma_{adm} / \sigma_{vm}$

| Rif. | Tipo di carico | Condizione di carico  | Coefficienti di sicurezza |
|------|----------------|---|---------------------------|
|      |                |   | $\eta_1$                  |
| M    | Impatto        | SHOCK_X_POS impulso semisinusoidale di 30 millisecondi di valore 50g  | 1.04                      |
| N    |                | SHOCK_X_NEG impulso semisinusoidale di 30 millisecondi di valore -50g | 1.04                      |
| O    |                | SHOCK_Y_POS impulso semisinusoidale di 30 millisecondi di valore 30g  | >2                        |
| P    |                | SHOCK_Y_NEG impulso semisinusoidale di 30 millisecondi di valore -30g | >2                        |
| Q    |                | SHOCK_Z_POS impulso semisinusoidale di 30 millisecondi di valore 30g  | >2                        |
| R    |                | SHOCK_Z_NEG impulso semisinusoidale di 30 millisecondi di valore -30g | >2                        |

Tabella 14 – Coefficienti di sicurezza per i casi di carico d'impatto.

## 8.3.1 SHOCK\_X\_POS (Rif. M Tabella 10)

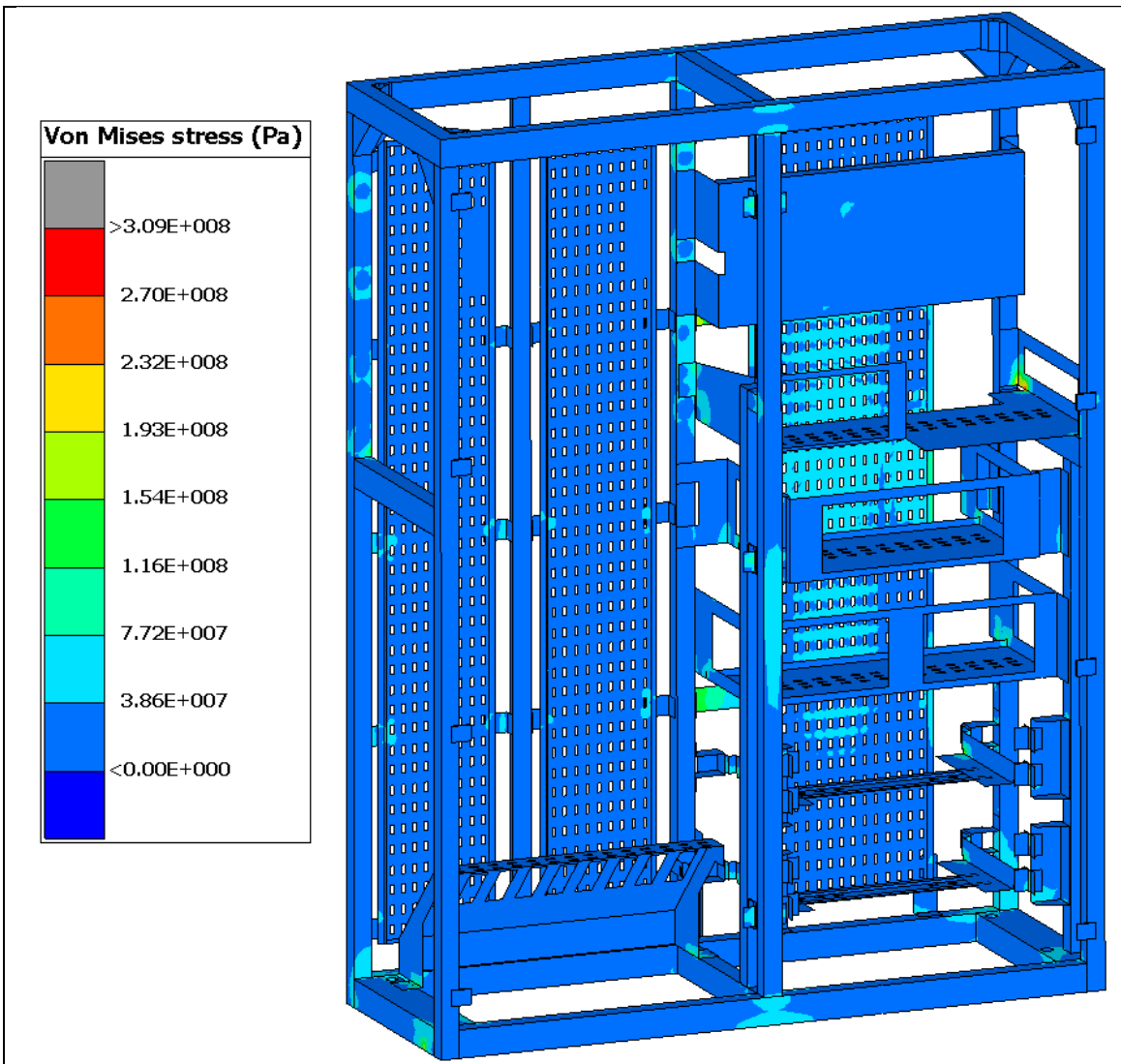


Figura 27 – Caso di carico SHOCK\_X\_POS, Tensione di Von Mises. Inviluppo di tutti gli istanti di tempo della risposta. Vista generale.

## 8.3.2 SHOCK\_X\_NEG (Rif. N Tabella 10)

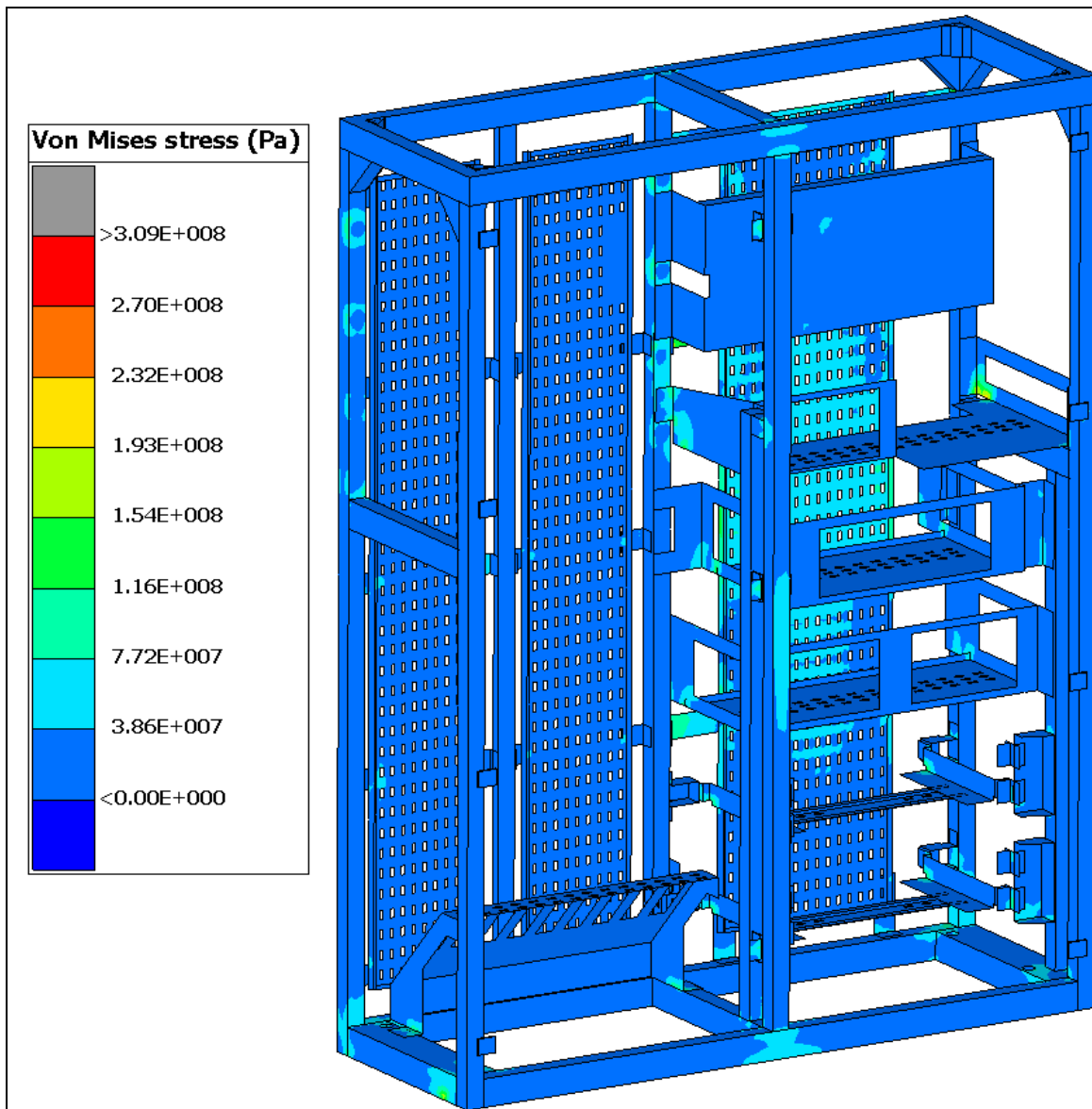
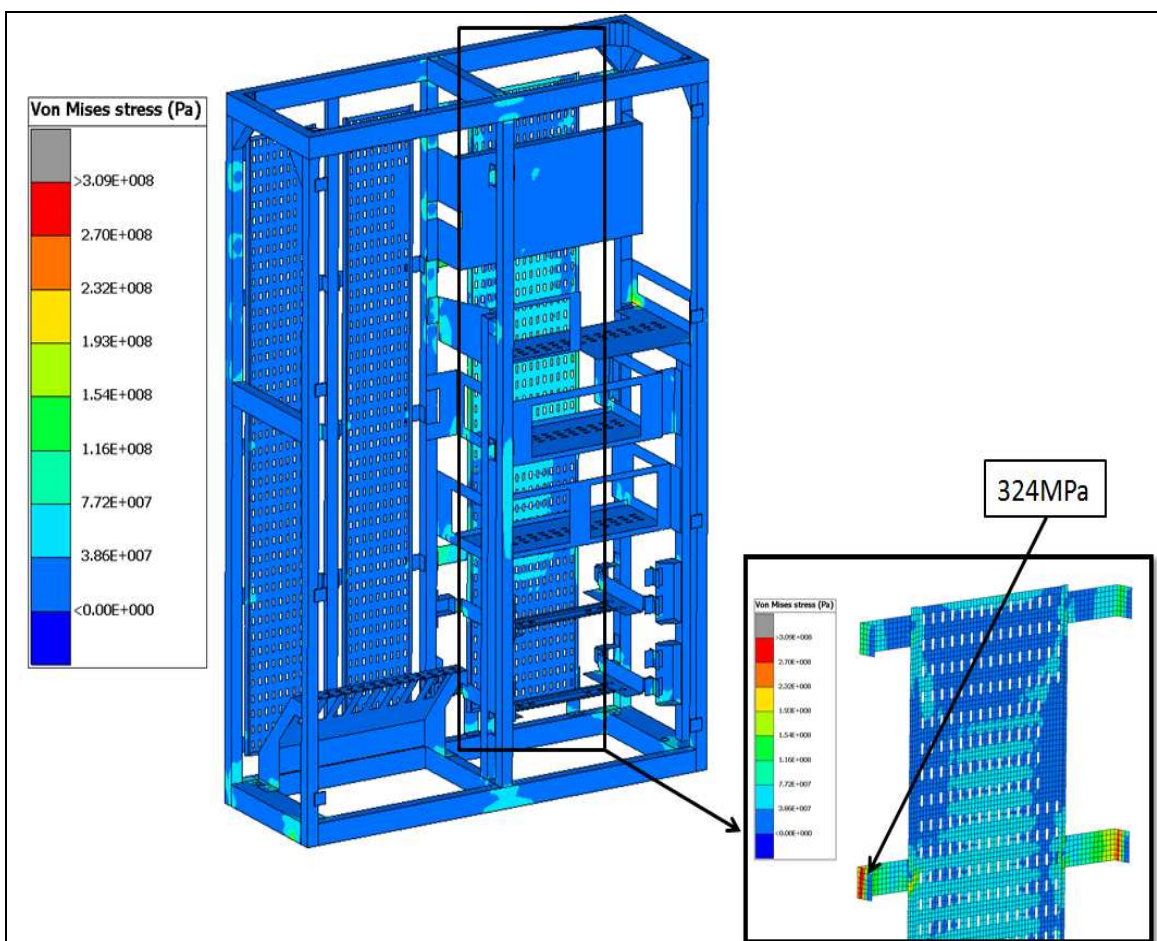


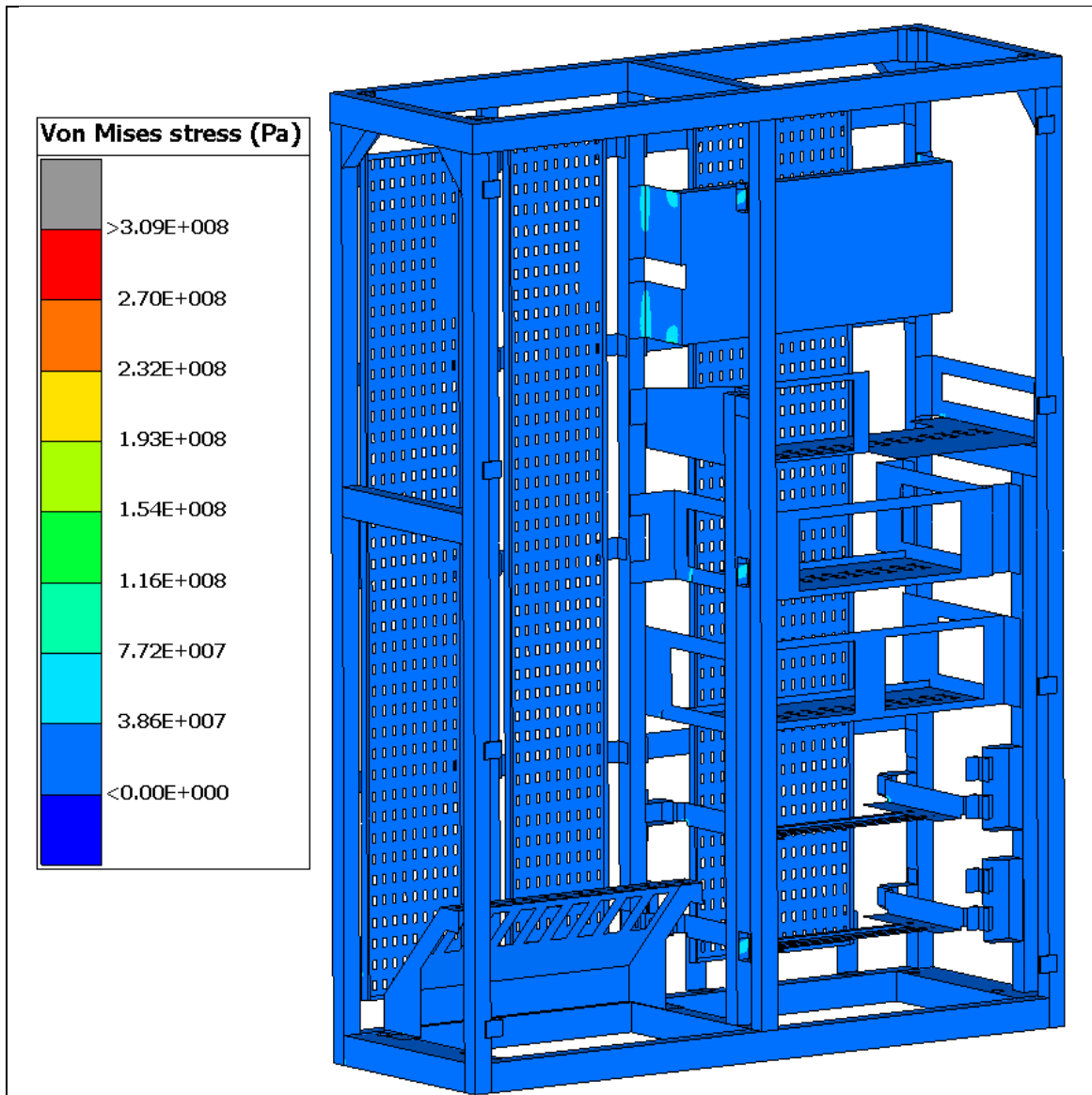
Figura 28 – Caso di carico SHOCK\_X\_NEG, Tensione di Von Mises. Involucro di tutti gli istanti di tempo della risposta. Vista generale.



**Figura 29 – Caso di carico SHOCK\_X\_NEG, Tensione di Von Mises. Involuppo di tutti gli istanti di tempo della risposta. Dettaglio 1.**

La tensione supera il limite elastico, e per questa ragione si applica il criterio di Neuber e il valore si riduce fino a **297.3 MPa**, inferiore al limite elastico del materiale.

## 8.3.3 SHOCK\_Y\_POS (Rif. O Tabella 10)



**Figura 30 – Caso di carico SHOCK\_Y\_POS, Tensione di Von Mises. Inviluppo di tutti gli istanti di tempo della risposta. Vista generale.**

## 8.3.4 SHOCK\_Y\_NEG (Rif. P Tabella 10)

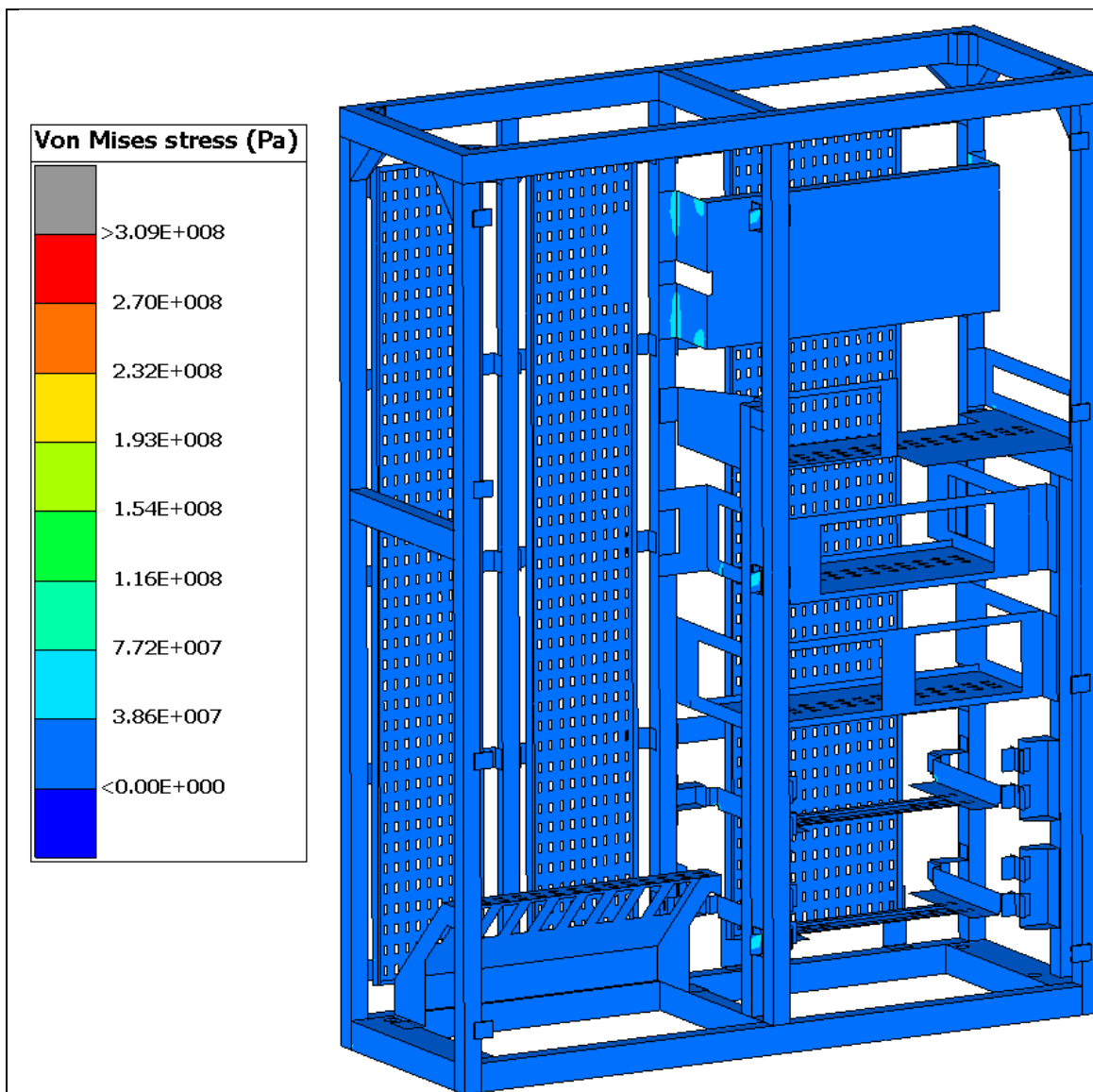
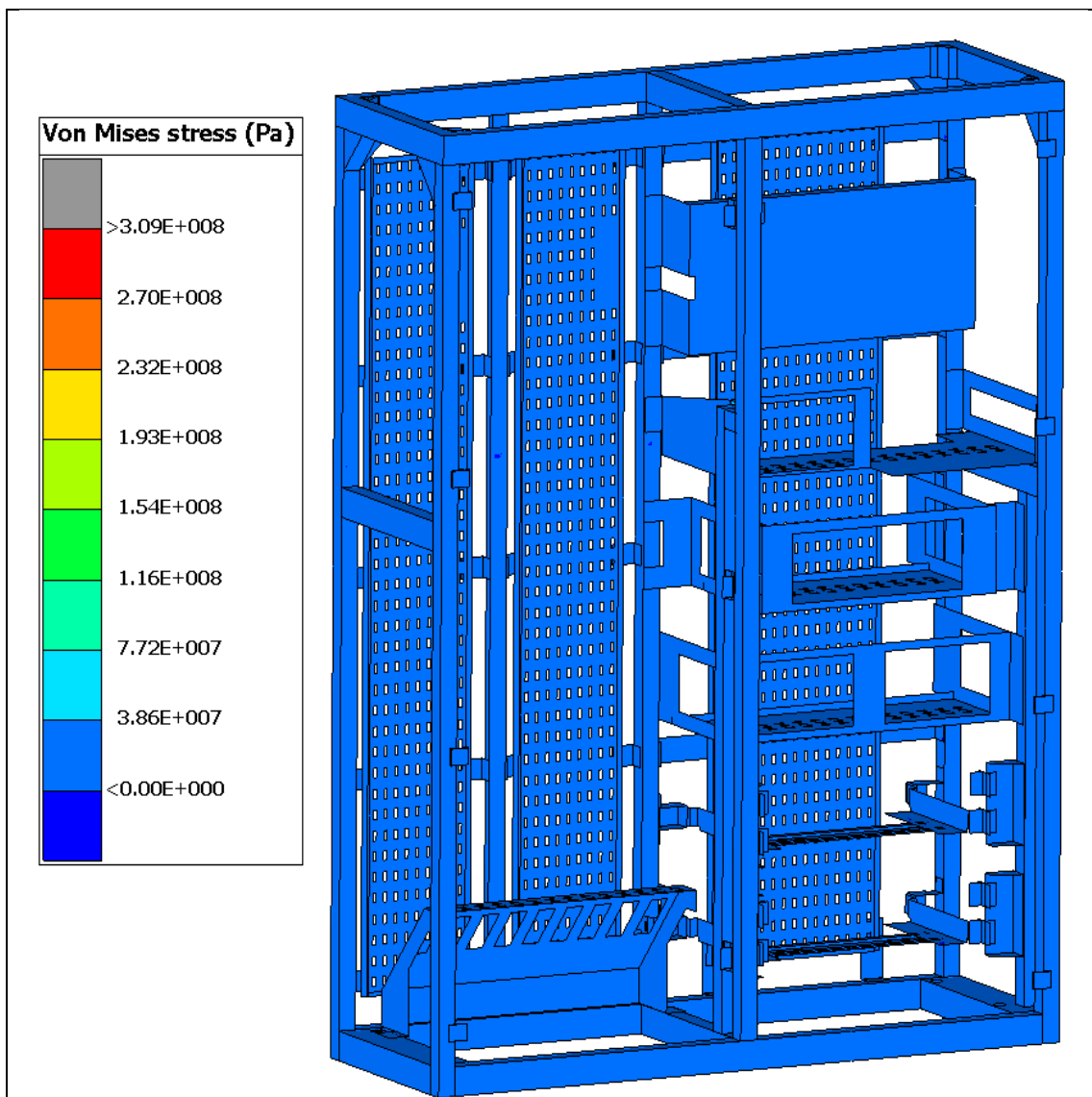


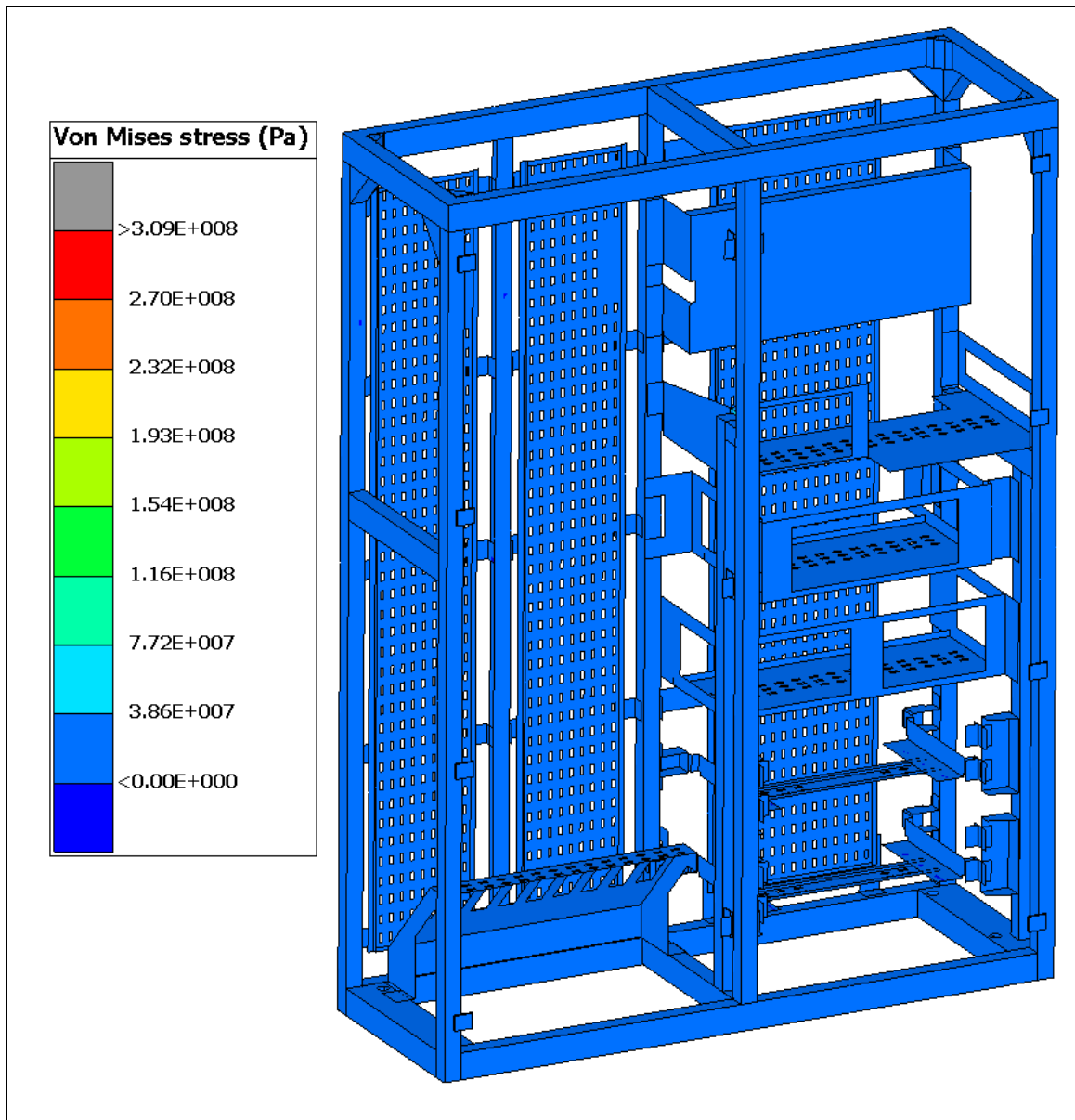
Figura 31 – Caso di carico SHOCK\_Y\_NEG, Tensione di Von Mises. Inviluppo di tutti gli istanti di tempo della risposta. Vista generale.

## 8.3.5 SHOCK\_Z\_POS (Rif. Q. Tabella 10)



**Figura 32 – Caso di carico SHOCK\_Z\_POS, Tensione di Von Mises. Involucro di tutti gli istanti di tempo della risposta. Vista generale.**

## 8.3.6 SHOCK\_Z\_NEG (Rif. R Tabella 10)



**Figura 33 – Caso di carico SHOCK\_Z\_NEG, Tensione di Von Mises. Involuppo di tutti gli istanti di tempo della risposta. Vista generale.**

#### 8.4 Prova d'invecchiamento, PSD (Rif. T Tabella 10)

Si sono effettuate tramite il programma FE-SAFE le analisi a posteriori dell'analisi d'invecchiamento simulato (seguendo la norma EN61373:2010 e la descrizione del paragrafo 5.4) dell'armadio elettrico. Per effettuare la simulazione di questa prova, c'è bisogno delle curve PSD per ognuna delle 3 direzioni, come viene specificato nella **¡Error! No se encuentra el origen de la referencia.** e nella **Figura 17**. I risultati ottenuti dalla prova d'invecchiamento si esprimono sotto forma di danno. A continuazione si mostrano una serie di immagini con l'involucro del LogNf (LogNf=1/D). I danni ottenuti a partire dalla prova si mostrano in una tabella riassuntiva con i valori massimi ottenuti.

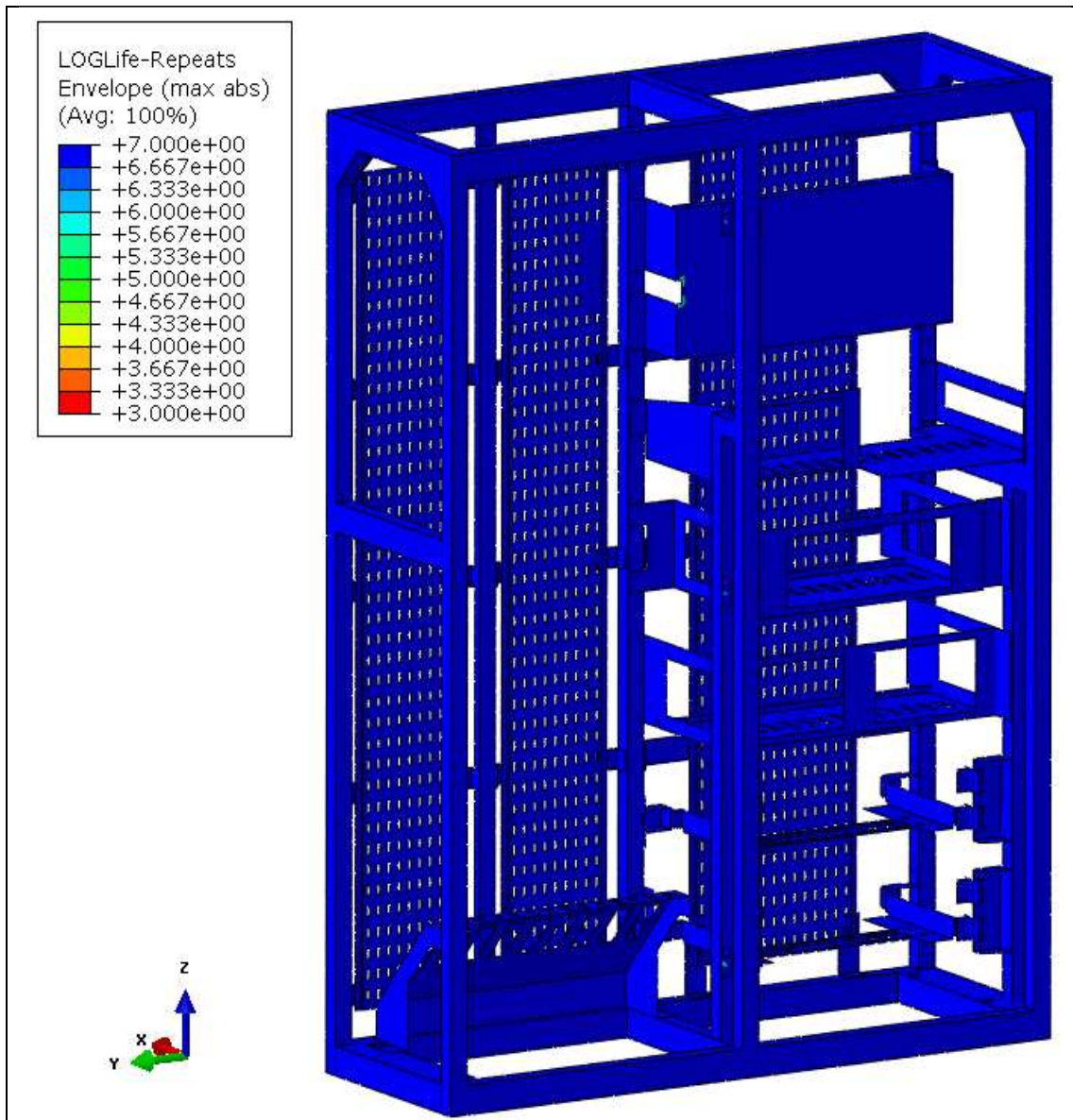


Figura 34 – Prova d'invecchiamento simulato, grafico del LogNf. Vista generale.

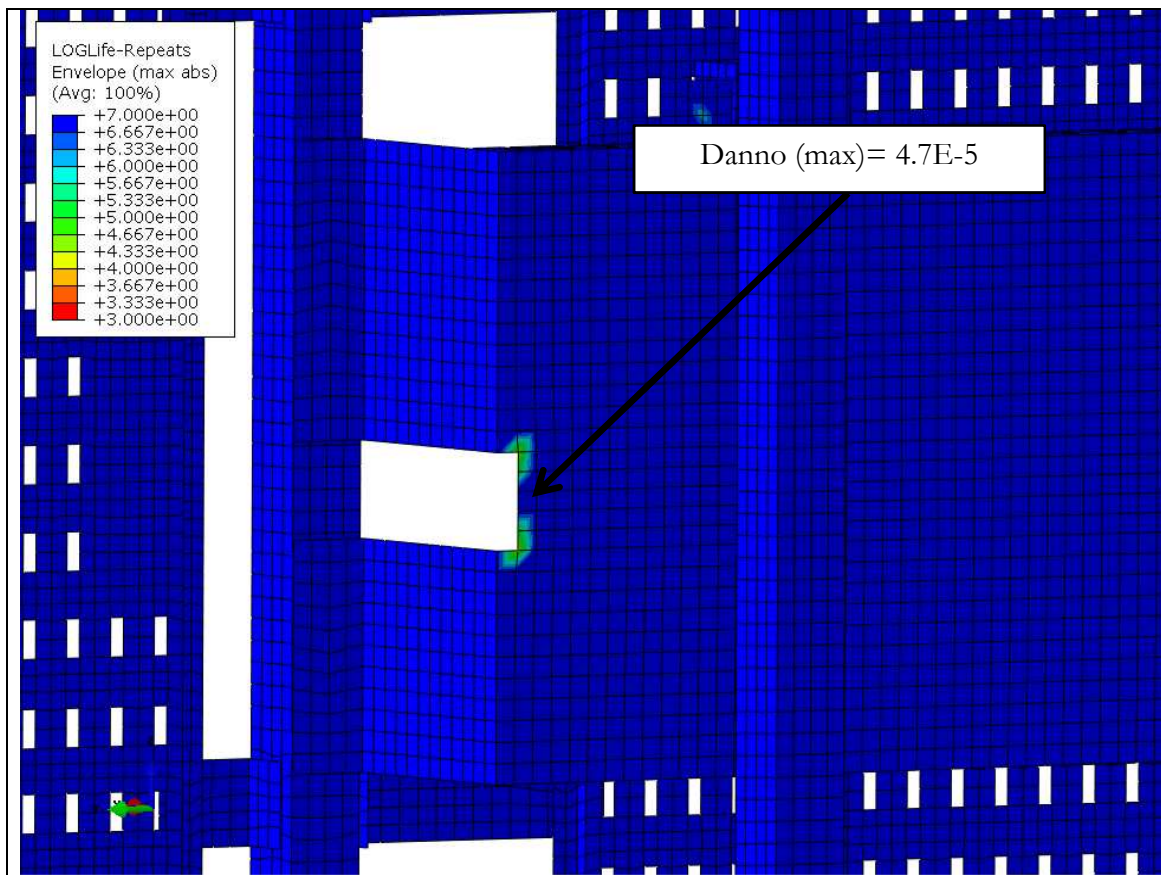


Figura 35 – Prova d'invecchiamento simulato, grafico del LogNf. Vista in dettaglio.

| Ref. | Tipo di carico         | Condizione di carico  | LogNf | Danno         |
|------|------------------------|---|-------|---------------|
|      |                        |   |       | D             |
| S    | Prova d'invecchiamento | PSD. Durata della prova 5h. Tre curve con i livelli di ASD. | 4.3   | <b>4.7E-5</b> |

Tabella 15 – LogNf e danno per la prova d'invecchiamento.

## 8.5 Calcolo delle Giunzioni saldate, casi di carico statici (Rif. A, B, C, D, E, F Tabella 10)

Come descritto nel paragrafo 5.6.1, si analizzano le dieci saldature più sollecitate, con il criterio della massima tensione di Von Mises ottenuta nel materiale base circostante.

A continuazione si mostra una tabella con i valori minimi del margine di sicurezza per ognuna delle giunzioni saldate. Le localizzazioni delle saldature si dettagliano nell'Annesso B.

| Saldatura   | Caso di carico     | Localizzazione | Risultati del calcolo nella condizione estrema |                       |
|-------------|--------------------|----------------|--|-----------------------|
|             |                    |                | MoS <sub>WELD,1</sub>                          | MoS <sub>WELD,2</sub> |
| W1_1-2-3-4  | Extrema_LCE-5X_POS | D/C            | 78   | >100                  |
| W2_1-2-3-4  | Extrema_LCE-5X_POS | C/A            | 28.8   | 50                    |
| W3_1-2-3-4  | Extrema_LCE-5X_POS | A/C            | 29.8   | 47.6                  |
| W4_1-2-3-4  | Extrema_LCE-5X_POS | A/C            | 63.7   | >100                  |
| W5_1-2-3-4  | Extrema_LCE-5X_NEG | D              | 10   | 16.2                  |
| W6_1-2-3-4  | Extrema_LCE-5X_NEG | D              | 4  | 8.2                   |
| W7_1-2-3-4  | Extrema_LCE-5X_POS | D              | 9.9  | 29.4                  |
| W8_1-2-3-4  | Extrema_LCE-5X_POS | D              | 30   | 43                    |
| W9_1-2-3-4  | Extrema_LCE-5X_POS | D/A            | 7.2  | 14.7                  |
| W10_1-2-3-4 | Extrema_LCE-5X_NEG | D              | 35.5   | 89.8                  |
| W11_1-2-3-4 | Extrema_LCE-5X_POS | D              | 12.1   | 22.4                  |

Tabella 16 – Margine di sicurezza per i casi di carico statici delle unioni saldate analizzate.

## 8.6 Calcolo delle Giunzioni saldate, casi di carico a fatica (Rif. G, H, I, J, K, L Tabella 10)

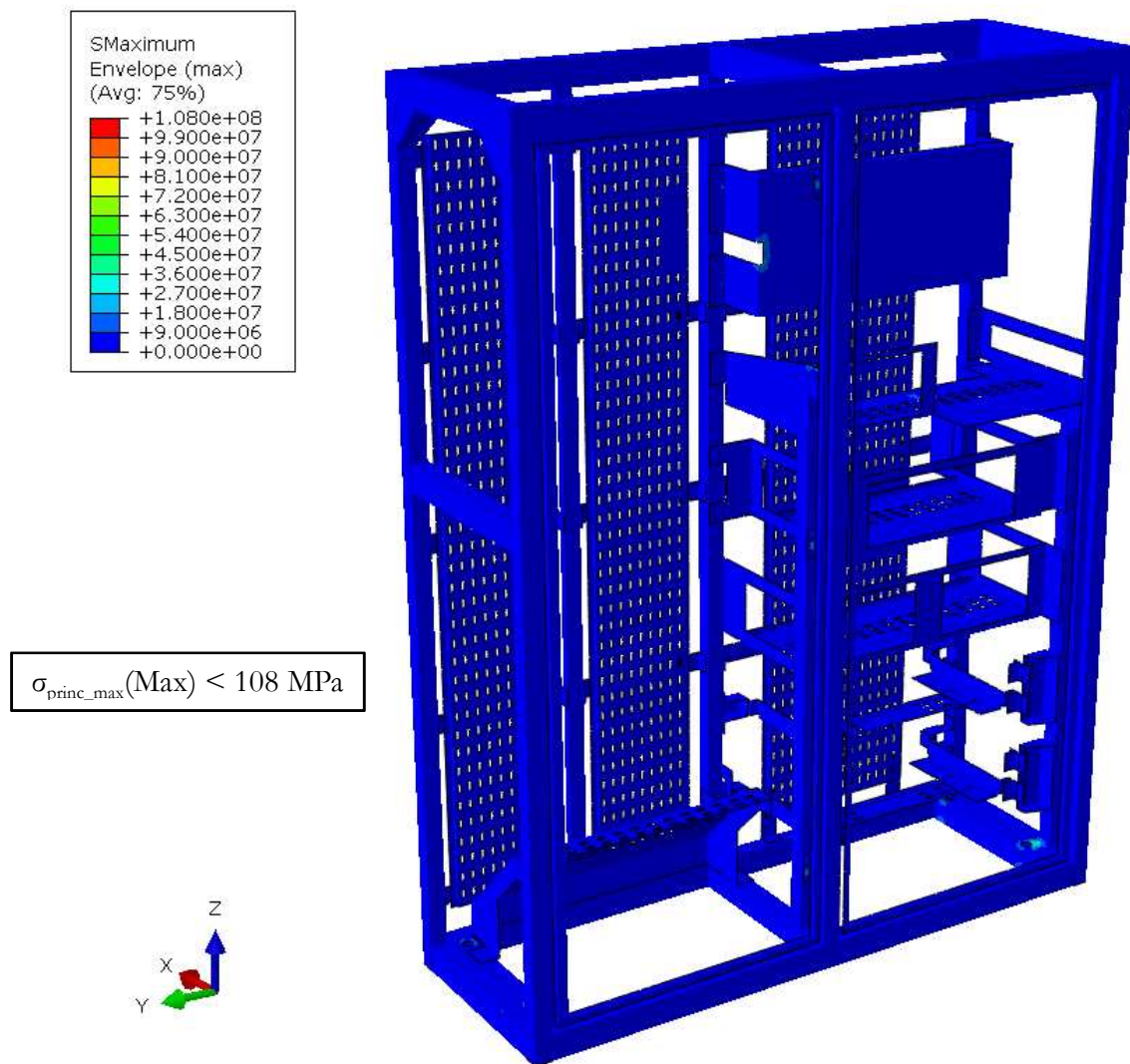
Seguendo le indicazioni del paragrafo 5.2, le due condizioni di verifica per le membrature (materiale base) a fatica sono le seguenti:

$$\Delta\sigma_{\text{princ}} \leq \Delta\sigma_N;$$
$$\sigma_{\text{princ\_max}} \leq \sigma_{N\text{max}};$$

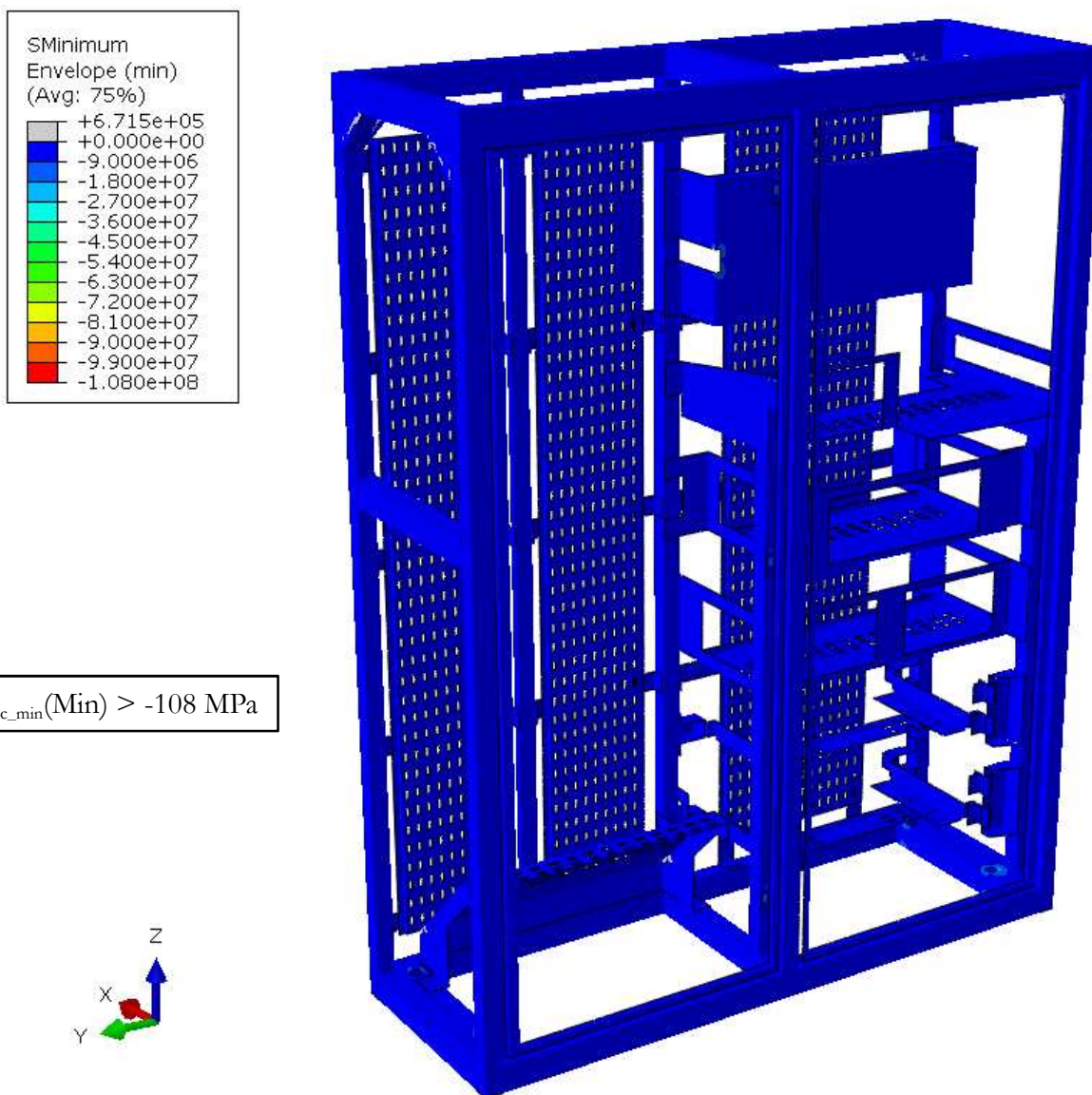
In questo caso, per la verifica delle saldature, la categoria del dettaglio secondo l'Eurocodice è la DC36. Le figure di seguito mostrano le immagini delle tensioni principali massime ed il loro rango corrispondente, visualizzando sempre in ogni nodo l'inviluppo dei 6 casi di carico a fatica. Infine, si mostrano in una tabella riassuntiva i coefficienti di sicurezza più critici calcolati come segue:

$$\eta_{2sold} = \frac{\Delta\sigma_N}{\Delta\sigma_{\text{princ}}} \quad \text{e} \quad \eta_{3sold} = \frac{\sigma_{N\text{max}}}{\sigma_{\text{princ\_max}}}$$

Le tensioni vengono espresse in **Pa**.



**Figura 36 – Inviluppo dei casi di carico a fatica,  $\sigma_{\text{princ\_max}}$  nelle unioni saldate. Vista generale.**



**Figura 37 – Inviluppo dei casi di carico a fatica,  $\sigma_{\text{princ\_min}}$  nelle unioni saldate. Vista generale.**

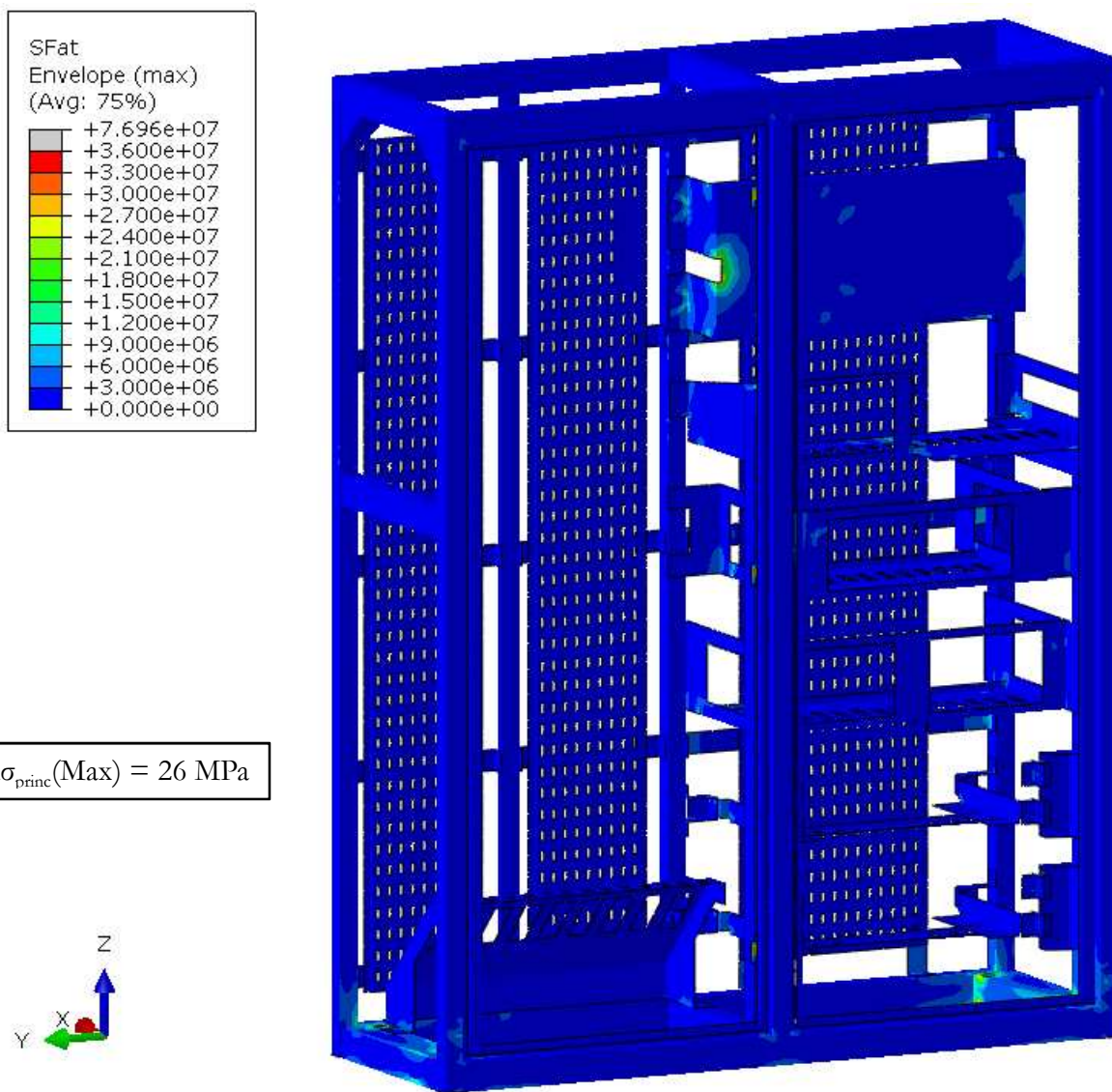


Figura 38 – Involuppo dei casi di carico a fatica,  $\Delta\sigma$  nelle unioni saldate. Dettaglio

| Tipo di carico | Rif.             | Coeffienti di sicurezza |                       |
|----------------|------------------|-------------------------|-----------------------|
|                |                  | $\eta_{2\text{sold}}$   | $\eta_{3\text{sold}}$ |
| Fatica         | G, H, I, J, K, L | 1.38                    | >2                    |

Tabella 17 – Coefficienti di sicurezza per i casi di carico a fatica.

## 8.7 Calcolo delle giunzioni bullonate, casi di carico statici (Rif. A, B, C, D, E, F Tabella 10)

A continuazione si presentano le tabelle con i valori dei fattori di riserva inversi (IRF inverse reserve factor) per i diversi gruppi di bulloni (vedi annesso C) e per i 6 casi di carico statici presenti nella tabella 6.. Come precedentemente descritto nel paragrafo 5.5, quattro sono i fattori inversi calcolati che inglobano le verifiche a schiacciamento, trazione, scorrimento, “punching” e per l’azione combinata di taglio e trazione. Le localizzazioni delle unioni bullonate si dettagliano nell’Annesso C.

| Unione bullonata | Caso di carico | IRF <sub>slip</sub> | IRF <sub>axial</sub> | IRF <sub>shear</sub> | IRF <sub>axial + shear</sub> |
|------------------|----------------|---------------------|----------------------|----------------------|------------------------------|
| 1A               | E_X5_POS       | 0.13                | 0.64                 | 0.06                 | 0.51                         |
|                  | E_X5_NEG       | 0.12                | 0.64                 | 0.06                 | 0.50                         |
|                  | E_Y1_POS       | 0.03                | 0.63                 | 0.01                 | 0.46                         |
|                  | E_Y1_NEG       | 0.04                | 0.63                 | 0.02                 | 0.46                         |
|                  | E_Z1_POS       | 0.06                | 0.63                 | 0.03                 | 0.47                         |
|                  | E_Z1_NEG       | 0.01                | 0.63                 | 0.00                 | 0.45                         |
|                  | <b>MAX</b>     | <b>0.13</b>         | <b>0.64</b>          | <b>0.06</b>          | <b>0.51</b>                  |
| 1B               | E_X5_POS       | 0.07                | 0.63                 | 0.03                 | 0.48                         |
|                  | E_X5_NEG       | 0.07                | 0.63                 | 0.03                 | 0.48                         |
|                  | E_Y1_POS       | 0.02                | 0.63                 | 0.01                 | 0.46                         |
|                  | E_Y1_NEG       | 0.02                | 0.63                 | 0.01                 | 0.45                         |
|                  | E_Z1_POS       | 0.01                | 0.63                 | 0.01                 | 0.45                         |
|                  | E_Z1_NEG       | 0.00                | 0.63                 | 0.00                 | 0.45                         |
|                  | <b>MAX</b>     | <b>0.07</b>         | <b>0.63</b>          | <b>0.03</b>          | <b>0.48</b>                  |
| 1C               | E_X5_POS       | 0.36                | 0.65                 | 0.14                 | 0.60                         |
|                  | E_X5_NEG       | 0.32                | 0.64                 | 0.13                 | 0.59                         |
|                  | E_Y1_POS       | 0.07                | 0.63                 | 0.03                 | 0.48                         |
|                  | E_Y1_NEG       | 0.04                | 0.63                 | 0.02                 | 0.47                         |
|                  | E_Z1_POS       | 0.03                | 0.63                 | 0.02                 | 0.46                         |
|                  | E_Z1_NEG       | 0.00                | 0.63                 | 0.00                 | 0.45                         |
|                  | <b>MAX</b>     | <b>0.36</b>         | <b>0.65</b>          | <b>0.14</b>          | <b>0.60</b>                  |
| 2                | E_X5_POS       | 0.05                | 0.63                 | 0.02                 | 0.47                         |
|                  | E_X5_NEG       | 0.05                | 0.63                 | 0.02                 | 0.47                         |
|                  | E_Y1_POS       | 0.01                | 0.63                 | 0.01                 | 0.45                         |
|                  | E_Y1_NEG       | 0.01                | 0.63                 | 0.00                 | 0.45                         |
|                  | E_Z1_POS       | 0.00                | 0.63                 | 0.00                 | 0.45                         |

| Unione bullonata | Caso di carico | IRF <sub>slip</sub> | IRF <sub>axial</sub> | IRF <sub>shear</sub> | IRF <sub>axial + shear</sub> |
|------------------|----------------|---------------------|----------------------|----------------------|------------------------------|
|                  | E_Z1_NEG       | 0.00                | 0.63                 | 0.00                 | 0.45                         |
|                  | <b>MAX</b>     | <b>0.05</b>         | <b>0.63</b>          | <b>0.02</b>          | <b>0.47</b>                  |
| 3                | E_X5_POS       | 0.08                | 0.63                 | 0.04                 | 0.48                         |
|                  | E_X5_NEG       | 0.08                | 0.63                 | 0.03                 | 0.48                         |
|                  | E_Y1_POS       | 0.02                | 0.63                 | 0.01                 | 0.46                         |
|                  | E_Y1_NEG       | 0.02                | 0.63                 | 0.01                 | 0.46                         |
|                  | E_Z1_POS       | 0.02                | 0.63                 | 0.01                 | 0.46                         |
|                  | E_Z1_NEG       | 0.00                | 0.63                 | 0.00                 | 0.45                         |
|                  | <b>MAX</b>     | <b>0.08</b>         | <b>0.63</b>          | <b>0.04</b>          | <b>0.48</b>                  |
| 4                | E_X5_POS       | 0.08                | 0.63                 | 0.04                 | 0.48                         |
|                  | E_X5_NEG       | 0.09                | 0.63                 | 0.04                 | 0.49                         |
|                  | E_Y1_POS       | 0.02                | 0.63                 | 0.01                 | 0.45                         |
|                  | E_Y1_NEG       | 0.02                | 0.63                 | 0.01                 | 0.46                         |
|                  | E_Z1_POS       | 0.01                | 0.63                 | 0.01                 | 0.45                         |
|                  | E_Z1_NEG       | 0.00                | 0.63                 | 0.00                 | 0.45                         |
|                  | <b>MAX</b>     | <b>0.09</b>         | <b>0.63</b>          | <b>0.04</b>          | <b>0.49</b>                  |
| 5                | E_X5_POS       | 0.28                | 0.63                 | 0.12                 | 0.57                         |
|                  | E_X5_NEG       | 0.28                | 0.63                 | 0.12                 | 0.57                         |
|                  | E_Y1_POS       | 0.02                | 0.63                 | 0.01                 | 0.45                         |
|                  | E_Y1_NEG       | 0.03                | 0.63                 | 0.01                 | 0.46                         |
|                  | E_Z1_POS       | 0.03                | 0.63                 | 0.01                 | 0.46                         |
|                  | E_Z1_NEG       | 0.00                | 0.63                 | 0.00                 | 0.45                         |
|                  | <b>MAX</b>     | <b>0.28</b>         | <b>0.63</b>          | <b>0.12</b>          | <b>0.57</b>                  |
| 6                | E_X5_POS       | 0.24                | 0.64                 | 0.10                 | 0.55                         |
|                  | E_X5_NEG       | 0.24                | 0.64                 | 0.10                 | 0.55                         |
|                  | E_Y1_POS       | 0.02                | 0.63                 | 0.01                 | 0.46                         |
|                  | E_Y1_NEG       | 0.02                | 0.63                 | 0.01                 | 0.46                         |
|                  | E_Z1_POS       | 0.02                | 0.63                 | 0.01                 | 0.46                         |
|                  | E_Z1_NEG       | 0.00                | 0.63                 | 0.00                 | 0.45                         |
|                  | <b>MAX</b>     | <b>0.24</b>         | <b>0.64</b>          | <b>0.10</b>          | <b>0.55</b>                  |

| Unione bullonata | Caso di carico | IRF <sub>slip</sub> | IRF <sub>axial</sub> | IRF <sub>shear</sub> | IRF <sub>axial + shear</sub> |
|------------------|----------------|---------------------|----------------------|----------------------|------------------------------|
| 7                | E_X5_POS       | 0.03                | 0.63                 | 0.01                 | 0.46                         |
|                  | E_X5_NEG       | 0.03                | 0.63                 | 0.01                 | 0.46                         |
|                  | E_Y1_POS       | 0.00                | 0.63                 | 0.00                 | 0.45                         |
|                  | E_Y1_NEG       | 0.00                | 0.63                 | 0.00                 | 0.45                         |
|                  | E_Z1_POS       | 0.00                | 0.63                 | 0.00                 | 0.45                         |
|                  | E_Z1_NEG       | 0.00                | 0.63                 | 0.00                 | 0.45                         |
|                  | <b>MAX</b>     | <b>0.03</b>         | <b>0.63</b>          | <b>0.01</b>          | <b>0.46</b>                  |
| 8                | E_X5_POS       | 0.01                | 0.63                 | 0.00                 | 0.45                         |
|                  | E_X5_NEG       | 0.01                | 0.63                 | 0.00                 | 0.45                         |
|                  | E_Y1_POS       | 0.00                | 0.63                 | 0.00                 | 0.45                         |
|                  | E_Y1_NEG       | 0.00                | 0.63                 | 0.00                 | 0.45                         |
|                  | E_Z1_POS       | 0.01                | 0.63                 | 0.00                 | 0.45                         |
|                  | E_Z1_NEG       | 0.00                | 0.63                 | 0.00                 | 0.45                         |
|                  | <b>MAX</b>     | <b>0.01</b>         | <b>0.63</b>          | <b>0.00</b>          | <b>0.45</b>                  |
| 9                | E_X5_POS       | 0.08                | 0.63                 | 0.04                 | 0.49                         |
|                  | E_X5_NEG       | 0.06                | 0.63                 | 0.03                 | 0.48                         |
|                  | E_Y1_POS       | 0.02                | 0.63                 | 0.01                 | 0.46                         |
|                  | E_Y1_NEG       | 0.03                | 0.63                 | 0.01                 | 0.46                         |
|                  | E_Z1_POS       | 0.04                | 0.63                 | 0.02                 | 0.47                         |
|                  | E_Z1_NEG       | 0.00                | 0.63                 | 0.00                 | 0.45                         |
|                  | <b>MAX</b>     | <b>0.08</b>         | <b>0.63</b>          | <b>0.04</b>          | <b>0.49</b>                  |
| 10               | E_X5_POS       | 0.42                | 0.65                 | 0.16                 | 0.62                         |
|                  | E_X5_NEG       | 0.37                | 0.65                 | 0.14                 | 0.60                         |
|                  | E_Y1_POS       | 0.07                | 0.63                 | 0.03                 | 0.48                         |
|                  | E_Y1_NEG       | 0.02                | 0.63                 | 0.01                 | 0.46                         |
|                  | E_Z1_POS       | 0.06                | 0.63                 | 0.03                 | 0.48                         |
|                  | E_Z1_NEG       | 0.01                | 0.63                 | 0.00                 | 0.45                         |
|                  | <b>MAX</b>     | <b>0.42</b>         | <b>0.65</b>          | <b>0.16</b>          | <b>0.62</b>                  |
| 11               | E_X5_POS       | 0.13                | 0.63                 | 0.06                 | 0.51                         |
|                  | E_X5_NEG       | 0.12                | 0.63                 | 0.05                 | 0.50                         |
|                  | E_Y1_POS       | 0.03                | 0.63                 | 0.01                 | 0.46                         |

| Unione bullonata | Caso di carico | IRF <sub>slip</sub> | IRF <sub>axial</sub> | IRF <sub>shear</sub> | IRF <sub>axial + shear</sub> |
|------------------|----------------|---------------------|----------------------|----------------------|------------------------------|
| 12               | E_Y1_NEG       | 0.02                | 0.63                 | 0.01                 | 0.46                         |
|                  | E_Z1_POS       | 0.05                | 0.63                 | 0.02                 | 0.47                         |
|                  | E_Z1_NEG       | 0.01                | 0.63                 | 0.00                 | 0.45                         |
|                  | <b>MAX</b>     | <b>0.13</b>         | <b>0.63</b>          | <b>0.06</b>          | <b>0.51</b>                  |
|                  | E_X5_POS       | 0.33                | 0.63                 | 0.15                 | 0.59                         |
|                  | E_X5_NEG       | 0.33                | 0.63                 | 0.14                 | 0.59                         |
|                  | E_Y1_POS       | 0.04                | 0.63                 | 0.02                 | 0.46                         |
| 13               | E_Y1_NEG       | 0.04                | 0.63                 | 0.02                 | 0.46                         |
|                  | E_Z1_POS       | 0.04                | 0.63                 | 0.02                 | 0.47                         |
|                  | E_Z1_NEG       | 0.00                | 0.63                 | 0.00                 | 0.45                         |
|                  | <b>MAX</b>     | <b>0.33</b>         | <b>0.63</b>          | <b>0.15</b>          | <b>0.59</b>                  |
|                  | E_X5_POS       | 0.17                | 0.64                 | 0.07                 | 0.52                         |
|                  | E_X5_NEG       | 0.14                | 0.64                 | 0.06                 | 0.51                         |
|                  | E_Y1_POS       | 0.07                | 0.63                 | 0.03                 | 0.48                         |
| 14               | E_Y1_NEG       | 0.07                | 0.63                 | 0.03                 | 0.48                         |
|                  | E_Z1_POS       | 0.03                | 0.63                 | 0.02                 | 0.46                         |
|                  | E_Z1_NEG       | 0.00                | 0.63                 | 0.00                 | 0.45                         |
|                  | <b>MAX</b>     | <b>0.17</b>         | <b>0.64</b>          | <b>0.07</b>          | <b>0.52</b>                  |

**Tabla 18** – Fattori inversi di riserva nelle giunzioni bullonate, per i casi di carico statici.

## 8.8 Calcolo delle giunzioni bullonate, casi di carico a fatica (Rif. G, H, I, J, K, L)

**Tabella 10)**

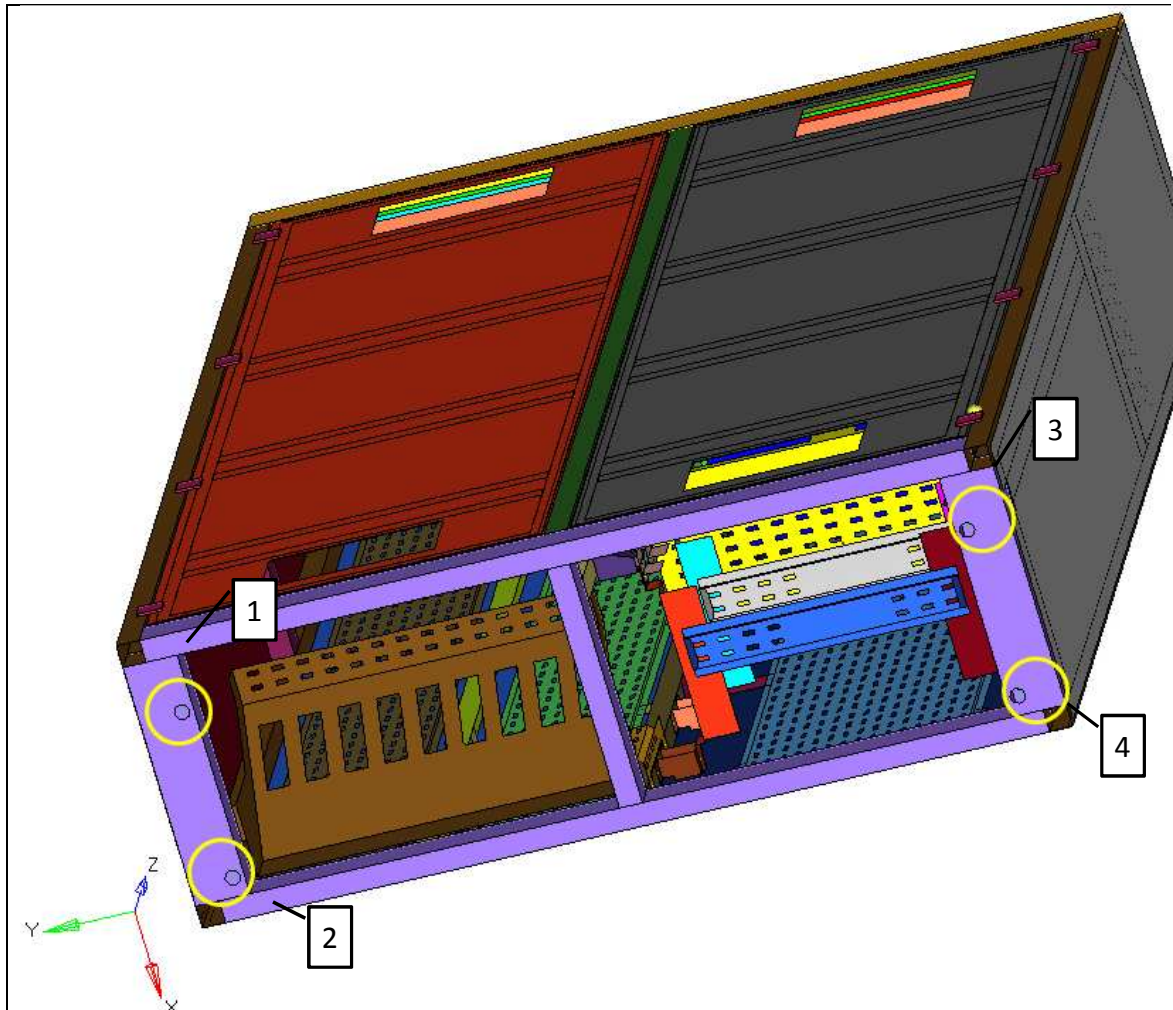
A continuazione si presentano le tabelle con i risultati per i casi di carico a fatica dove si mostreranno l'incremento di tensione massimo, la massima tensione principale (ottenute dall'inviluppo dei 6 casi di carico Rif. G, H, I, J, K, L tabella 6), ed i valori dei fattori di riserva inversi (IRF inverse reserve factor) per i diversi gruppi di bulloni (vedi annesso C). Come precedentemente descritto nel paragrafo 5.5, due sono i fattori inversi calcolati per questo caso, uno per il taglio ed uno per la trazione.

| Unione<br>bullonata | $\Delta_{\text{axial}}$<br>[MPa] | $\Delta\tau$<br>[MPa] | I <sub>BOLT</sub><br>AXIAL | I <sub>BOLT</sub><br>SHEAR |
|---------------------|----------------------------------|-----------------------|----------------------------|----------------------------|
| 1                   | 0.53                             | 4.52                  | 0.01                       | 0.05                       |
| 2                   | 0.28                             | 1.04                  | 0.01                       | 0.01                       |
| 3                   | 0.31                             | 1.42                  | 0.01                       | 0.01                       |
| 4                   | 0.36                             | 0.31                  | 0.01                       | 0.00                       |
| 5                   | 0.29                             | 1.15                  | 0.01                       | 0.01                       |
| 6                   | 0.30                             | 1.15                  | 0.01                       | 0.01                       |
| 7                   | 0.24                             | 1.74                  | 0.00                       | 0.02                       |
| 8                   | 0.21                             | 3.72                  | 0.00                       | 0.04                       |
| 9                   | 0.02                             | 0.11                  | 0.00                       | 0.00                       |
| 10                  | 0.03                             | 0.73                  | 0.00                       | 0.01                       |
| 11                  | 0.79                             | 2.72                  | 0.02                       | 0.03                       |
| 12                  | 1.45                             | 3.31                  | 0.03                       | 0.03                       |
| 13                  | 0.44                             | 4.16                  | 0.01                       | 0.04                       |

**Tabella 19** – Fattori inversi di riserva nelle giunzioni bullonate analizzate per i casi di carichi a fatica.

### 8.9 Reazioni nell'incastro dovute ai carichi statici.

Le reazioni presenti negli incastri si elencano nella seguente tabella, dove le localizzazioni correspondenti vengono indicate nella figura.



**Figura 39** – Dettaglio delle condizioni di contorno applicate nella parte inferiore dei profili verticali.

|   |   | Force (N) |         |           | Moment (Nm) |          |          |
|---|---|-----------|---------|-----------|-------------|----------|----------|
|   |   | Force X   | Force Y | Force Z   | Moment X    | Moment Y | Moment Z |
| A | 1 | 1209      | 98.77   | -2.26E+04 | 257.1       | -411.4   | 95.65    |
|   | 2 | -8713     | 934.6   | 2.42E+04  | -132.7      | -348     | 64.86    |
|   | 3 | -854.3    | -781.1  | -2.56E+04 | -244.3      | -399.6   | -70.03   |
|   | 4 | -8101     | -252.2  | 2.73E+04  | 127.8       | -377.1   | -59.94   |
| B | 1 | -2465     | -170.2  | 2.44E+04  | -274.5      | 433.8    | -101.9   |
|   | 2 | 9988      | -631.4  | -2.28E+04 | 131.1       | 346.8    | -62.17   |
|   | 3 | -471.2    | 765.6   | 2.77E+04  | 261.4       | 419.8    | 76       |
|   | 4 | 9407      | 36.05   | -2.60E+04 | -127.9      | 374.4    | 57.72    |
| C | 1 | -953.7    | -637.4  | 2.02E+02  | 19.15       | -3.781   | 9.169    |
|   | 2 | 795.3     | -912.1  | 3.75E+03  | 10.28       | -31.26   | -5.468   |
|   | 3 | -259.4    | -624.7  | 1.75E+03  | 39.44       | 23.19    | 14.75    |
|   | 4 | 417.9     | -1118   | -2.41E+03 | 12.39       | 29.62    | -7.089   |
| D | 1 | -302.1    | 565.9   | 1.53E+03  | -36.51      | 26.12    | -15.41   |
|   | 2 | 480       | 1215    | -2.41E+03 | -11.88      | 30.08    | 8.151    |
|   | 3 | -1066     | 609.2   | 4.07E+02  | -22.31      | -2.992   | -8.792   |
|   | 4 | 888.2     | 901.4   | 3.76E+03  | -12.45      | -32.31   | 4.864    |
| E | 1 | -1413     | -80.41  | 1.95E+03  | -19.53      | 25.14    | -7.022   |
|   | 2 | 1435      | 341     | 1.51E+03  | -1.799      | -1.329   | 3.018    |
|   | 3 | -1491     | -17.42  | 2.43E+03  | 19.27       | 22.72    | 6.709    |
|   | 4 | 1469      | -243.2  | 1.52E+03  | -0.06638    | -3.026   | -2.503   |
| F | 1 | 157       | 8.935   | -2.17E+02 | 2.17        | -2.793   | 0.7802   |
|   | 2 | -159.4    | -37.89  | -1.67E+02 | 0.1999      | 0.1476   | -0.3353  |
|   | 3 | 165.7     | 1.936   | -2.70E+02 | -2.141      | -2.524   | -0.7454  |
|   | 4 | -163.3    | 27.02   | -1.69E+02 | 0.007376    | 0.3362   | 0.2781   |

Tabella 20 – Reazioni nell'incastro dovute ai carichi statici.

## 9. RIEPILOGO DEI RISULTATI

Nella Tabella 21 e nella [Tabella 24](#) si mostrano per i casi carico statici ed a fatica rispettivamente, i valori dei coefficienti minimi di sicurezza relativi alle tensioni che affettano il materiale base e le giunzioni saldate, così come i fattori di riserva inversa per le giunzioni bullonate. Nella Tabella 22, si mostrano per i casi di carico d'impatto i valori dei coefficienti di sicurezza minimi relativi alle tensioni che influenzano il materiale base. Infine, nella Tabella 23, si mostrano i valori del danno per il caso della prova d'invecchiamento.

I calcoli dei coefficienti di sicurezza  $\eta$ , **danno** ed **IRF** (fattori di riserva inversi) si sono appoggiati alle seguenti relazioni:

–  $\eta_1 = \sigma_{adm} / \sigma_{vm}$  (questa relazione si applica per le condizioni di carico statiche della tabella 6, i quali riferimenti sono **A, B, C, D, E** e **F** e per i casi di carico d'impatto: **M, N, O, P, Q, R**).

–  $\eta_{2mb} = \Delta\sigma_N / \Delta\sigma_{princ}$  e  $\eta_{3mb} = \sigma_{Nmax} / \sigma_{princ\_max}$  (questa relazione si applica tanto al materiale base quanto alle saldature per le condizioni di carico a fatica della tabella 6, i quali riferimenti sono: **G, H, I, J, K, L**).

–  $\eta_{2sold} = \Delta\sigma_N / \Delta\sigma_{princ}$  e  $\eta_{3sold} = \sigma_{Nmax} / \sigma_{princ\_max}$  (queste relazioni si applicano tanto al materiale base quanto alle saldature per le condizioni di carico a fatica della tabella 6, i quali riferimenti sono: **G, H, I, J, K, L**).

– **D** (Per il caso della prova d'invecchiamento accelerato, il risultato si espressa come danno, tabella 7, Rif. T).

–  $IRF_{taglio} = \max \left( \frac{F_{taglio}}{F_{v,Rd}} \mid \frac{F_{taglio}}{F_{b,Rd}} \right)$  (questa relazione si applica nel caso delle giunzioni bullonate per le condizioni di carico statiche della tabella 7, i quali riferimenti sono: **A, B, C, D, E** e **F**).

–  $IRF_{assiale} = \max \left( \frac{F_{assiale}}{F_{t,Rd}} \mid \frac{F_{assiale}}{B_{p,Rd}} \right)$  (questa relazione si applica nel caso delle giunzioni bullonate per le condizioni di carico statiche presenti nella tabella 7, i quali riferimenti sono: **A, B, C, D, E** e **F**).

–  $IRF_{scorrimento} = \frac{F_{scorrimento}}{F_{s,Rd}}$  (questa relazione si applica nel caso delle giunzioni bullonate per le condizioni di carico statiche presenti nella tabella 7, i quali riferimenti sono: **A, B, C, D, E** e **F**).

–  $IRF_{combinato} = \frac{F_{taglio}}{F_{v,Rd}} + \frac{F_{assiale}}{1.4F_{t,Rd}}$  (questa relazione si applica nel caso delle giunzioni bullonate per le condizioni di carico statiche della tabella 7, i quali riferimenti sono: **A, B, C, D, E** e **F**).

– MS<sub>1</sub>: (questa relazione si applica nel caso delle giunzioni saldate per le condizioni di carico statiche della tabella 7, i quali riferimenti sono: **A, B, C, D, E** e **F**).

– MS<sub>2</sub>: ( questa relazione si applica nel caso delle giunzioni saldate per le condizioni di carico statiche della tabella 7, i quali riferimenti sono: **A, B, C, D, E** e **F**).

–  $I_{bullone assiale} = \frac{\Delta\sigma_{assiale}}{f_{50}}$  (questa relazione si applica alle giunzioni bullonate per le condizioni di carico a fatica della tabella 6, i quali riferimenti sono: **G, H, I, J, K, L**).

–  $I_{bullone taglio} = \frac{\Delta\sigma_{taglio}}{f_{100}}$  (questa relazione si applica alle giunzioni bullonate per le condizioni di carico a fatica della tabella 6, i quali riferimenti sono: **G, H, I, J, K, L**).

| Rif. | Tipo di carico | Condizioni di carico  | Coefficiente di sicurezza di riferimento |                      |                        |                     |                         |     |     |
|------|----------------|---|--|----------------------|------------------------|---------------------|-------------------------|-----|-----|
|      |                |   | $\eta_1$                                 | IRF <sub>Shear</sub> | IRF <sub>tension</sub> | IRF <sub>Slip</sub> | IRF <sub>Combined</sub> | MS1 | MS2 |
| A    | Statico        | LC1_E-X5_POS<br>accelerazione applicata in direzione longitudinale di valore 5g + accelerazione della gravità.  | 1.56                                     | 0.42                 | 0.65                   | 0.16                | 0.62                    | 8.9 | >10 |
| B    |                | LC1_E-X5_NEG<br>accelerazione applicata in direzione longitudinale di valore -5g + accelerazione della gravità. | 1.46                                     | 0.37                 | 0.65                   | 0.14                | 0.60                    | 9.9 | 8.2 |
| C    |                | LC2_E-Y1_POS<br>accelerazione applicata in direzione trasversale di valore 1g + accelerazione della gravità.    | >2                                       | 0.07                 | 0.63                   | 0.03                | 0.48                    | >10 | >10 |
| D    |                | LC2_E-Y1_accelerazione applicata in direzione trasversale di valore -1g + accelerazione della gravità.          | >2                                       | 0.02                 | 0.63                   | 0.01                | 0.46                    | >10 | >10 |
| E    |                | LC3_E-Z1_POS<br>accelerazione applicata in direzione verticale di valore -2.25g                                 | >2                                       | 0.06                 | 0.63                   | 0.03                | 0.48                    | >10 | >10 |
| F    |                | LC3_E-Z1_NEG<br>accelerazione applicata in direzione verticale di valore -0.25g                                 | >2                                       | 0.01                 | 0.63                   | 0.00                | 0.45                    | >10 | >10 |

Tabella 21 – Coefficienti di sicurezza per i casi di carico statici.

| Rif.     | Tipo di carico | Condizioni di carico  | Coefficiente di sicurezza |
|----------|----------------|---|---------------------------|
|          |                |   | $\eta_1$                  |
| <b>M</b> | Impatto        | SHOCK_X_POS impulso semisinusoidale di 30 millisecondi di valore 50g  | <b>1.04</b>               |
|          |                | SHOCK_X_NEG impulso semisinusoidale di 30 millisecondi di valore -50g | <b>1.04</b>               |
|          |                | SHOCK_Y_POS impulso semisinusoidale di 30 millisecondi di valore 30g  | <b>&gt;2</b>              |
|          |                | SHOCK_Y_NEG impulso semisinusoidale di 30 millisecondi di valore -30g | <b>&gt;2</b>              |
|          |                | SHOCK_Z_POS impulso semisinusoidale di 30 millisecondi di valore 30g  | <b>&gt;2</b>              |
|          |                | SHOCK_Z_NEG impulso semisinusoidale di 30 millisecondi di valore -30g | <b>&gt;2</b>              |

**Tabella 22** - Coefficienti di sicurezza per i casi di carico d'impatto.

| Rif.     | Tipo di carico         | Condizioni di carico  | LogNf      | Danno         |
|----------|------------------------|---|------------|---------------|
|          |                        |   |            | D             |
| <b>S</b> | Prova d'invecchiamento | PSD. Durata della prova 5h. Tre curve con i livelli di ASD. Vedi tabella e figura | <b>4.3</b> | <b>4.7E-5</b> |

**Tabella 23** – Coefficienti di sicurezza per la prova d'invecchiamento.

| Tipo di carico | Rif.             | Coefficiente di sicurezza |                |              |                |                      |                        |
|----------------|------------------|---------------------------|----------------|--------------|----------------|----------------------|------------------------|
|                |                  | $\eta_{2mb}$              | $\eta_{2sold}$ | $\eta_{3mb}$ | $\eta_{3sold}$ | IRF <sub>Shear</sub> | IRF <sub>tension</sub> |
| Fatica         | G, H, I, J, K, L | <b>&gt;2</b>              | <b>1.38</b>    | <b>&gt;2</b> | <b>&gt;2</b>   | <b>0.05</b>          | <b>0.03</b>            |

**Tabella 24** - Coefficienti di sicurezza per i casi di carico a fatica.

## 10. CONCLUSIONI

Alla luce dei risultati espressi, la progettazione della struttura dell'armadio **B.20.83.006** si adegua ai requisiti delle norme raccolte nel paragrafo 2.1, che vengono impiegate in questa analisi.

## ANNESSO A. Verifiche qualitative.

### A.1 Verifica delle reazioni.

Si vuole verificare che introducendo un carico esterno (1g) in ognuno dei tre assi, le forze di reazione che si ottengono nel modello siano le stesse.

| Direzione del carico | Massa totale [Kg] | Reazione teorica [N] | Somma delle reazioni in X [N] | Somma delle reazioni in Y [N] | Somma delle reazioni in Z[N] |    |
|----------------------|-------------------|----------------------|-------------------------------|-------------------------------|------------------------------|----|
| Asse X               | 337.3918          | -3306.43964          | -3310                         | 6.1213E-09                    | -1.5673E-10                  | OK |
| Asse Y               |                   |                      | -2.3887E-09                   | -3310                         | 3.1057E-09                   | OK |
| Asse Z               |                   |                      | 1.3992E-09                    | -4.5961E-10                   | -3310                        | OK |

Tabella 25 – Verifica delle reazioni.

### A.2 Equilibrio d'energia.

Nella tabella successiva si mostra la verifica dell'equilibrio dell'energia.

| Direzione del carico | Lavoro esterno (EW) [J] | E totale (ET) [J] | Equilibrio energia (EB) [J] | E equilibrio permesso (EBa) (0.01Etotal/100) [J] | $\epsilon$ (EB/EW) (-) | $\epsilon$ permesso (-) |    |
|----------------------|-------------------------|-------------------|-----------------------------|--|------------------------|-------------------------|----|
| X Axis               | 0.346019                | 0.346019          | -1.37E-10                   | 3.46019E-05                                      | -3.96916E-10           | <1E-6                   | OK |
| Y Axis               | 0.104768                | 0.104768          | -3.49E-12                   | 1.04768E-05                                      | -3.33102E-11           | <1E-6                   | OK |
| Z Axis               | 1.96E-02                | 1.96E-02          | -4.47E-13                   | 1.95956E-06                                      | -2.28241E-11           | <1E-6                   | OK |

Tabella 26 – Equilibrio d'energia.

### A.3 Verifica dei modi propri di vibrazione.

Si vuole verificare tramite il calcolo “Free-Free” (senza nessun tipo di vincolo) dei modi propri che i primi 6 modi propri sono quelli di un solido rigido e con una frequenza propria vicina allo zero.

| Nº modo | Autovalore  | Frequenza (RAD/tempo) | Frequenza (Cicli/Tempo) | Massa generalizzata |
|---------|-------------|-----------------------|-------------------------|---------------------|
| 1       | 1.49209E-06 | 0.00122151            | 0.00019441              | 143.47              |
| 2       | 2.60082E-06 | 0.00161271            | 0.00025667              | 76.647              |
| 3       | 3.11342E-06 | 0.00176449            | 0.000280827             | 219.11              |
| 4       | 3.17848E-06 | 0.00178283            | 0.000283746             | 211.48              |
| 5       | 3.84817E-06 | 0.00196168            | 0.00031221              | 188.68              |
| 6       | 3.90378E-06 | 0.0019758             | 0.000314458             | 94.658              |

Tabella 27 – Modi propri e autovalori.

**ANNESSO B. Mappa delle giunzioni saldate analizzate**

A continuazione si mostrano una serie di figure che identificano le giunzioni saldate analizzate nei paragrafi 8.5 e 8.6.

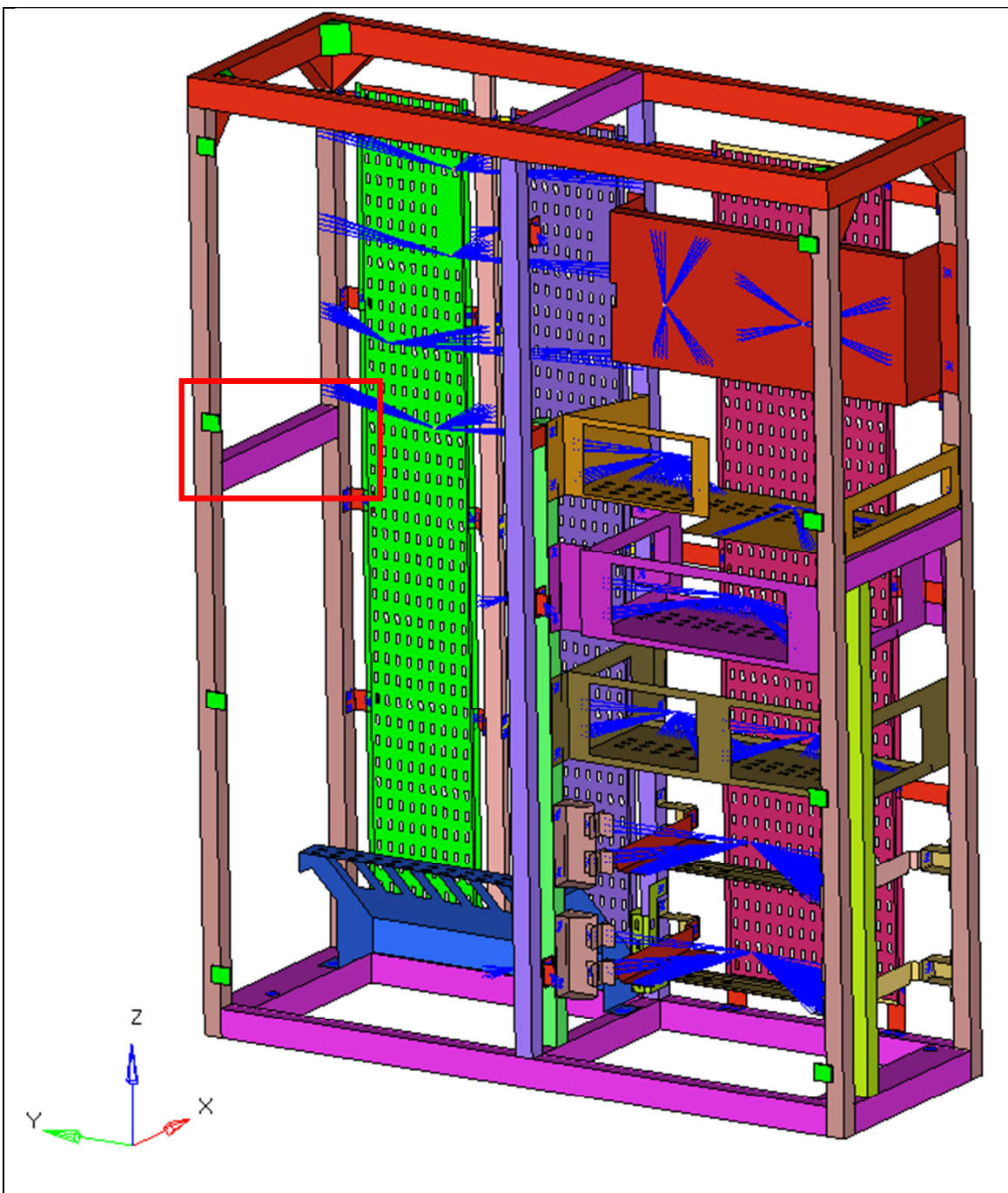


Figura 40 – Saldature W1\_1-2-3-4; W2\_1-2-3-4

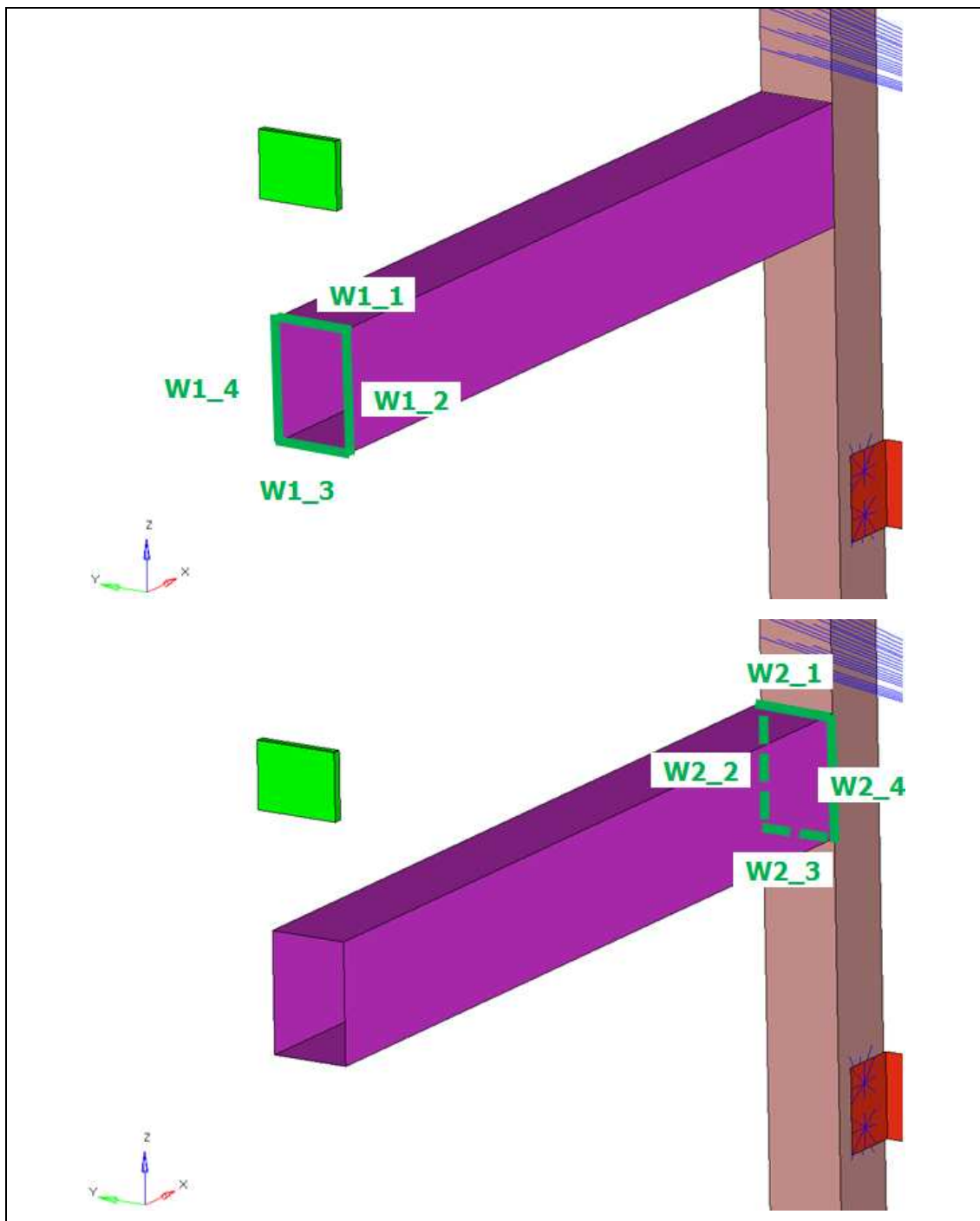


Figura 41 – Saldature W1\_1-2-3-4; W2\_1-2-3-4

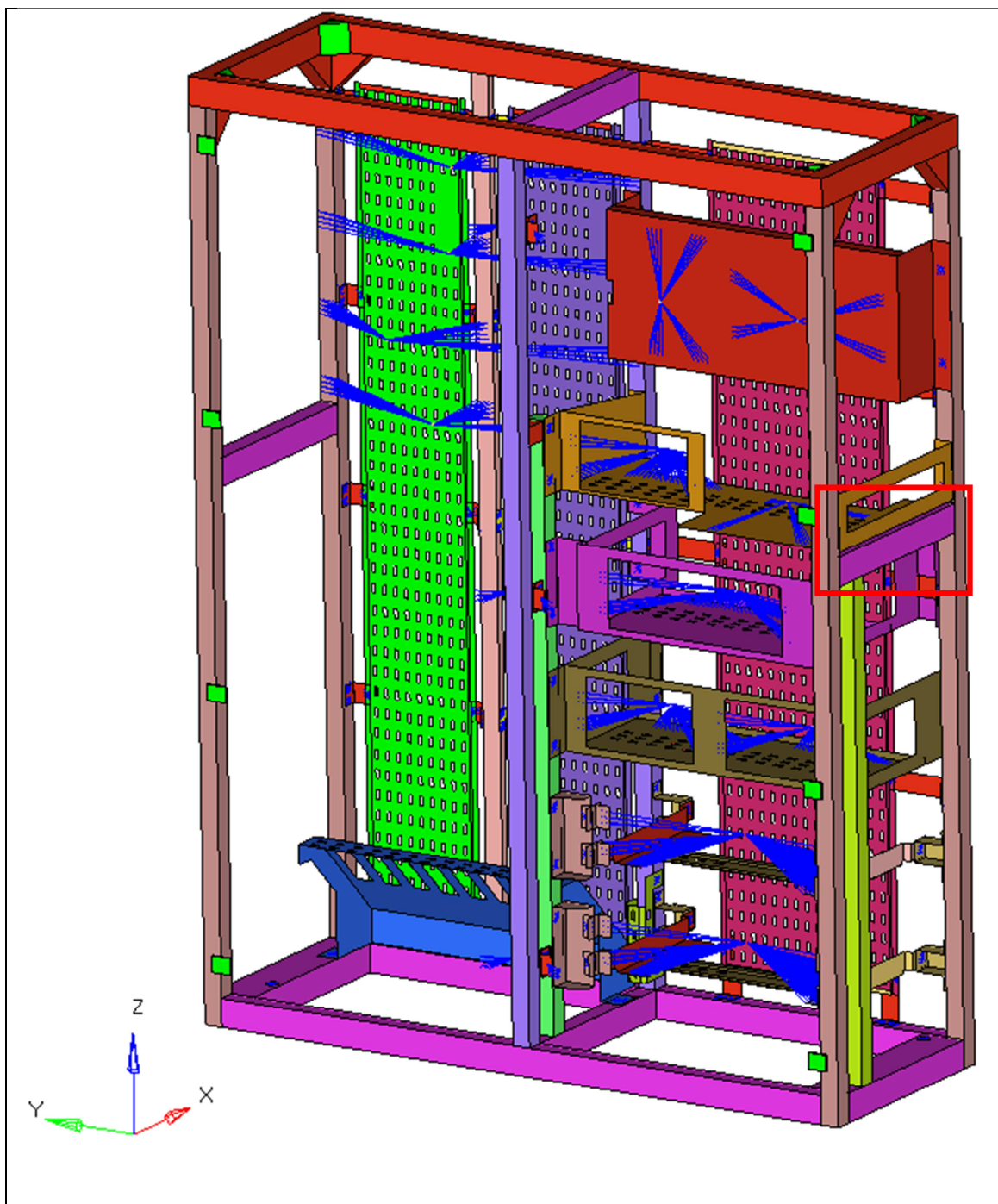


Figura 42 – Saldature W3\_1-2-3-4; W4\_1-2-3-4

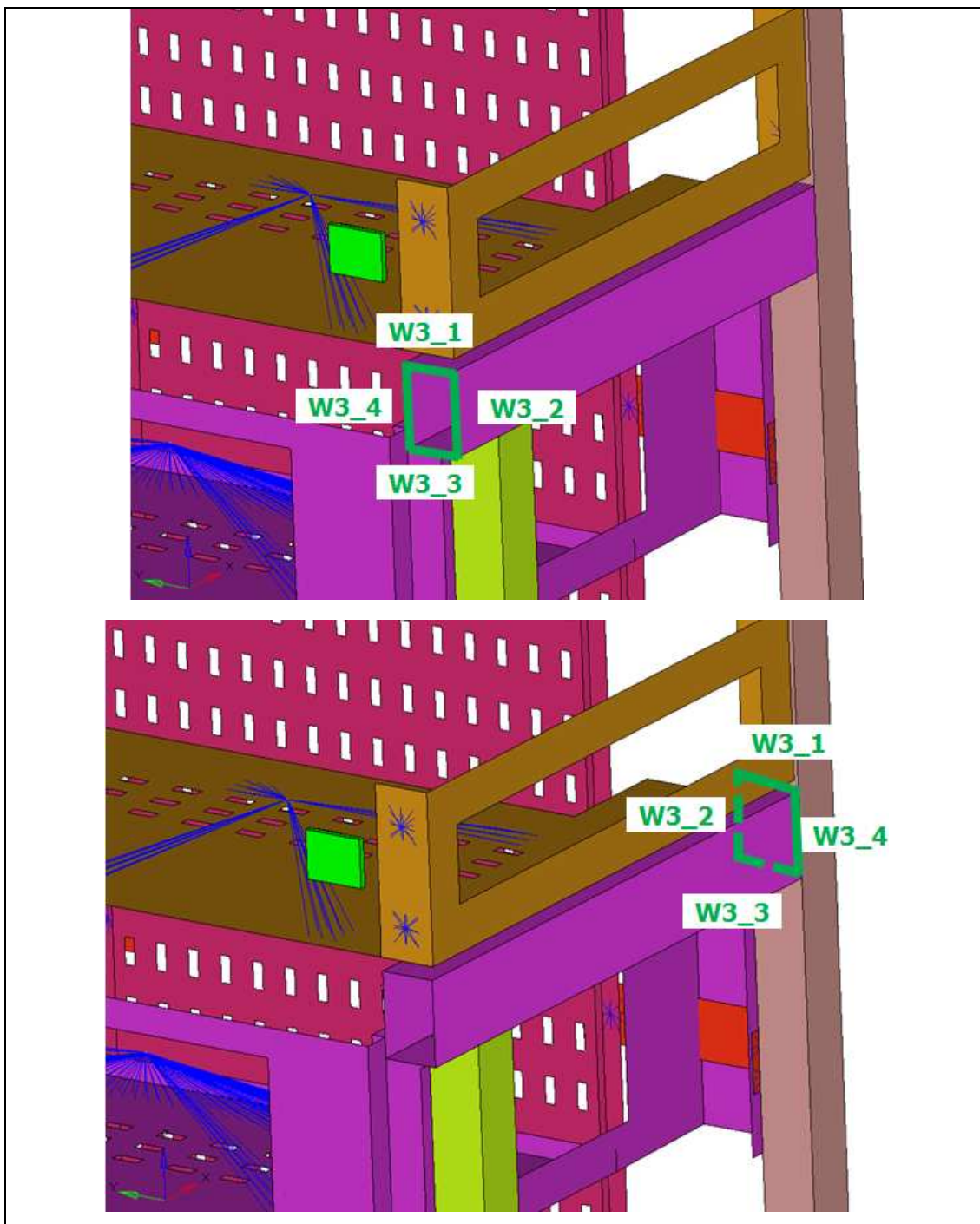


Figura 43 – Saldature W3\_1-2-3-4; W4\_1-2-3-4

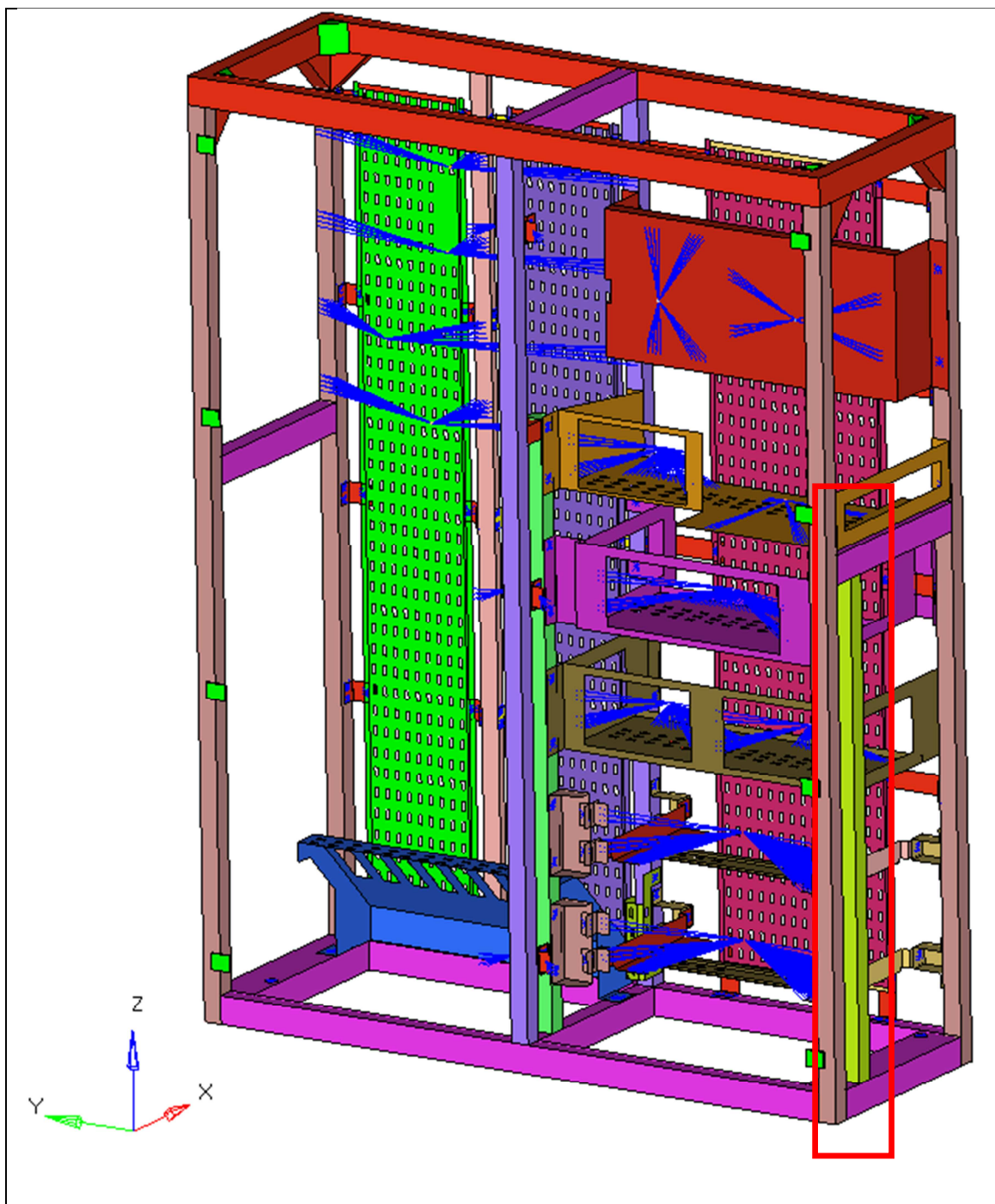


Figura 44 – Saldature W5\_1-2-3-4; W6\_1-2-3-4

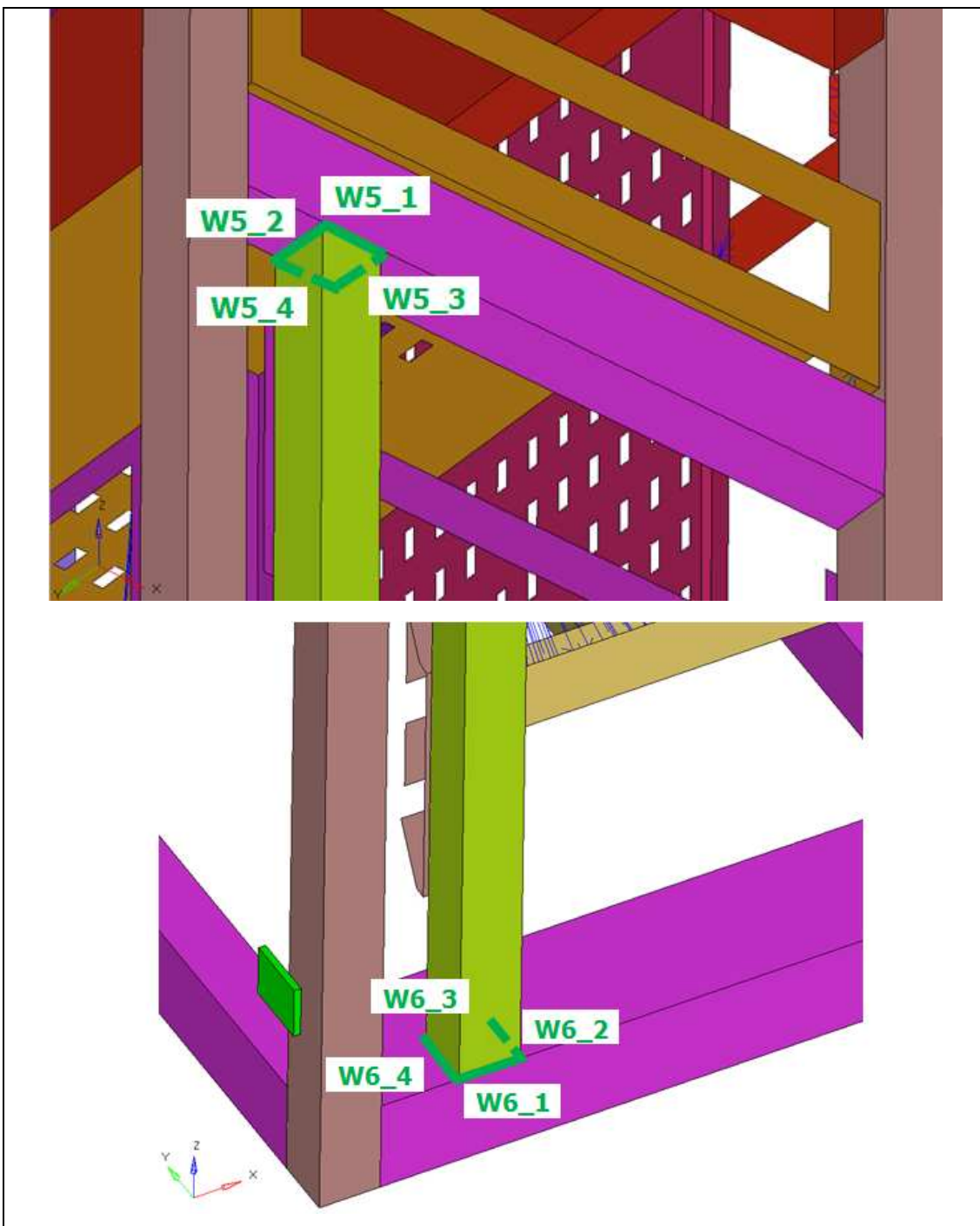


Figura 45 – Saldature W5\_1-2-3-4; W6\_1-2-3-4

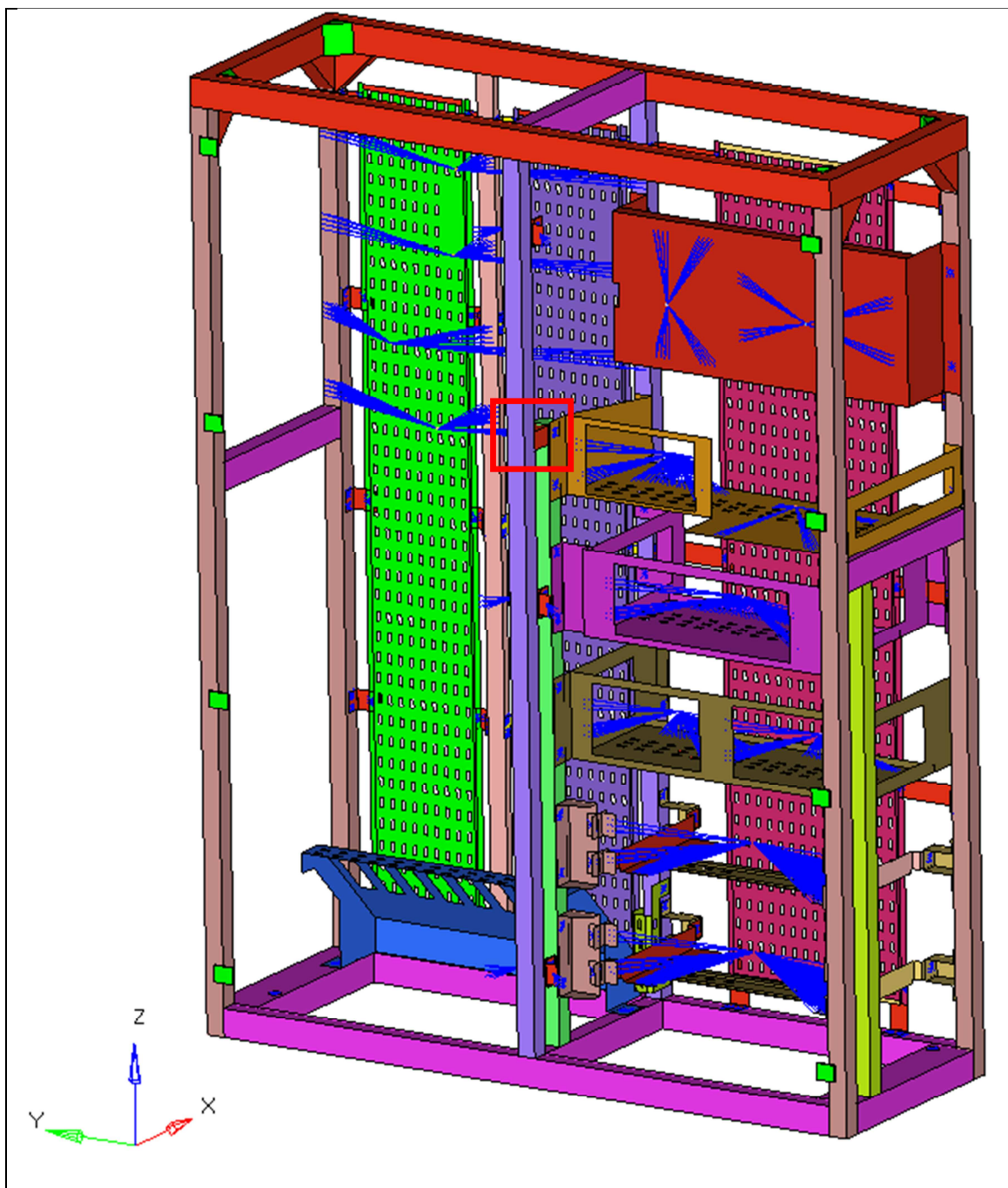


Figura 46 – Saldature W7\_1-2-3-4: W8\_1-2-3-4

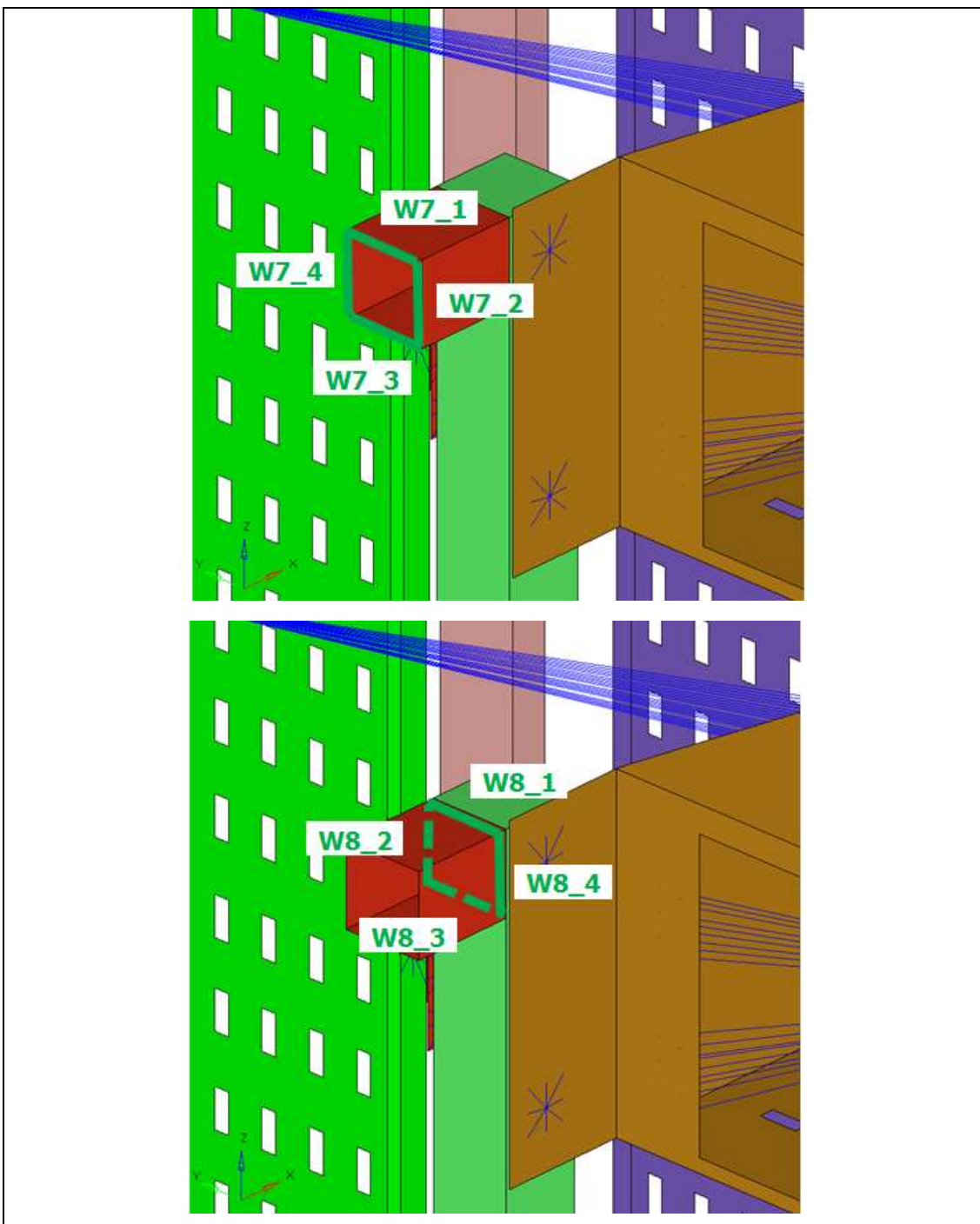


Figura 47 – Saldature W7\_1-2-3-4; W8\_1-2-3-4

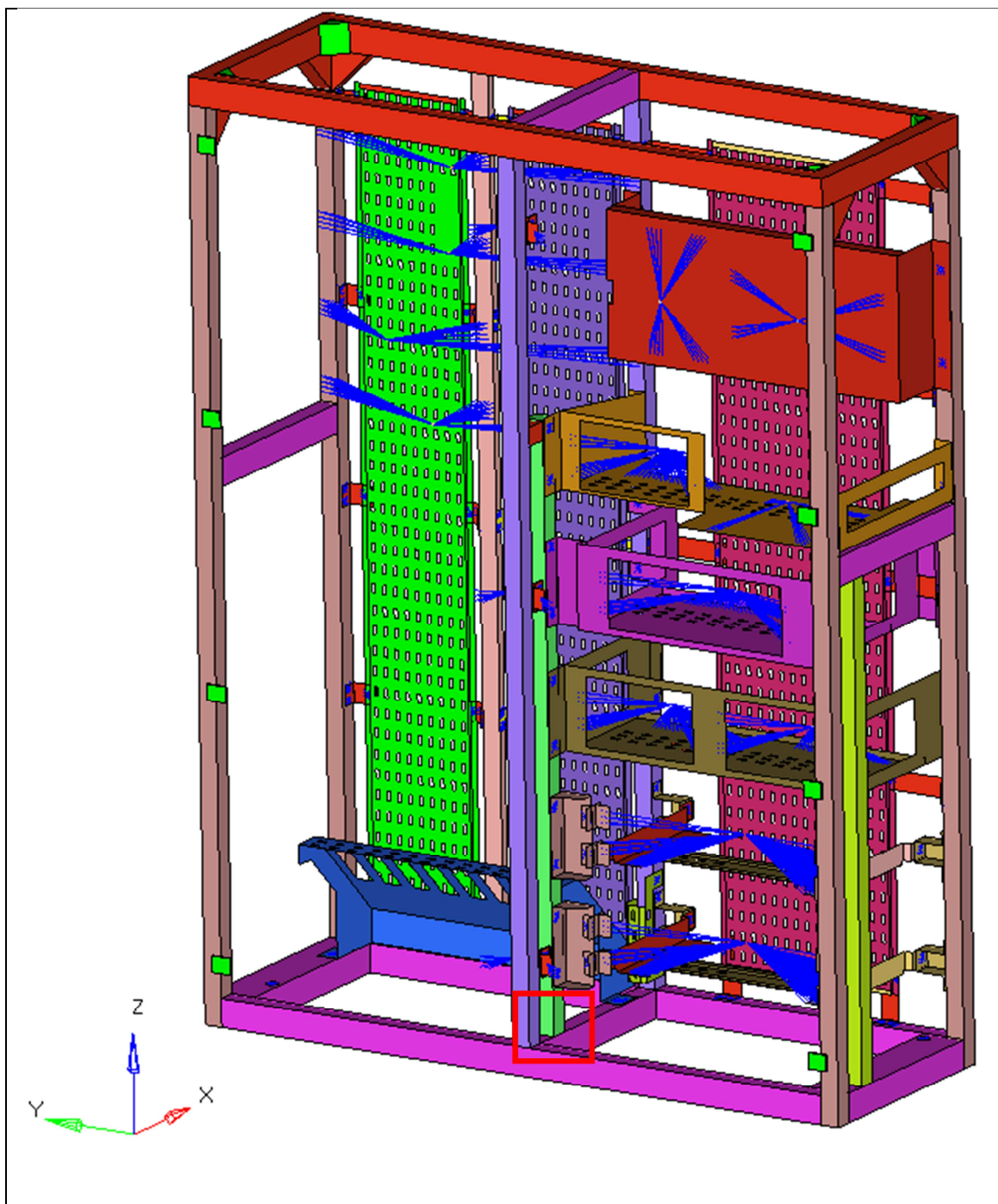


Figura 48 – Saldature W9\_1-2-3-4

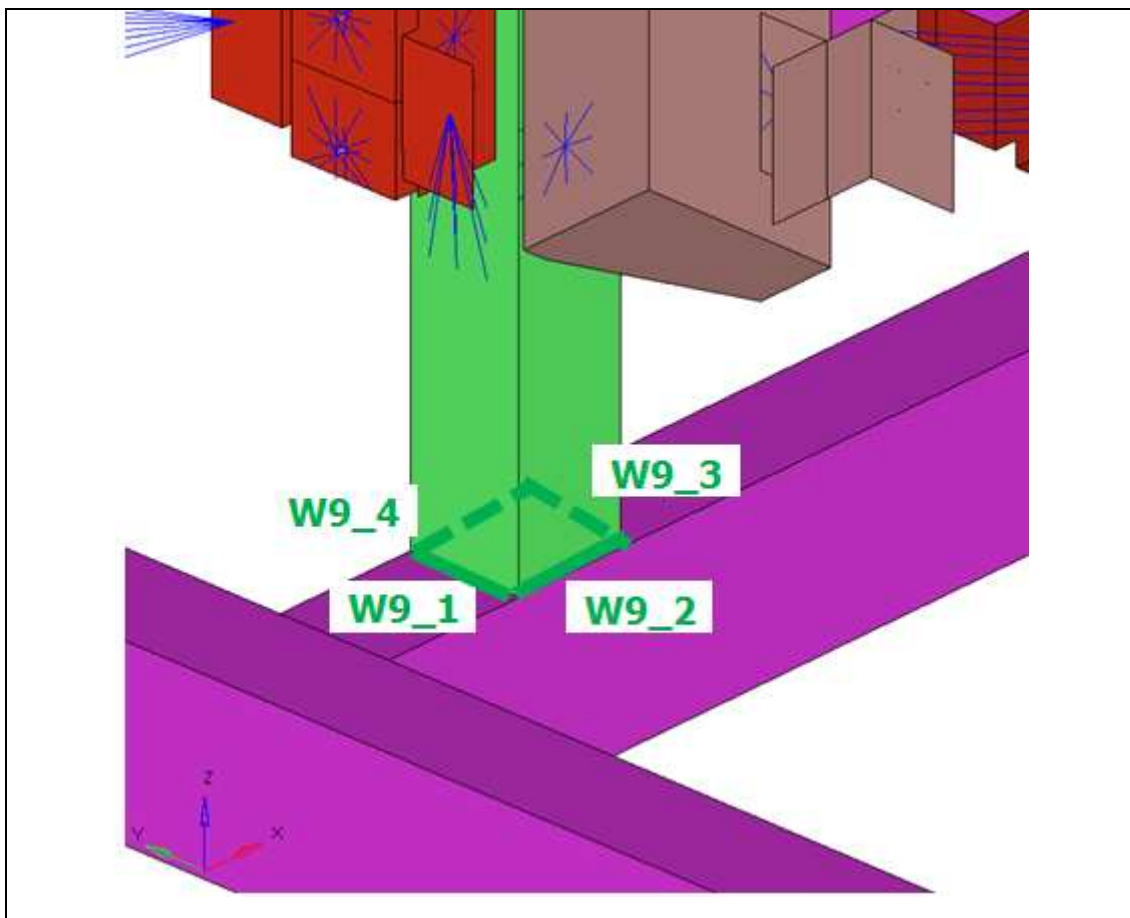


Figura 49 – Saldature W9\_1-2-3-4

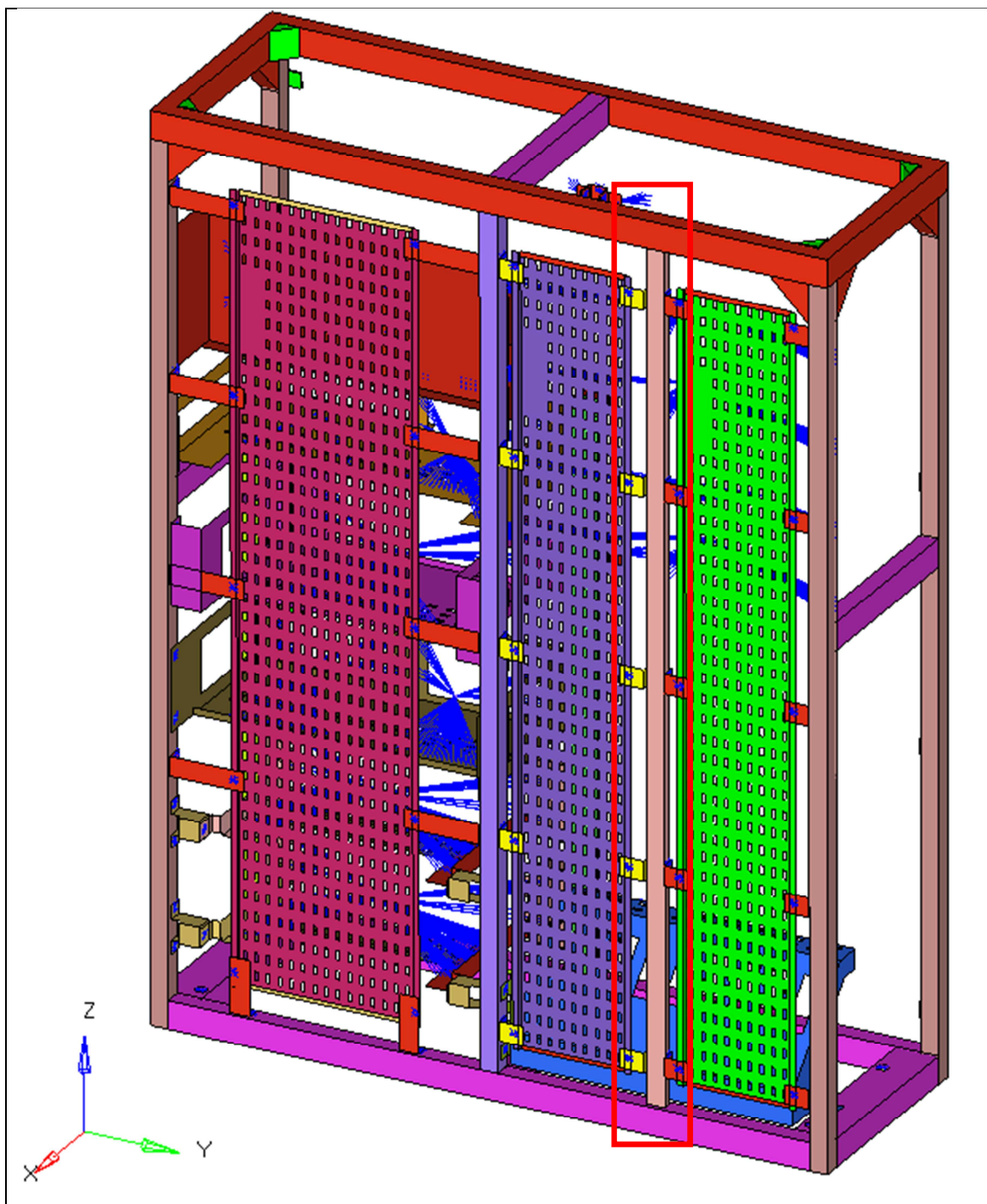


Figura 50 – Saldature W10\_1-2-3-4; W11\_1-2-3-4

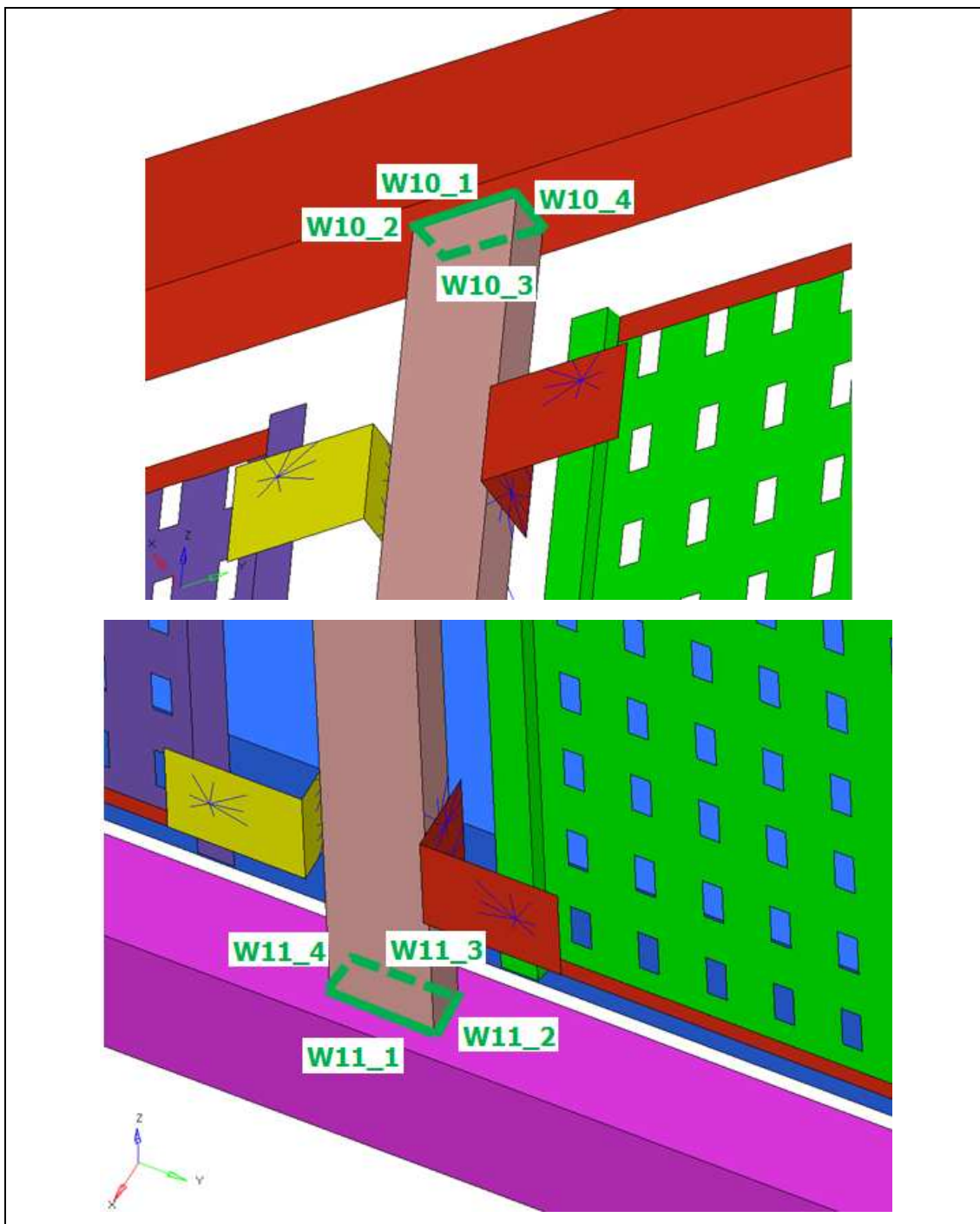
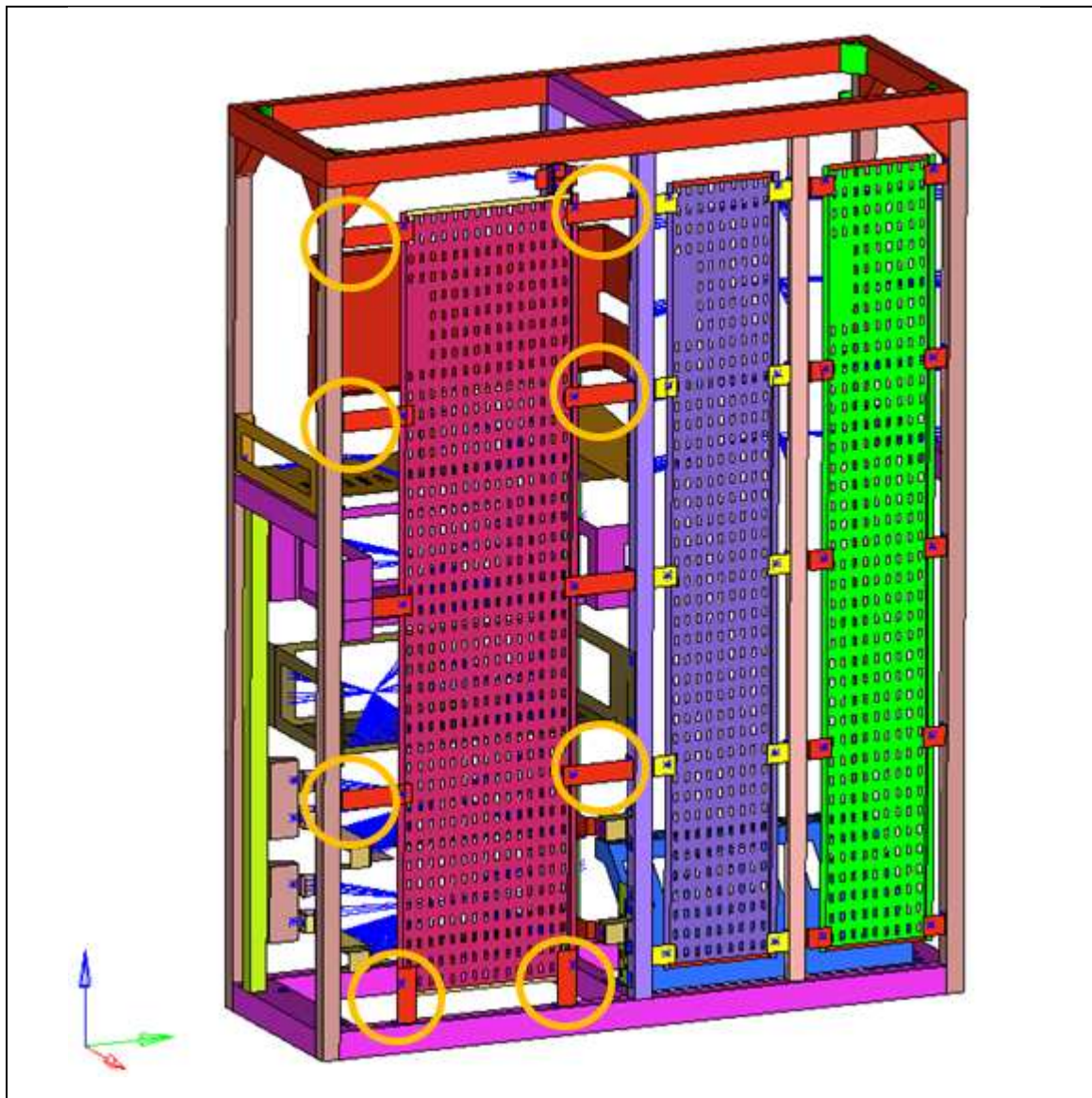


Figura 51 – Saldature W10\_1-2-3-4; W11\_1-2-3-4

**ANNESSO C. Mappa delle giunzioni bullonate analizzate.**

A continuazione si mostrano una serie di figure che identificano le giunzioni bullonate analizzate nei paragrafi 8.7 e 8.8.



**Figura 52 – Giunzioni bullonate 1A**

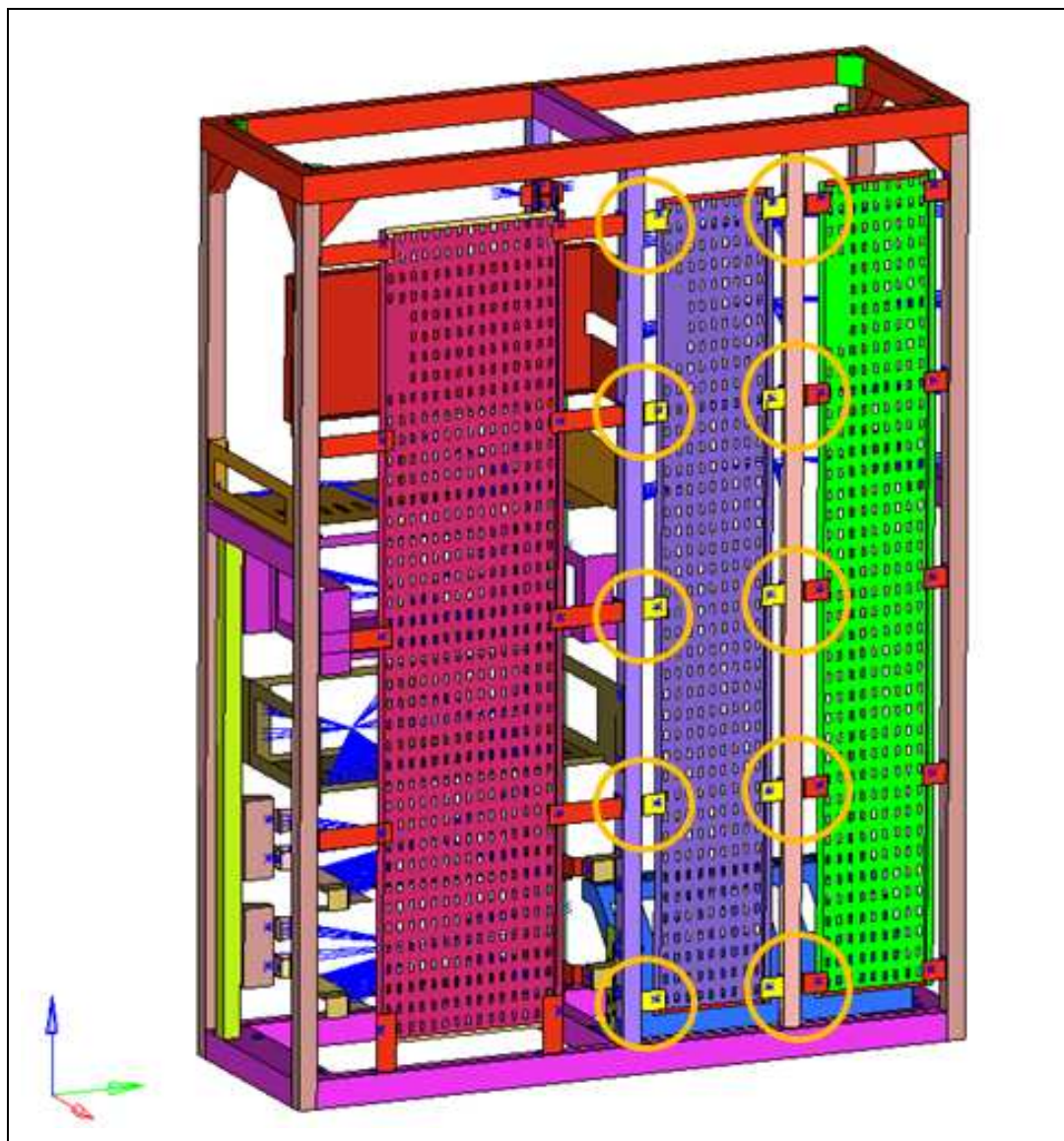


Figura 53 – Giunzioni bullonate 1B.

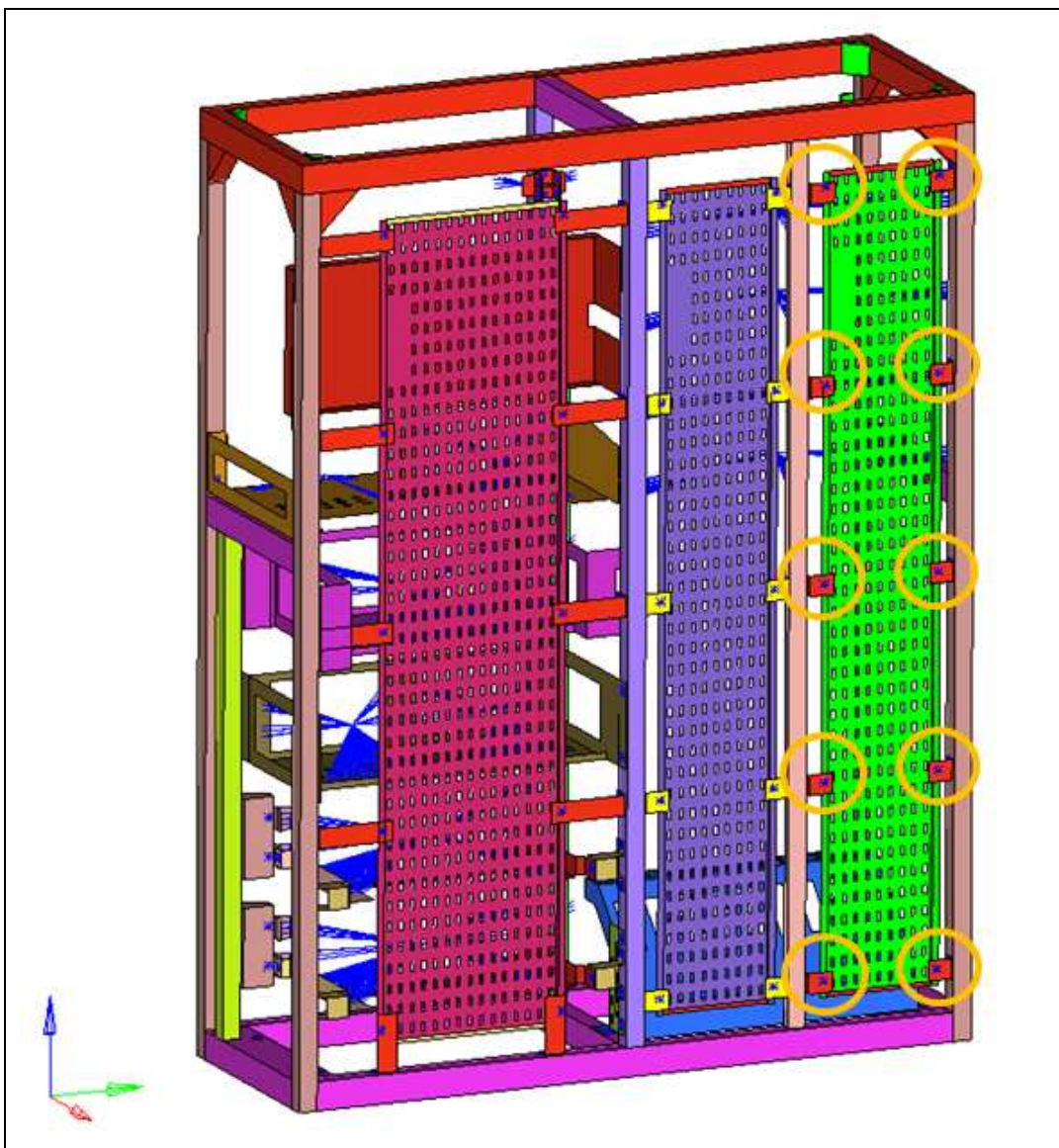
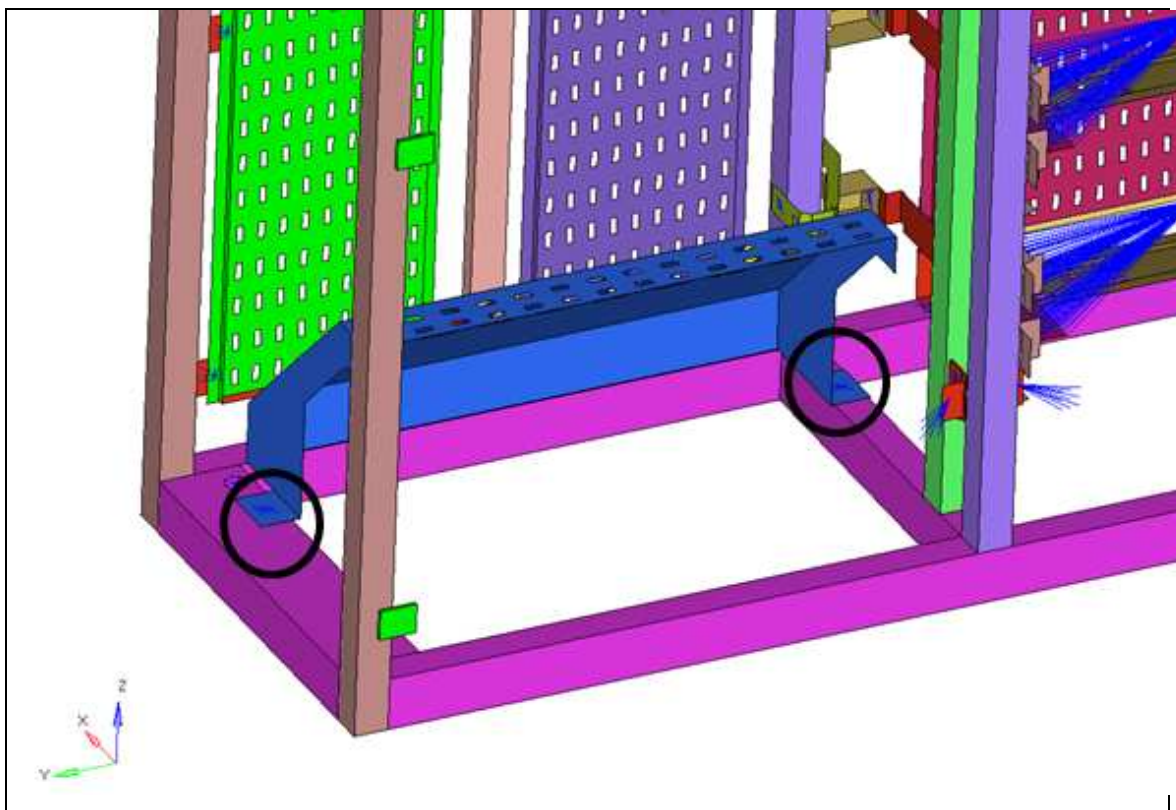
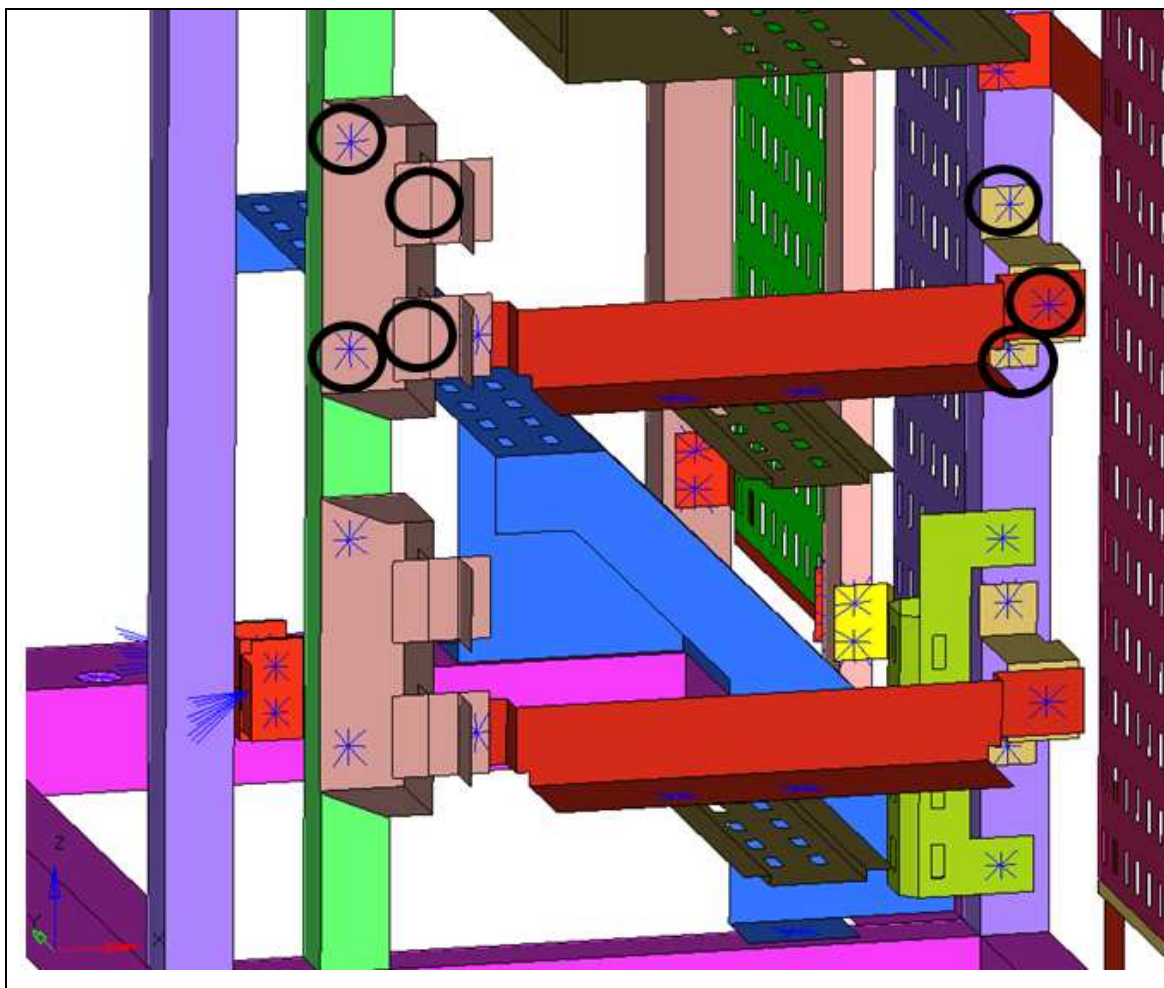


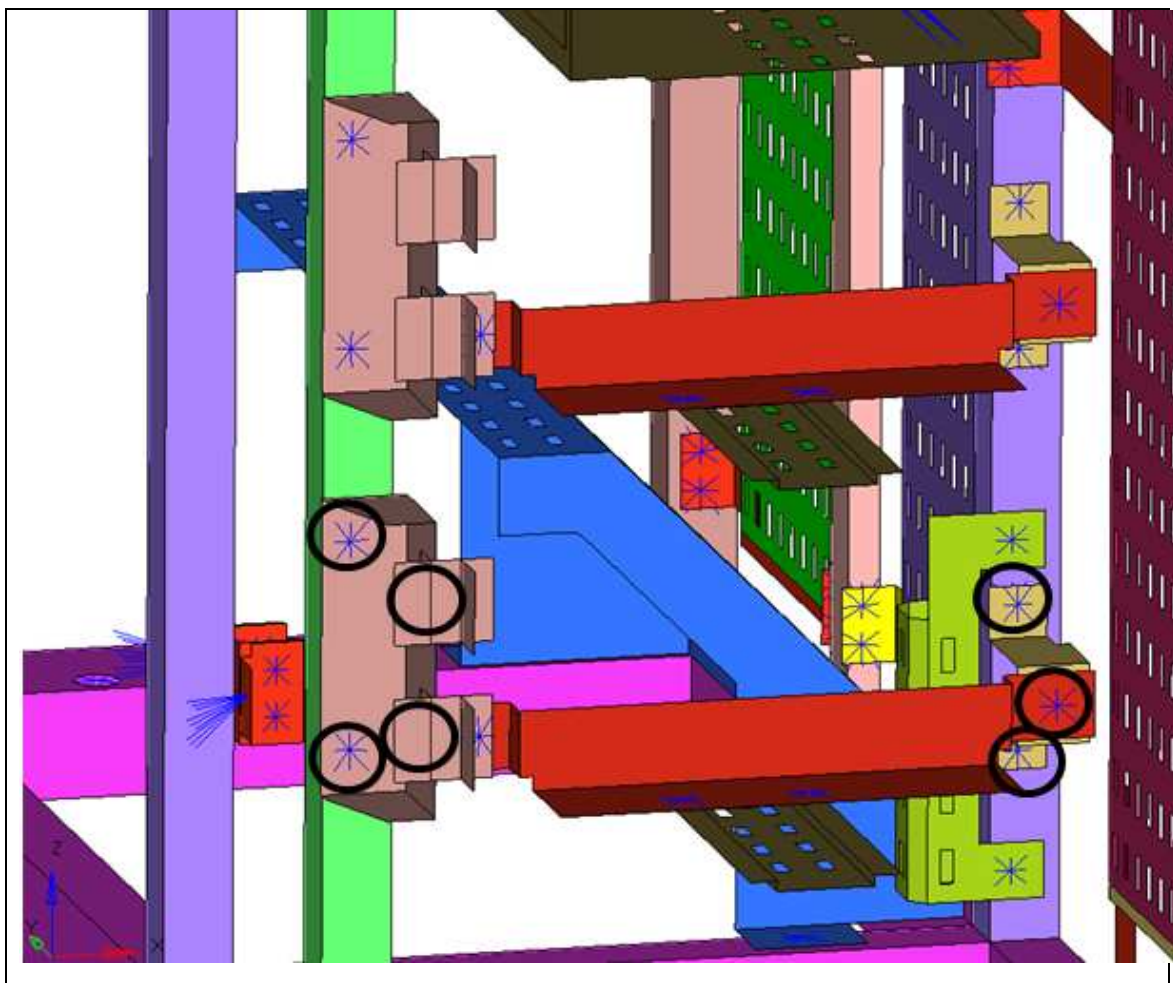
Figura 54 – Giunzioni bullonate 1C.

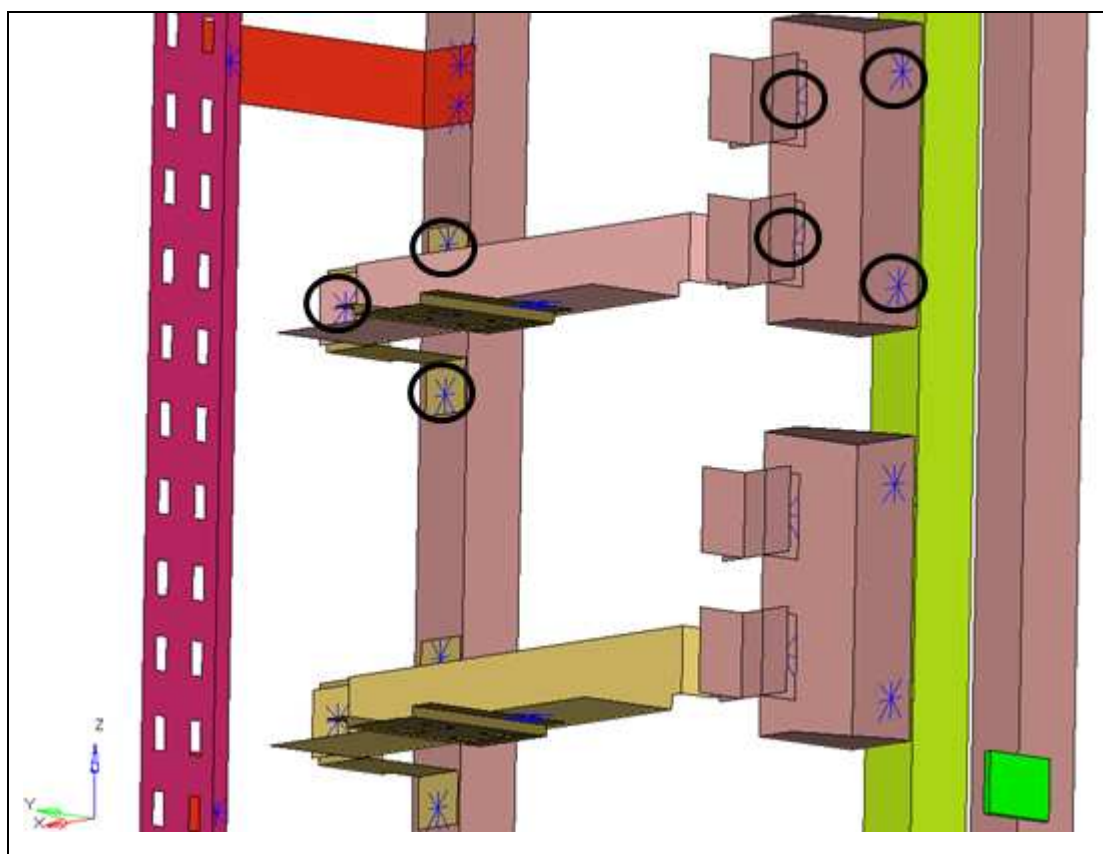


**Figura 55 – Giunzione bullonata 2.**



**Figura 56 – Giunzione bullonata 3.**

**Figura 57 – Giunzione bullonata 4**



**Figura 58 – Giunzione bullonata 5.**

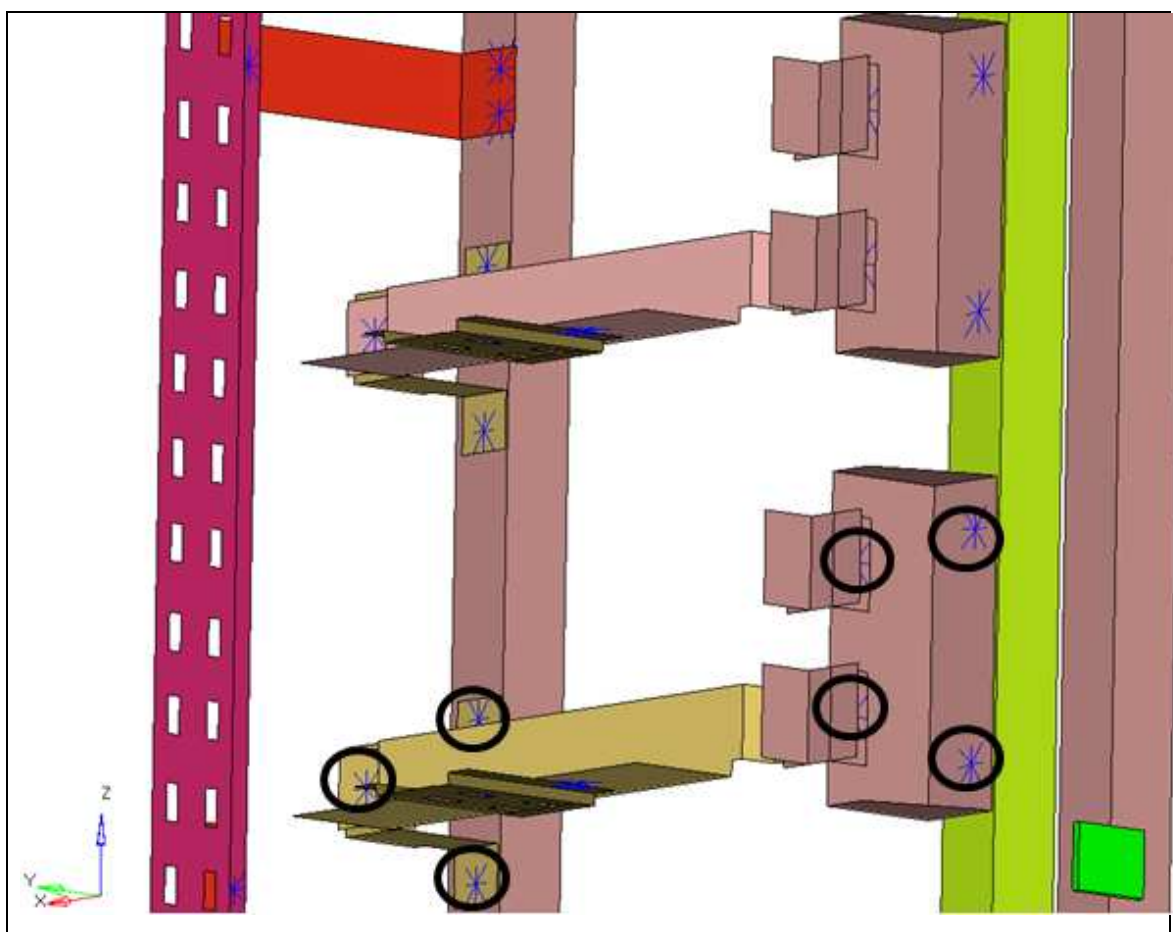
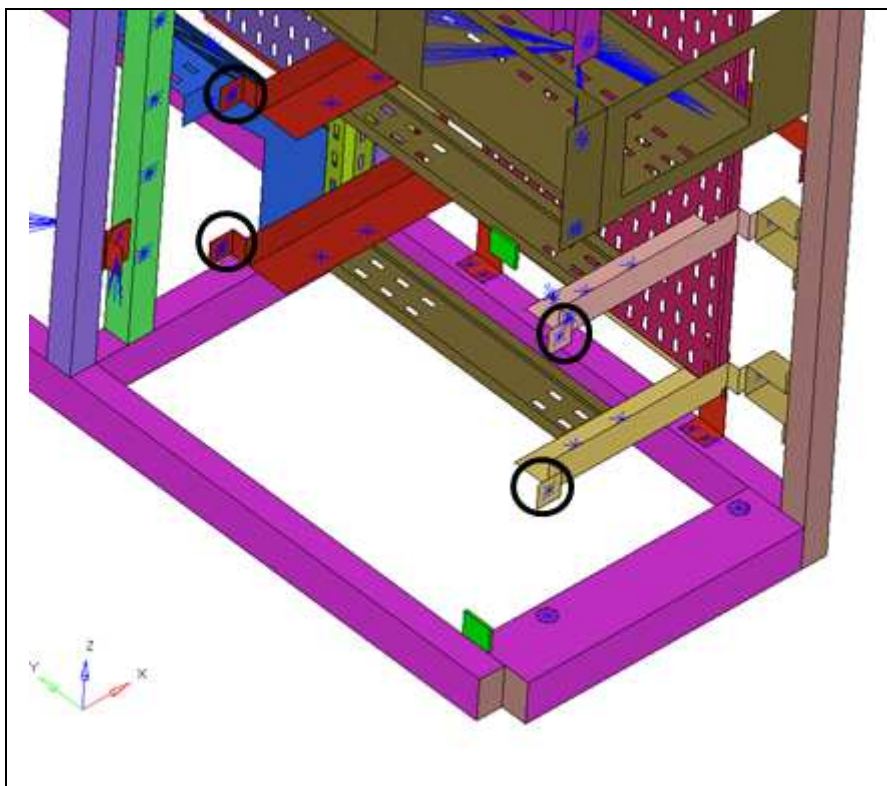
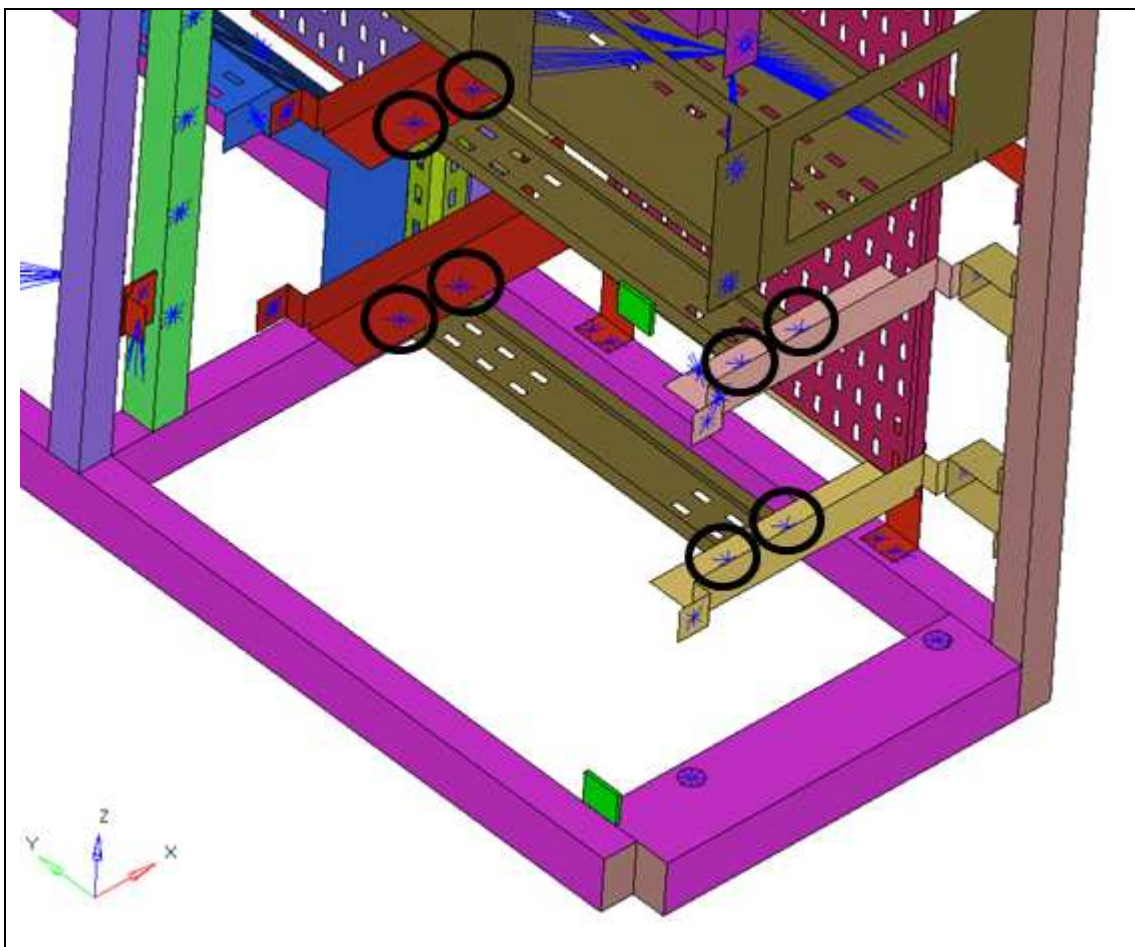


Figura 59 – Giunzione bullonata 6.



**Figura 60 – Giunzione bullonata 7.**



**Figura 61 – Giunzione bullonata 8.**

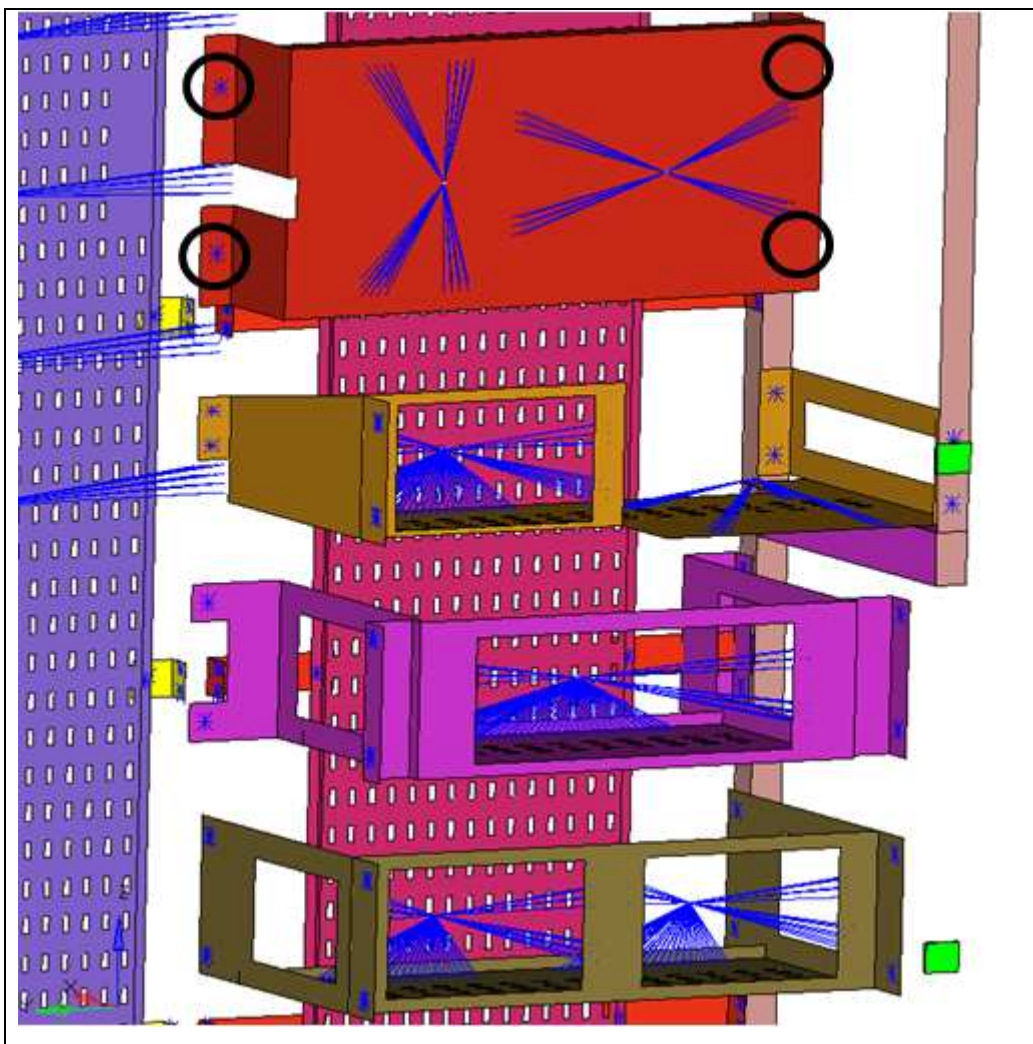


Figura 62 – Giunzione bullonata 9.

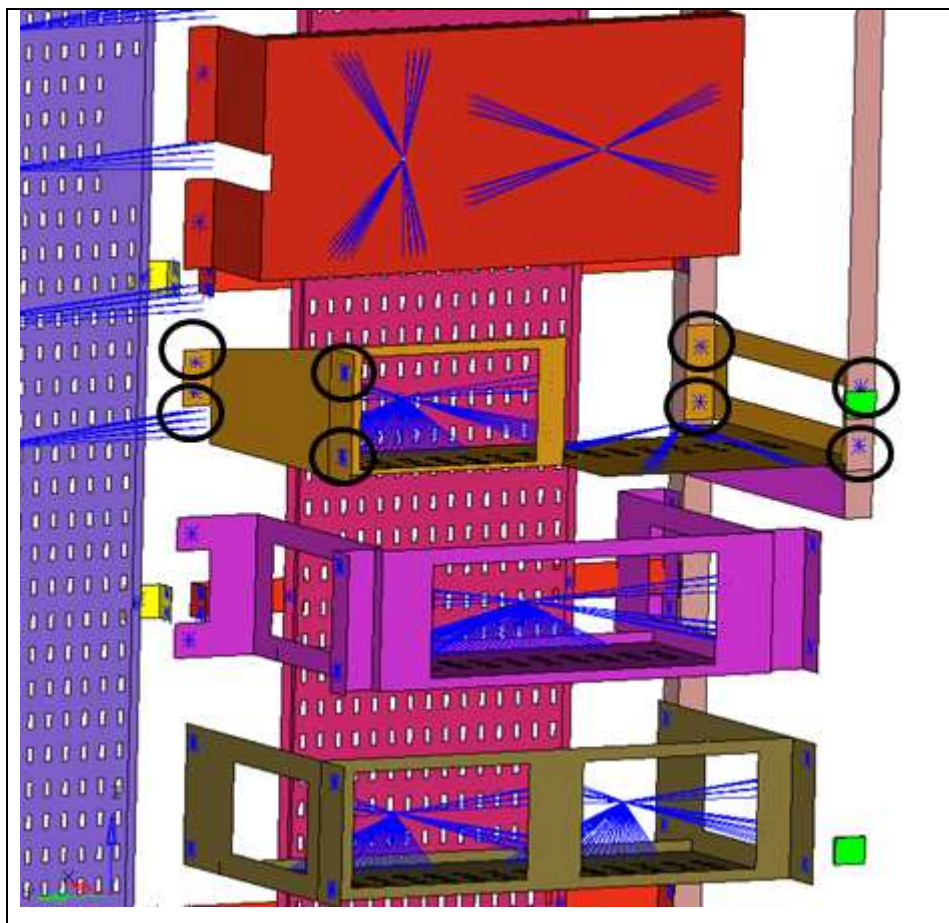


Figura 63 – Giunzione bullonata 10.

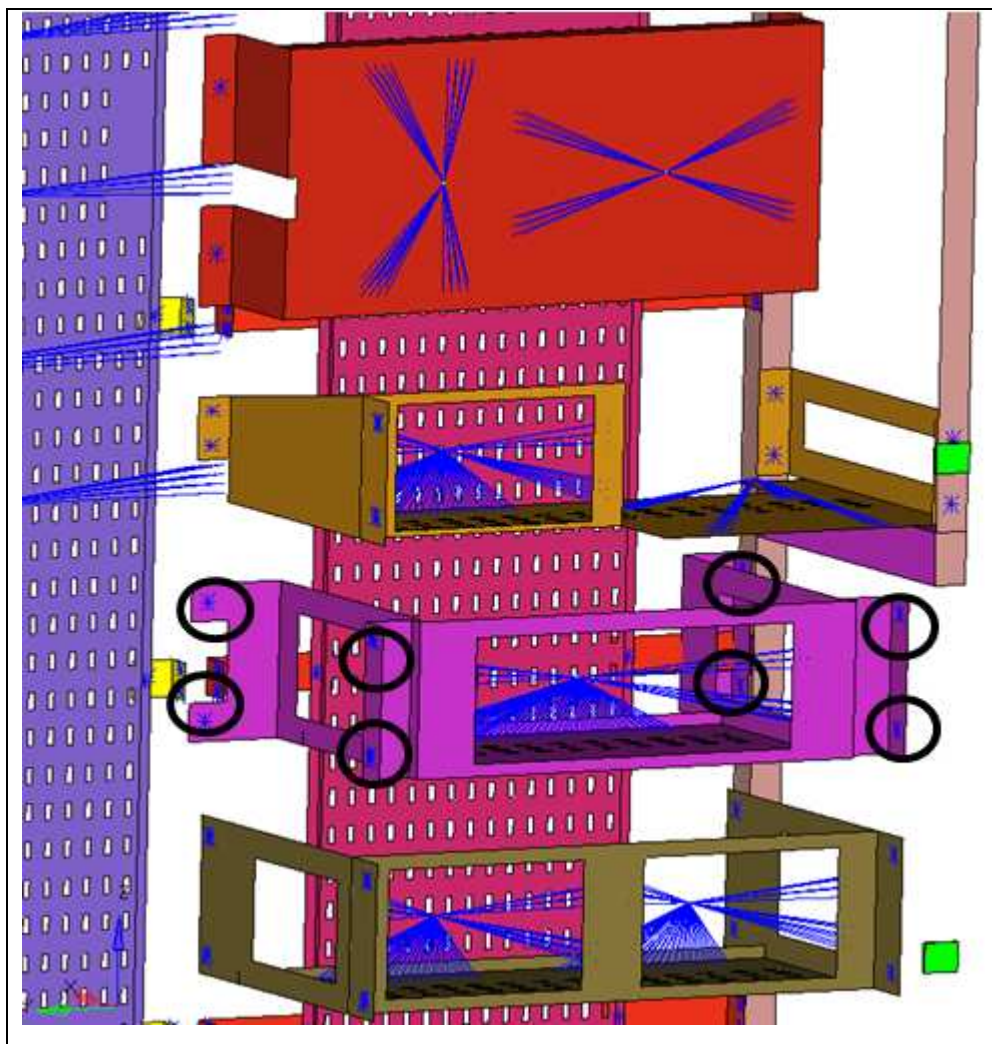


Figura 64 – Giunzione bullonata 11.

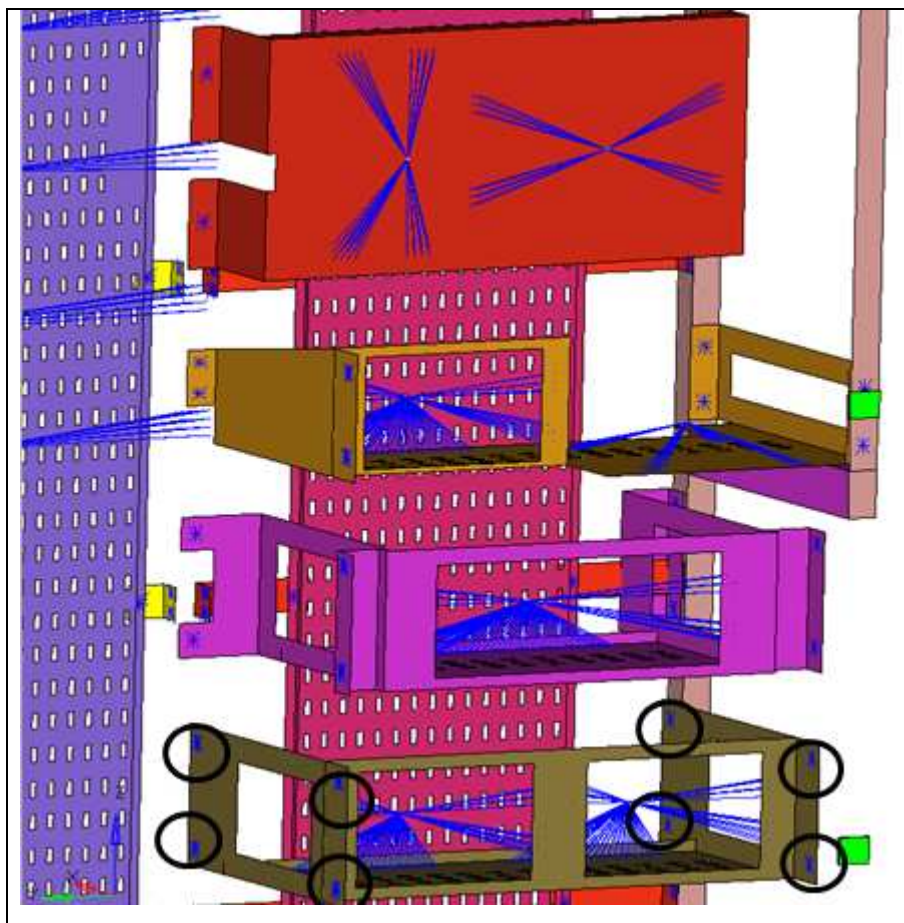


Figura 65 – Giunzione bullonata 12.

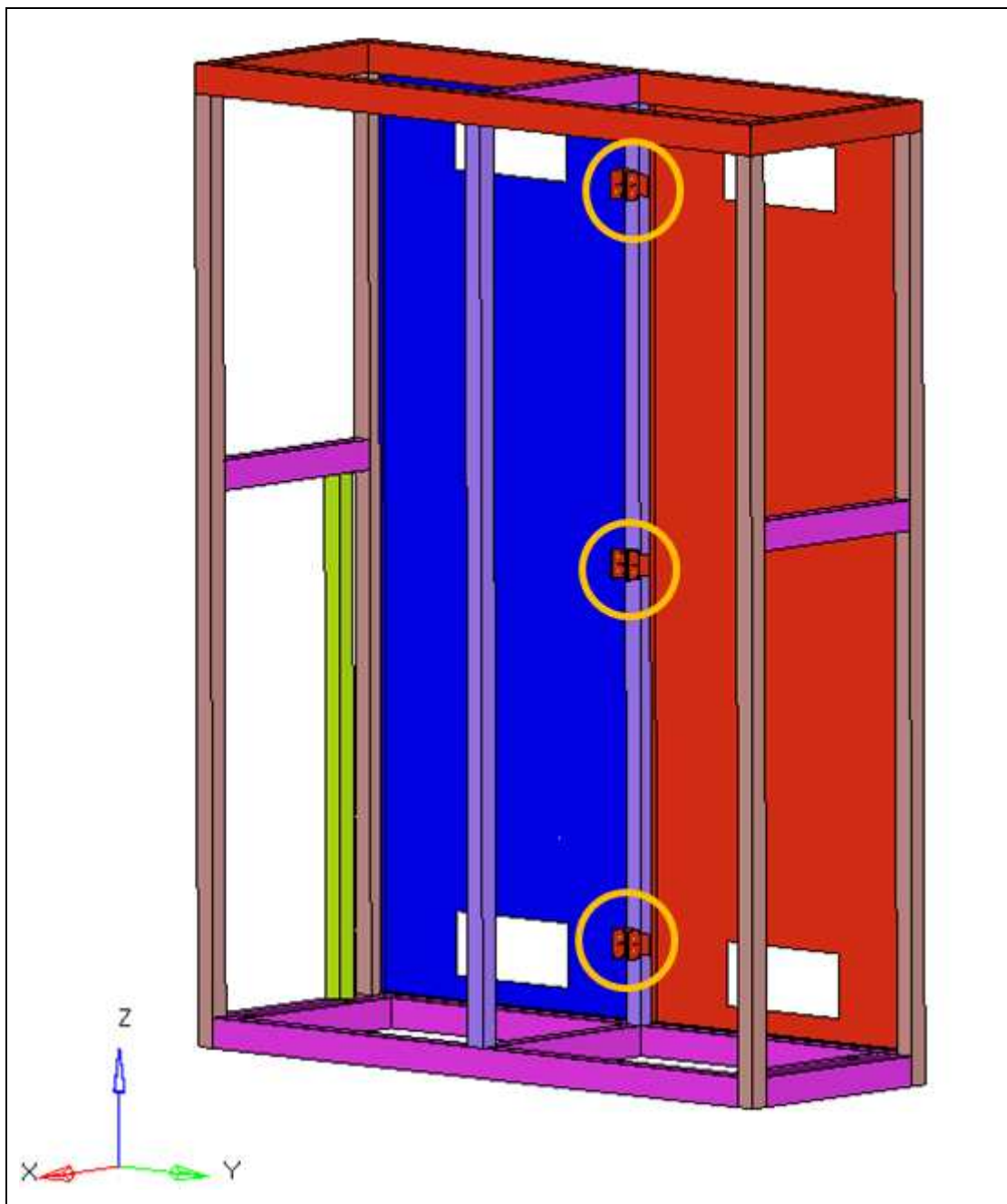


Figura 66 – Giunzione bullonata 13.